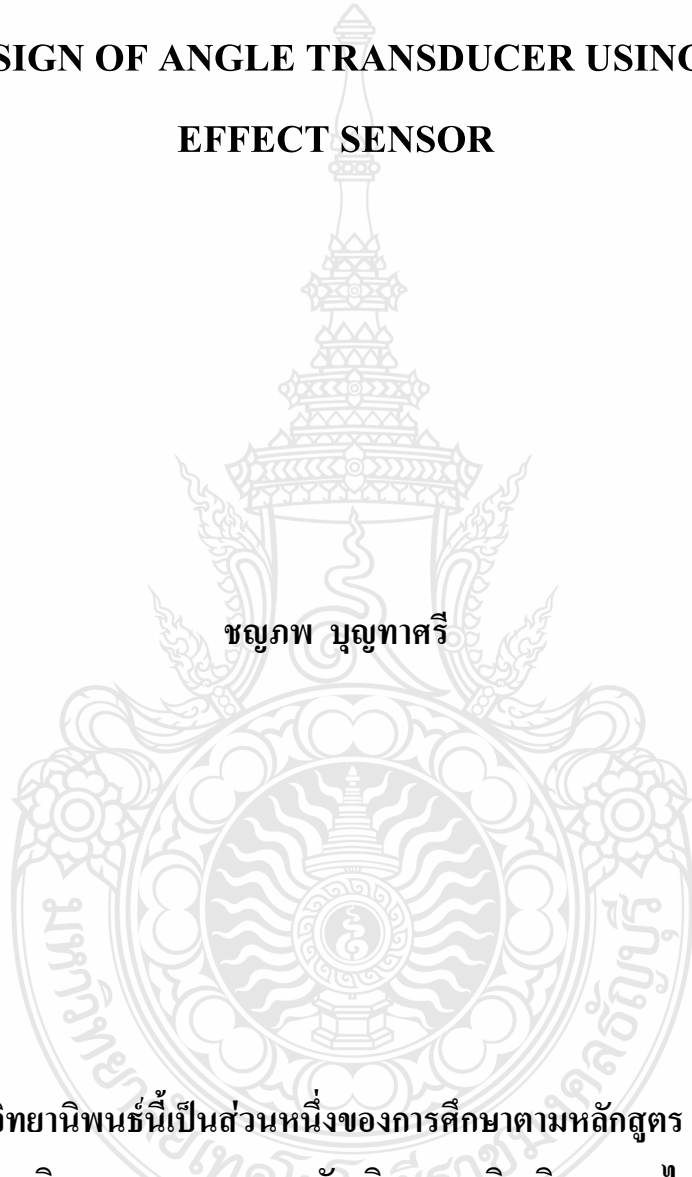


การออกแบบทรานส์ดิวเซอร์วัดมุมโดยใช้ช่องล็อปเฟกต์เซ็นเซอร์

THE DESIGN OF ANGLE TRANSDUCER USING HALL EFFECT SENSOR



วิทยานิพนธ์นี้เป็นส่วนหนึ่งของการศึกษาตามหลักสูตร
ปริญญาวิกรรมศาสตรมหาบัณฑิต สาขาวิกรรมไฟฟ้า
คณะวิกรรมศาสตร์
มหาวิทยาลัยเทคโนโลยีราชมงคลชั้นนำ
ปีการศึกษาที่ 2554
ลิขสิทธิ์ของมหาวิทยาลัยเทคโนโลยีราชมงคลชั้นนำ

การออกแบบตราสิ่งเรียนรู้วัดมุนโดยใช้ซอลล์เอฟเฟกต์เซ็นเซอร์



วิทยานิพนธ์นี้เป็นส่วนหนึ่งของการศึกษาตามหลักสูตร
ปริญญาวิศวกรรมศาสตรมหาบัณฑิต สาขาวิชาวิศวกรรมไฟฟ้า
คณะวิศวกรรมศาสตร์
มหาวิทยาลัยเทคโนโลยีราชมงคลชั้นนำ
ปีการศึกษาที่ 2554
ลิขสิทธิ์ของมหาวิทยาลัยเทคโนโลยีราชมงคลชั้นนำ

หัวข้อวิทยานิพนธ์

การออกแบบทรายสอดิวเซอร์วัคมูนโดยใช้ชอลล์อฟเฟกต์เช็นเชอร์

ชื่อ-นามสกุล

นายชญกพ บุญทาศรี

สาขาวิชา

วิศวกรรมไฟฟ้า

อาจารย์ที่ปรึกษา

ดร.นัตรชัย สุกพิทักษ์สกุล

ปีการศึกษา

2554



บทคัดย่อ

วิทยานิพนธ์นี้เสนอการออกแบบทรายสอดิวเซอร์วัคมูนแบบหมุนรอบแกน 360 องศา โดยใช้หลักการตรวจจับความหนาแน่นของเส้นแรงแม่เหล็กที่เปลี่ยนแปลงจากการเคลื่อนที่ของแม่เหล็ก ด้วยชอลล์อฟเฟกต์เช็นเชอร์ และประมวลผลด้วยไมโครคอนโทรลเลอร์ในการระบุตำแหน่งหมุน

ทรายสอดิวเซอร์ที่ออกแบบประกอบด้วย ส่วนตรวจวัดการเปลี่ยนแปลงของหมุน โดยแม่เหล็กถาวรติดตั้งที่แกนหมุนของทรายสอดิวเซอร์ และชอลล์อฟเฟกต์เช็นเชอร์แบบเชิงเส้นติดตั้งอยู่กับที่จำนวน 5 ตัว วางทำมุม 72 องศา เพื่อตรวจจับความหนาแน่นของเส้นแรงแม่เหล็ก ส่วนปรับปรุงสัญญาณแอนะล็อกจากชอลล์อฟเฟกต์เช็นเชอร์ให้เหมาะสมสมสำหรับไมโครคอนโทรลเลอร์ขนาด 12 บิต ในการประมวลผล และส่วนแสดงผลค่ามุมตัวเลขดิจิตอลด้วยจอ LCD

ผลการทดสอบทรายสอดิวเซอร์ที่นำเสนอ สามารถวัดมุมและแสดงผลได้ตั้งแต่ 0 ถึง 360 องศา โดยมีความคลาดเคลื่อน ± 0.2 และ ± 0.5 องศา ที่ความละเอียด 0.1 องศา และ 1 องศา ตามลำดับ จากการทดลองนำทรายสอดิวเซอร์ที่ออกแบบไปติดตั้งกับเครื่องซั่งสปริงสามารถทำงานได้ในระดับหนึ่งเนื่องจากแกนที่ติดตั้งแม่เหล็กสามารถมีการสั่น

คำสำคัญ: ทรายสอดิวเซอร์วัคมูน ชอลล์อฟเฟกต์เช็นเชอร์ ไมโครคอนโทรลเลอร์

Thesis Title	The Design of Angle Transducer Using Hall Effect Sensor
Name - Surname	Mr.Chayapope Boontasri
Program	Electrical Engineering
Thesis Advisor	Dr. Chatchai Suppitaksakul
Academic Year	2011

ABSTRACT

This thesis presents the design of a 360 degrees angle rotary transducer. Hall-Effect sensors are used to detect the flux density of magnetic field and processed using microcontroller in order to indicate the angle positions.

The designed transducer consists of an angle detecting part using a permanent magnet which attaches on the spindle rotation axis 360 degrees. Five linear Hall-Effect sensors are mounted in place to 72 degree angle for detect the flux density of the magnetic field that rotates around the sensors. The signal modifier part that uses for improving the analog output signals from the sensors then passed to the 12 bits Microcontroller for processing. The display part that the measured angle values as digital numbers are expressed on the LCD screen.

The experimental results, the designed transducer is able to measure and express the angle from 0 to 360 degrees with accuracy of ± 0.2 and ± 0.5 at the resolution of 0.1 and 1 degree, respectively. From the testing results which apply to attach with the spring weight scale, it is found that the designed transducer can working in some degree because of the vibration at the spindle rotation axis.

Keywords: angle transducer, Hall-Effect sensor, microcontroller

กิตติกรรมประกาศ

วิทยานิพนธ์ฉบับนี้สำเร็จได้ด้วยความเมตตากรุณาอย่างสูงจาก ดร.วิสิทธิ์ ล้อธรรมจักร ประธานกรรมการ ดร.ไพบูลย์ รักเหลือ กรรมการวิชาเอก รองศาสตราจารย์ นุญเจริญ วงศ์กิตติศึกษา กรรมการผู้ทรงคุณวุฒิ ดร.นัตรชัย ศุภพิทักษ์สกุล ที่ปรึกษาวิทยานิพนธ์ ที่กรุณาให้คำแนะนำ และให้คำปรึกษาตลอดจนให้ความช่วยเหลือแก่ไขข้อบกพร่องต่างๆ เพื่อให้วิทยานิพนธ์ฉบับนี้ มีความสมบูรณ์ ซึ่งผู้วิจัยขอกราบขอบพระคุณเป็นอย่างสูงไว้ ณ โอกาสนี้

ขอขอบคุณอาจารย์ประจำภาควิชาวิศวกรรมอิเล็กทรอนิกส์และโถรคุณนาคม มหาวิทยาลัยเทคโนโลยีราชมงคลล้านนา ทุกท่านที่ได้ประสิทธิ์ประสาทวิชาให้กับข้าพเจ้า และให้ความอนุเคราะห์ทางด้านเครื่องมือ และสถานที่ทำงานวิจัย ขอขอบคุณบันทึกวิทยาลัย มหาวิทยาลัยเทคโนโลยีราชมงคลล้านนา ที่ให้ความช่วยเหลือในทุกๆ เรื่อง

ขอขอบคุณคณะกรรมการค่าครองใช้ มหาวิทยาลัยเทคโนโลยีราชมงคลล้านนาเชียงราย ที่ให้ความอนุเคราะห์ทางด้านวัสดุ อุปกรณ์ และสถานที่ในการทำงานวิจัย

สุดท้ายนี้ข้าพเจ้าขอกราบขอบพระคุณ คุณพ่อบัณฑิต นุญทาครี คุณแม่ทองครี นุญทาครี กาญจนา นุญทาครี (ภรรยา) และครอบครัวของข้าพเจ้าที่เป็นกำลังใจ และให้การสนับสนุนในทุกๆ เรื่อง ทำให้ข้าพเจ้าสามารถทำวิทยานิพนธ์ฉบับนี้สำเร็จลุล่วงด้วยดี

คุณค่า และประโภชน์อันพึงมาจากการวิทยานิพนธ์ฉบับนี้ ขอขอบคุณทุกท่าน

ชญภาพ นุญทาครี

สารบัญ

	หน้า
บทคัดย่อภาษาไทย.....	ค
บทคัดย่อภาษาอังกฤษ.....	๔
กิตติกรรมประกาศ.....	๖
สารบัญ.....	๗
สารบัญตาราง.....	๙
สารบัญภาพ.....	๑๐
คำอธิบายสัญลักษณ์และคำย่อ.....	๑๑
บทที่	
1 บทนำ.....	1
1.1 ความเป็นมาและความสำคัญของปัญหา.....	1
1.2 ความมุ่งหมายและวัตถุประสงค์.....	2
1.3 ขอบเขตของการวิจัย.....	2
1.4 ขั้นตอนและวิธีการดำเนินการ.....	2
1.5 ประโยชน์ที่คาดว่าจะได้รับ.....	3
2 ทฤษฎีและงานวิจัยที่เกี่ยวข้อง.....	4
2.1 แม่เหล็ก.....	4
2.2 อลล์อฟเฟกต์.....	6
2.3 คำนิยามของการวัด.....	14
2.4 แปลงสัญญาณอนดีอคเป็นจิจตลอด.....	18
2.5 งานวิจัยที่เกี่ยวข้อง.....	22
2.6 สรุปทฤษฎีและงานวิจัยที่เกี่ยวข้อง.....	23
3 วิธีดำเนินการวิจัย.....	24
3.1 การออกแบบทรานส์เดวอร์ดคัมมู.....	24
3.2 การออกแบบโปรแกรมแปลงสัญญาณและแสดงผล.....	46
3.3 การปรับปรุงโปรแกรมเพื่อเปลี่ยนการแสดงผลมุมเป็นแนวน้ำหนัก.....	62
3.4 สรุปการออกแบบทรานส์เดวอร์ดคัมมู โปรแกรมแปลงสัญญาณ และแสดงผล.....	64

สารบัญ (ต่อ)

บทที่	หน้า
4 การทดสอบและผลการทดสอบ.....	66
4.1 การทดสอบทราบสัดส่วนของวัสดุที่ทำการออกแบบ.....	66
4.2 การทดสอบชุดวัสดุสำหรับเครื่องซั่งน้ำหนักแบบสปริงแสดงผลแบบดิจิตอล.....	76
4.3 สรุปผลการทดสอบ.....	77
5 สรุปผลการวิจัย.....	78
5.1 สรุป.....	78
5.2 ข้อเสนอแนะสำหรับการพัฒนา.....	79
รายการอ้างอิง.....	80
ภาคผนวก.....	82
ภาคผนวก ก Data sheet.....	83
ภาคผนวก ข ผลงานตีพิมพ์เผยแพร่.....	96
ประวัติผู้เขียน.....	116

สารบัญตาราง

ตารางที่	หน้า
3.1 แรงดันเอาต์พุตกับระยะห่างระหว่างแม่เหล็กข้าวได้กับชอลล์โอฟเฟกต์เซ็นเซอร์.....	35
3.2 แรงดันเอาต์พุตกับระยะห่างระหว่างแม่เหล็กข้าวเหนือกับชอลล์โอฟเฟกต์เซ็นเซอร์.....	36
3.3 ช่วงมุมที่แม่เหล็กกับชอลล์โอฟเฟกต์เซ็นเซอร์ไม่ทับซ้อนกัน.....	41
3.4 การเปลี่ยนแปลงสนามแม่เหล็กที่ตรวจจับได้น้อยเมื่อเทียบกับมุมเคลื่อนที่.....	41
3.5 การเปลี่ยนแปลงแรงดันเอาต์พุตที่น้อยเมื่อเทียบกับมุมที่แม่เหล็กเคลื่อนที่.....	42
3.6 เสื่อนในการแปลผลมุม โครงสร้างเซ็นเซอร์ 3 ตัว.....	47
3.7 เสื่อนในการแปลผลมุม โครงสร้างเซ็นเซอร์ 5 ตัว.....	52
3.8 การเลือกแรงดันเอาต์พุตแปลผล จากเซ็นเซอร์ของโครงสร้างเซ็นเซอร์ 5 ตัว.....	61
3.9 แรงดันเอาต์พุตของทรานส์ดิวเซอร์วัตคุมที่ทำการออกแบบที่ความละเอียด 0.1 องศา.....	62
4.1 ค่าความผิดพลาดการวัดที่ความละเอียด 1 องศา ที่มุน 179 องศา.....	69
4.2 มุนกับแรงดันเอาต์พุทที่วัด ได้ที่ความละเอียด 1 องศา ตั้งแต่ 0 – 10 องศา.....	71
4.3 มุนที่วัดจากทรานส์ดิวเซอร์วัตคุมกับ แมคโนติก โตรารีเอน โอดิออร์ ความละเอียด 1 องศา.	71
4.4 ความเที่ยงตรงของมุนที่วัด โดยทรานส์ดิวเซอร์วัตคุมที่ความละเอียด 1 องศา.....	73
4.5 ความผิดพลาดของมุนที่วัด โดยทรานส์ดิวเซอร์วัตคุม ที่ความละเอียด 1 องศา.....	73
4.6 การกำหนดค่ามุนจากแรงดันเอาต์พุทที่วัด ได้ที่ความละเอียด 0.1 องศา.....	74
4.7 มุนที่วัด โดยทรานส์ดิวเซอร์วัตคุม ที่ความละเอียด 0.1 องศา.....	75

สารบัญภาพ

ภาพที่	หน้า
2.1 ความเข้มของสนามแม่เหล็กที่สนามแม่เหล็กไม่ตั้งฉากกับพื้นที่.....	5
2.2 ลักษณะของเส้นแรงแม่เหล็ก.....	5
2.3 จุดสะเทินเนื่องจากแท่งแม่เหล็กวางใกล้กัน.....	6
2.4 โครงสร้างทางกายภาพของชอลล์อฟเฟกต์.....	7
2.5 การเกิดแรงดันไฟฟ้าจากชอลล์อฟเฟกต์.....	7
2.6 การเบี่ยงเบนของกระแสไฟฟ้าที่ไฟล์ผ่าน ตัวนำนิคสัญญาณชอลล์.....	8
2.7 ลักษณะรูปร่างของชอลล์อฟเฟกต์เซ็นเซอร์โดยทั่วไป.....	9
2.8 การวัดความเข้มของสนามแม่เหล็ก แบบยูนิโพลาร์เรดคอน.....	10
2.9 การวัดความเข้มของสนามแม่เหล็กแบบยูนิโพลาร์สไลด์.....	11
2.10 การวัดความเข้มของสนามแม่เหล็กแบบใบโพลาร์สไลด์รูปแบบที่ 1.....	11
2.11 การวัดความเข้มของสนามแม่เหล็กแบบใบโพลาร์สไลด์รูปแบบที่ 2.....	12
2.12 การวัดความเข้มของสนามแม่เหล็กแบบใบโพลาร์สไลด์รูปแบบที่ 3.....	12
2.13 การวัดความเข้มของสนามแม่เหล็กแบบใบโพลาร์สไลด์รูปแบบที่ 4.....	13
2.14 การวัดความเข้มของสนามแม่เหล็กแบบพุชพุชแอนปิโพรช.....	13
2.15 ค่าผิดพลาดต่างๆ กับความถี่ของค่าที่วัดได้.....	15
2.16 การเปรียบเทียบลักษณะความแตกต่างระหว่างความแม่นยำและความเที่ยงตรง.....	16
2.17 ค่าผิดพลาดชีสเตอร์ชีส.....	18
2.18 ระยะห่างของแรงดันต่อบิตข้อมูล.....	19
2.19 ความเที่ยงตรงของวงจรแปลงสัญญาณอนาล็อกเป็นดิจิตอล.....	20
2.20 อัตราการสุ่มสัญญาณสูงเพียงพอจะได้สัญญาณที่ใกล้เคียงกับอินพุต.....	20
2.21 อัตราการสุ่มสัญญาณต่ำ สัญญาณที่ได้จะเพียงไปจากอินพุต.....	21
2.22 ความไม่เป็นเชิงเส้นของการแปลงสัญญาณ.....	21
3.1 บล็อกໄດօะแกรมของทราบศักดิ์เซอร์วัสดุมุน.....	24
3.2 โครงสร้างเพื่อทดสอบการเคลื่อนที่แบบหมุนรอบแกน.....	25
3.3 การเคลื่อนที่แบบหมุนรอบแกนเมื่อแม่เหล็กทำมุม 0 องศา.....	26
3.4 การเคลื่อนที่แบบหมุนรอบแกนเมื่อแม่เหล็กทำมุม 15 องศา.....	26
3.5 การเคลื่อนที่แบบหมุนรอบแกนเมื่อแม่เหล็กทำมุม 45 องศา.....	27

สารบัญภาพ (ต่อ)

ภาพที่	หน้า
3.6 ลักษณะของสี่เหลี่ยมคงทูปที่มีความสูงเท่ากับ h.....	27
3.7 เปอร์เซ็นต์พื้นที่ช้อนกันใช้แม่เหล็กขนาด 3x3 ตารางมิลลิเมตร.....	31
3.8 เปอร์เซ็นต์พื้นที่ช้อนกันใช้แม่เหล็กขนาด 4x5.5 ตารางมิลลิเมตร.....	32
3.9 การเคลื่อนที่แบบหมุนรอบแกนแม่เหล็กขั้วคู่ทามุม 0 องศา.....	33
3.10 เปอร์เซ็นต์พื้นที่ช้อนกันใช้แม่เหล็ก 2 ตัว ขนาด 3x3 ตารางมิลลิเมตร.....	33
3.11 เปอร์เซ็นต์พื้นที่ช้อนกันใช้แม่เหล็ก 2 ตัว ขนาด 4x5.5 ตารางมิลลิเมตร.....	34
3.12 การตรวจจับความเข้มของสนามแม่เหล็กแบบ ญนิโโพลาร์ยอดอน.....	34
3.13 แรงดันเอาต์พุตกับระยะห่างระหว่างแม่เหล็กขั้วใต้กับหอลดอฟเฟกต์เซ็นเซอร์.....	35
3.14 แรงดันเอาต์พุตกับระยะห่างระหว่างแม่เหล็กขั้วเหนือกับหอลดอฟเฟกต์เซ็นเซอร์.....	36
3.15 ความเข้มของสนามแม่เหล็กที่เกิดจากสนามแม่เหล็กไม่ตั้งฉากกับพื้นที่.....	38
3.16 ความเข้มสนามแม่เหล็ก ใช้แม่เหล็กขนาด 3x3 ตารางมิลลิเมตร.....	39
3.17 ความเข้มสนามแม่เหล็ก ใช้แม่เหล็กขนาด 4x5.5 ตารางมิลลิเมตร.....	39
3.18 แรงดันเอาต์พุต ใช้แม่เหล็กขนาด 3x3 ตารางมิลลิเมตร.....	40
3.19 แรงดันเอาต์พุต ใช้แม่เหล็กขนาด 4x5.5 ตารางมิลลิเมตร.....	40
3.20 โครงสร้างรัศมี 2 มิลลิเมตร ใช้ เซ็นเซอร์ 3 ตัว.....	42
3.21 มุนกับแรงดันเอาต์พุตที่วัด ได้ ที่รัศมี 2 มิลลิเมตร ใช้ เซ็นเซอร์ 3 ตัว.....	43
3.22 โครงสร้างรัศมี 3 มิลลิเมตร ใช้ เซ็นเซอร์ 3 ตัว.....	43
3.23 มุนกับแรงดันเอาต์พุตที่วัด ได้ที่รัศมี 3 มิลลิเมตร ใช้เซ็นเซอร์ 3 ตัว.....	44
3.24 โครงสร้างรัศมี 3 มิลลิเมตร ใช้เซ็นเซอร์ 4 ตัว.....	44
3.25 มุนกับแรงดันเอาต์พุตที่วัด ได้ที่รัศมี 3 มิลลิเมตร ใช้เซ็นเซอร์ 4 ตัว.....	45
3.26 โครงสร้างรัศมี 3 มิลลิเมตร ใช้เซ็นเซอร์ 5 ตัว.....	45
3.27 มุนกับแรงดันเอาต์พุตที่วัด ได้ที่รัศมี 3 มิลลิเมตร ใช้เซ็นเซอร์ 5 ตัว.....	46
3.28 ไฟลชาร์ตการทำงานของโปรแกรมการหาค่ามุน โครงสร้างเซ็นเซอร์ 3 ตัว.....	48
3.29 การเลือกแรงดันเอาต์พุตแปลผล ที่รัศมี 2 มิลลิเมตร ใช้ เซ็นเซอร์ 3 ตัว.....	51
3.30 การเลือกแรงดันเอาต์พุตแปลผล ที่รัศมี 3 มิลลิเมตร ใช้ เซ็นเซอร์ 3 ตัว.....	51
3.31 ไฟลชาร์ตการทำงานของโปรแกรมการหาค่ามุน โครงสร้างเซ็นเซอร์ 5 ตัว.....	56
3.32 การเลือกแรงดันเอาต์พุตแปลผล ที่รัศมี 3 มิลลิเมตร ใช้ เซ็นเซอร์ 5 ตัว.....	61

สารบัญภาค (ต่อ)

ภาคที่	หน้า
3.33 การติดตั้งทرانสดิวเซอร์วัตคัมภกับแกนหมุนของเครื่องชั่งแบบสปริง.....	63
3.34 เครื่องชั่งน้ำหนักแบบสปริงสำหรับชั่งน้ำหนักขนาด 60 กิโลกรัม.....	63
3.35 น้ำหนักกับค่าแรงดันเอาท์พุตที่ทำการแบ่งช่วงมุมและเลือกค่า.....	64
4.1 โครงสร้างของแมคเนติก โรตารีเอน โคงเดอร์ยีห้อ Avago รุ่น EIAT 6012.....	66
4.2 ติดตั้งแมคเนติก โรตารีเอน โคงเดอร์ไวกับแกนหมุนเดียวกันกับทرانสดิวเซอร์.....	67
4.3 แกนหมุนสำหรับทดสอบทرانสดิวเซอร์.....	67
4.4 มุมกับแรงดันเอาท์พุทที่วัดได้จากเซ็นเซอร์ทั้ง 5 ตัว.....	68
4.5 แรงดันเอาท์พุทของฮอลล์อฟเฟกต์เซ็นเซอร์ตัวที่ 1 ณ ตำแหน่งมุม 0-360 องศา.....	69
4.6 ค่าความผิดพลาดที่มุม 179 องศา ของฮอลล์อฟเฟกต์เซ็นเซอร์ตัวที่ 1.....	70
4.7 แปลงองศาลีกอกเอาท์พุตจากฮอลล์อฟเฟกต์เซ็นเซอร์เป็นข้อมูลดิจิตอลขนาด 12 บิต.....	70
4.8 มุมที่ได้จาก ทرانสดิวเซอร์วัตคัมภเทียบกับ แมคเนติก โรตารีเอน โคงเดอร์ความละเอียด 1 องศา.....	72
4.9 ค่าความผิดพลาดของมุมที่วัดโดยทرانสดิวเซอร์วัตคัมภ ที่ความละเอียด 0.1 องศา ที่ มุม 0.5 องศา.....	75
4.10 แปลผลจากมุม 360 องศา เป็นน้ำหนัก 60 กิโลกรัม.....	76
4.11 ชุดทرانสดิวเซอร์วัตคัมภ โอดิไซซ์ฮอลล์อฟเฟกต์เซ็นเซอร์และตัวแสดงผล.....	76

คำอธิบายสัญลักษณ์และคำย่อ

ϕ	Magnetic field
A	Accuracy
B	The Intensity of Magnetic Field
E_H	Hall Field
Error_H	Hysteresis Error
F_B	Lorentz Force
i	Current
q	Electron Charge
R_H	Hall Coefficient
S	Sensitivity
v	Velocity
V_{FS}	Full Scale Voltage
V_H	Hall Voltage
V_{LSB}	Least Significant Bit Voltage
x_n	Measured
\bar{x}	Measured Average
y_n	True

บทที่ 1

บทนำ

1.1 ความเป็นมาและความสำคัญของปั๊มห้า

ในปัจจุบัน เทคโนโลยีระบบควบคุมอัตโนมัติเข้ามายึด主导 ทำให้ระบบทำงานได้รวดเร็วและแม่นยำมากขึ้น ไม่ว่าจะเป็นเครื่องใช้ภายในบ้าน เครื่องจักรกลในโรงงานอุตสาหกรรมรถยนต์หุ่นยนต์และสิ่งประดิษฐ์ อื่นๆ ที่มีลักษณะการทำงานแบบอัตโนมัติการควบคุมอัตโนมัติในระบบทางกายภาพไดๆ คือการบังคับให้ระบบนั้นทำงานในลักษณะที่จำแนกชัด ผลงานที่มีคุณสมบัติสอดคล้องหรือเป็นไปตามเป้าหมาย ด้วยตัวเอง ระบบต่างๆ เหล่านี้ประกอบด้วยค่าที่เกี่ยวข้องต่างกันออกໄປ เช่น อุณหภูมิ อัตราการไหล ความเร็ว ตำแหน่ง แรงดัน ความถี่ เป็นต้น อุปกรณ์ที่ใช้ในการวัด คือ อุปกรณ์ที่ให้สัญญาณขาออก ซึ่งมีขนาดสัมพันธ์กับขนาดตัวแปรของสิ่งที่ต้องการวัดหรือสั่งงาน เช่น เซ็นเซอร์ และทรานสิสเตอร์ประเภทต่างๆ อุปกรณ์ตรวจจับการเคลื่อนที่เชิงมุม เช่น มุนเช่นนี้ในการยกแขนกล หรือ มุนในการหักพวงมาลัยในรถยนต์อัจฉริยะ จะใช้ทรานสิสเตอร์วัดมุม หรือที่รู้จักกันในชื่อแอนโคลูท เอนโคเดอร์ (Absolute Encoder) ซึ่งราคาจะสูงตามค่าความละเอียด

ผู้วิจัยจึงสนใจและได้ศึกษาวิเคราะห์ออกแบบโครงสร้างทรานสิสเตอร์วัดมุมที่สามารถวัดมุมแบบรอบแกน 360 องศา ทรานสิสเตอร์วัดมุมได้ถูกพัฒนาขึ้นโดยใช้หลักการ แต่ที่นิยมใช้มากที่สุดคือ กระบวนการทางแสง [1-2] ข้อดีคือมีความถูกต้องแม่นยำ และความไวสูง อย่างไรก็ตาม ข้อเสียคือราคาแพง ที่มีความไวต่อสิ่งสกปรกและฝุ่น กระบวนการเปลี่ยนค่าความต้านทาน [2] ข้อดีคือมีความถูกต้องแม่นยำ ง่ายต่อการนำไปใช้ ข้อเสีย มีค่าความเสียดทานที่เกิดขึ้นจากหน้าสัมผัส การตอบสนองช้า การเคลื่อนที่แบบลับพลันอาจทำให้เกิดความเสียหายได้ กระบวนการเปลี่ยนค่าความจุไฟฟ้า [3] ข้อดีคือการเปลี่ยนแปลงค่าความจุไฟฟ้าเพื่อกำเนิดความถี่ที่เป็นสัดส่วนกับการเคลื่อนที่ ข้อเสีย และมีค่าความเสียดทานที่เกิดขึ้นจากหน้าสัมผัส การตอบสนองช้า กระบวนการออลล์เอฟเฟกต์ [4] ข้อดีคือการเปลี่ยนแปลงค่าความหนาแน่นของเส้นแรงแม่เหล็กที่เป็นสัดส่วนกับมุมที่เปลี่ยนไป ราคาถูกต้องสนองเร็วและเป็นเชิงเส้น การติดตั้งง่าย ไม่จำเป็นต้องยึดแน่นหนาด้วยกับตัวเซ็นเซอร์โดยตรง และไม่มีค่าความเสียดทานที่เกิดขึ้นจากหน้าสัมผัส

งานวิจัยนี้จึงนำหลักการออลล์เอฟเฟกต์เซ็นเซอร์มาพัฒนา ทรานสิสเตอร์สำหรับวัดมุม เพื่อให้ได้โครงสร้างที่เหมาะสมสามารถวัดมุมแบบรอบแกน 360 องศา และราคาถูก

1.2 ความมุ่งหมายและวัตถุประสงค์

- 1.2.1 เพื่อศึกษาหาเทคนิค และอุปกรณ์สำหรับวัดมุมแบบรอบแกน 360 องศา
- 1.2.2 เพื่อทำการวิจัยหาแนวทางในการออกแบบชุดวัดมุมแบบรอบแกน 360 องศา
- 1.2.3 เพื่อออกแบบสร้างชุดวัดมุมแบบรอบแกน 360 องศา

1.3 ขอบเขตของการวิจัย

- 1.3.1 ออกแบบและสร้างทรายสอดิวเซอร์วัดมุม แบบรอบแกน 360 องศา
- 1.3.2 ทำการทดสอบทรายสอดิวเซอร์วัดมุม แบบรอบแกน 360 องศา
- 1.3.3 ประยุกต์ใช้ทรายสอดิวเซอร์วัดมุมสำหรับเครื่องชั่งน้ำหนักแบบสปริงแสดงผลแบบดิจิตอล
- 1.3.4 ทดสอบเครื่องชั่งน้ำหนักแบบสปริงแสดงผลแบบดิจิตอล โดยการสอบเทียบมาตรฐาน

1.4 ขั้นตอนและวิธีการดำเนินการของวิทยานิพนธ์

- 1.4.1 ศึกษาทฤษฎีที่เกี่ยวข้องกับการทำวิจัย
 - 1.4.1.1 ศึกษาข้อมูลเกี่ยวกับชุดอลล์อฟเฟกต์เซ็นเซอร์
 - 1.4.1.2 ศึกษาข้อมูลเกี่ยวกับความรู้เบื้องต้นของการวัดและเครื่องมือวัด
 - 1.4.1.3 ศึกษาข้อมูลเกี่ยวกับทรายสอดิวเซอร์วัดมุม
- 1.4.2 การออกแบบทรายสอดิวเซอร์วัดมุม แบบรอบแกน 360 องศา
 - 1.4.2.1 ทดสอบความเป็นเส้นของชุดอลล์อฟเฟกต์เซ็นเซอร์
 - 1.4.2.2 ทดสอบความเป็นเส้นมุมของชุดอลล์อฟเฟกต์เซ็นเซอร์
 - 1.4.2.3 ออกแบบทรายสอดิวเซอร์วัดมุมแบบรอบแกน 360 องศา โดยใช้ชุดอลล์อฟเฟกต์เซ็นเซอร์
- 1.4.3 ทดสอบทรายสอดิวเซอร์วัดมุมแบบรอบแกน 360 องศา
 - 1.4.3.1 ทดสอบความแม่นยำของทรายสอดิวเซอร์วัดมุม
 - 1.4.3.2 ทดสอบความความเที่ยงตรงของทรายสอดิวเซอร์วัดมุม
 - 1.4.3.3 ทดสอบความผิดพลาดอิสเทอร์รีซิสของทรายสอดิวเซอร์วัดมุม
 - 1.4.3.4 ทดสอบทรายสอดิวเซอร์วัดมุมแบบรอบแกน 360 องศา มาแปลผลมุม โดยเทียบกับ อุปกรณ์วัดมุมมาตรฐาน
- 1.4.4 ทดสอบเครื่องชั่งน้ำหนักแบบสปริงแสดงผลแบบดิจิตอล โดยการสอบเทียบมาตรฐาน
- 1.4.5 สรุปและขอเสนอแนะ

1.5 ประโยชน์ที่คาดว่าจะได้รับ

- 1.5.1 ได้ทราบสติวเชอร์วัคnumแบบรอบแกน 360 องศา ทางเลือกชนิดใหม่ที่ดันทุนตัว
- 1.5.2 สามารถนำทราบสติวเชอร์วัคnum ไปประยุกต์ใช้งานกับตาชั่งแบบสปริงเพื่อเปลี่ยนรูปแบบการแสดงผลเป็นแบบดิจิตอล



บทที่ 2

ทฤษฎีและงานวิจัยที่เกี่ยวข้อง

เนื้อหาของบทนี้จะกล่าวถึงทฤษฎีและงานวิจัยที่เกี่ยวข้อง โดยเรียงลำดับตั้งแต่ทฤษฎีเกี่ยวกับแม่เหล็กคลาสสิก ความรู้พื้นฐานทางค้านแรงตัวโนร์มัล สำหรับการออกแบบชุดเชิงเซอร์ นิยามที่ใช้ในการวัดทางอุตสาหกรรม และไมโครคอนโทรลเลอร์สำหรับแปลงค่าแรงดันไฟฟ้าที่เป็นสัญญาณอนาล็อกให้เป็นสัญญาณดิจิตอลเพื่อแสดงผล สุดท้ายเป็นงานวิจัยที่เกี่ยวข้องสำหรับใช้เป็นข้อมูลอ้างอิงและพัฒนาสำหรับงานวิจัยนี้

2.1 แม่เหล็ก (Magnet)

แม่เหล็กคือ [5-6] วัตถุที่สามารถดูดสารประกอบเหล็กบางชนิดได้ แม่เหล็กเป็นสารประกอบของเหล็กและออกซิเจน เมื่อยอนุภาคที่มีประจุไฟฟ้า เคลื่อนที่ผ่านเข้าไปในบริเวณที่มีสนามแม่เหล็ก (Magnetic field; Φ) จะมีแรงม้ากระทำต่ออนุภาคนั้น ทำให้มีทิศการเคลื่อนที่เปลี่ยนแปลงไปเรียกแรงที่ม้ากระทำนี้ว่า “แรงเนื่องจากสนามแม่เหล็กหรือแรงโล伦ตซ์ (Lorentz Force; F_B)” แรงนี้จะมากหรือน้อยขึ้นกับเส้นแรงแม่เหล็ก (Magnetic Lines of Force)

2.1.1 สนามแม่เหล็ก

สนามแม่เหล็ก หมายถึงจำนวนเส้นแรงแม่เหล็กที่ผ่านตั้งฉากบนพื้นที่หนึ่งตารางหน่วย เป็นปริมาณสเกลาร์ พบว่าบริเวณใกล้ขั้วแม่เหล็กจะมีสนามแม่เหล็กหนาแน่นและสนามแม่เหล็กจะหนาแน่นน้อยลงเมื่อยอยู่ห่างจากขั้วแม่เหล็ก อัตราส่วนระหว่างสนามแม่เหล็กต่อพื้นที่ตั้งฉากกับสนามหนึ่งตารางหน่วย เรียกว่า ความหนาแน่นสนามแม่เหล็ก

$$B = \frac{\varphi}{A} \quad (2.1)$$

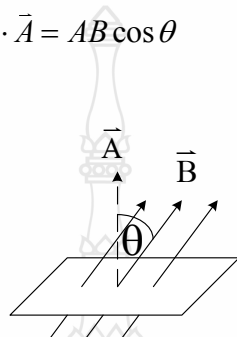
เมื่อ B คือความเข้มของสนามแม่เหล็ก มีหน่วยเกาซ์ต่อตารางเมตร (G/m^2)

φ คือสนามแม่เหล็กที่ผ่านพื้นที่ มีหน่วยเกาซ์ (G)

A คือพื้นที่ตั้งฉากกับสนามแม่เหล็ก มีหน่วยตารางเมตร (m^2)

ถ้าสนามแม่เหล็กไม่ตั้งฉากกับพื้นที่ ทำให้ทิศสนามแม่เหล็กกับทิศของเวกเตอร์หนึ่งหน่วยพื้นที่ที่ทำมุมต่อกัน θ ดังภาพที่ 2.1 การหาสนามแม่เหล็ก หาได้จากความสัมพันธ์ระหว่างสนามแม่เหล็กและความเข้มสนามแม่เหล็ก ดังสมการ

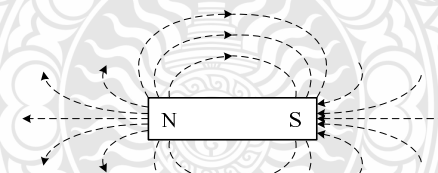
$$\varphi = \vec{B} \cdot \vec{A} = AB \cos \theta \quad (2.2)$$



ภาพที่ 2.1 ความเข้มของสนามแม่เหล็กที่สนามแม่เหล็กไม่ตั้งฉากกับพื้นที่

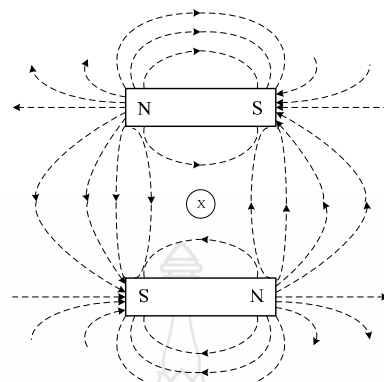
2.1.2 เส้นแรงแม่เหล็ก

เส้นแรงแม่เหล็กคือ เส้นที่แสดงทิศทางของสนามแม่เหล็กในบริเวณหนึ่ง โดยเส้นแรงแม่เหล็กภายในออกแต่งแม่เหล็กพุ่งออกจากข้าวเหนียวเข้าหาข้าวใต้ภายในแต่งแม่เหล็กเส้นแรงแม่เหล็กพุ่งออกจากข้าวใต้เข้าหาข้าวเหนียว เส้นแรงแม่เหล็กแต่ละเส้นจะไม่ตัดกัน

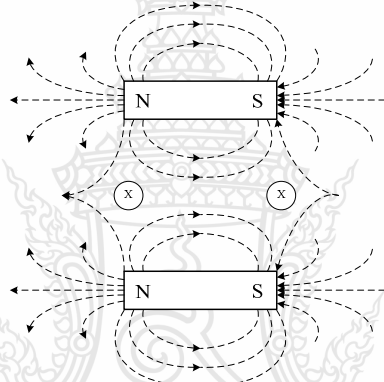


ภาพที่ 2.2 ลักษณะของเส้นแรงแม่เหล็ก

จุดเดินแม่เหล็ก หมายถึงจุดที่อยู่ในสนามแม่เหล็กที่มีค่าสนามแม่เหล็กเป็นศูนย์ หรือ เป็นจุดที่ไม่มีเส้นแรงแม่เหล็กผ่าน ดังที่ภาพ 2.3



(ก) จุดสะเทินเมื่อแม่เหล็กข้ามเดียวกันวางไว้ใกล้กัน



(ข) จุดสะเทินเมื่อแม่เหล็กตั้งขึ้นกันวางไว้ใกล้กัน

ภาพที่ 2.3 จุดสะเทินเนื่องจากแท่งแม่เหล็กวางใกล้กัน

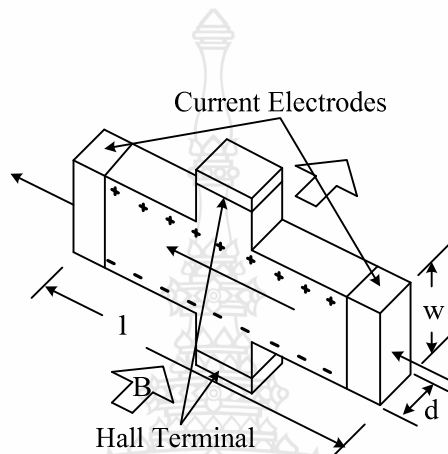
2.2 ชอลล์เอฟเฟกต์ (Hall Effect)

ชอลล์เอฟเฟกต์ [7-10] เป็นอุปกรณ์ที่รานสดิวเซอร์ชนิดหนึ่ง ใช้สำหรับตรวจจับความเข้มสนาณแม่เหล็ก ที่มีขนาดเล็กและสามารถนำไปประยุกต์ใช้งานได้อย่างหลากหลาย เช่น ใช้สำหรับวัดตำแหน่งระยะทาง ความเร็วรอบ หรือการวัดการกระชับเชิงมุมของเพลา เป็นต้น

2.2.1 โครงสร้างและพื้นฐานการทำงาน

แรงดันไฟฟ้าทางด้านເອດຸພຸດທີ່ໄດ້ຈາກชອლ්ලෝົບັດ ຈະເກີດຂຶ້ນກີ່ຕ່ອມື່ມີກາຣເບິ່ງເບີນຂອງຮະແສໄຟຟ້າຄົງທີ່ທີ່ໄລ້ຜ່ານອຸປະນຸມສາງກິ່ງຕ້ວນນຳທີ່ເຮົາກວ່າ “ชອල්ලෝົບັດ” ດັ່ງແສດງທີ່ສາທາກການໃຫຍ່ຂອງຮະແສໄຟຟ້າໃນກາພທີ່ 2.5 ທັງນີ້ກາຣເບິ່ງເບີນຂອງຮະແສໄຟຟ້ານັ້ນຈະເຂັ້ມຍູ້ກັບສนาณແມ່ເຫັນທີ່ຕິດຕັ້ງຍູ້ທີ່ສອງດ້ານຂອງ ຕ້າກຳເນີດສ້າງສາມ໌ ທີ່ຕິດຕັ້ງຍູ້ທີ່ສອງດ້ານຂອງ ຕ້າກຳເນີດສ້າງສາມ໌ ດັ່ງກາພທີ່ 2.4 ເປັນຕ້ວນນຳພາ

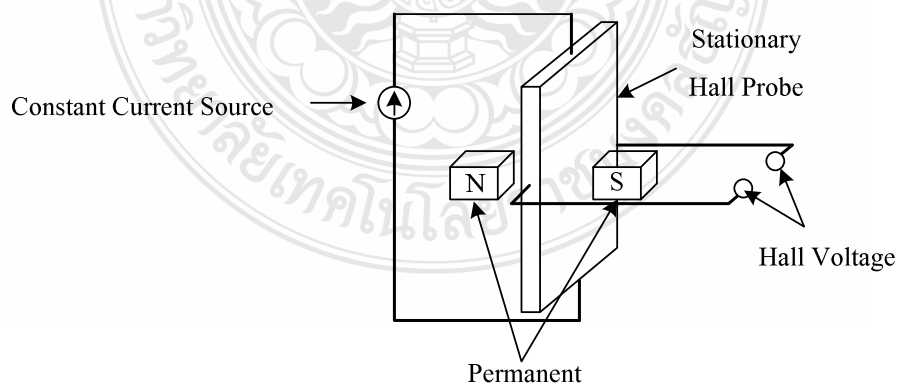
กระแสไฟฟ้า (Current Carrying Conductor) ที่ไหลผ่านตัวกำเนิดสัญญาณชอล์ด ผลที่เกิดขึ้นจากสนามแม่เหล็กที่ตั้งฉากกับทิศทางการไหลของกระแสไฟฟ้าจะมีขนาดเป็นสัดส่วนของผลคูณระหว่างความหนาแน่นของสนามแม่เหล็กกับกระแสไฟฟ้า ทั้งนี้การกำหนดแบบแผนของตัวนำไฟฟ้าสนามไฟฟ้า และการไหลของกระแสไฟฟ้าแสดงในภาพที่ 2.5



ภาพที่ 2.4 โครงสร้างทางกายภาพของชอล์ดอฟเฟกต์

เมื่อประจุของอิเล็กตรอน (Electron Charge; e) ซึ่งเป็นกระแสไฟฟ้าสุทธิที่เคลื่อนที่ในสนามแม่เหล็กด้วยความเร็ว (Velocity; v) ได้แรง洛伦茲 (Lorentz Force; F_B) สามารถเขียนความสัมพันธ์ดังสมการ 2.3

$$F_B = e(vB) \quad (2.3)$$



ภาพที่ 2.5 การเกิดแรงดันไฟฟ้าจากชอล์ดอฟเฟกต์

ลักษณะพื้นฐานการทำงาน คือ กระแสไฟฟ้าไหลผ่าน ตัวนำเนิดสัญญาณชอล์จฉุกบังคับ ด้วย โครงสร้างของสารกึ่งตัวนำ และอิเล็กตรอนที่ถูกทำให้เกิดการหักเหจากความเข้มของ สนามแม่เหล็ก การสร้างประจุที่เพิ่มขึ้นของตัวนำเนิดสัญญาณชอล์จเป็นการสร้างสนามไฟฟ้า เรียกว่า “สนามไฟฟ้าจากปรากฏการณ์ชอล์จ (Hall Field; E_H)” และการไหลของกระแสไฟฟ้าจะ เป็นไปในทิศทางเดjmอย่างต่อเนื่อง ถ้าไม่มีผลกระทบที่เกิดขึ้นจากการเปลี่ยนแปลงของสนามแม่เหล็ก โดยกำหนดให้สนามไฟฟ้าเท่ากัน



ภาพที่ 2.6 การเบี่ยงเบนของกระแสไฟฟ้าที่ไหลผ่าน ตัวนำเนิดสัญญาณชอล์จ

$$E_H = vB \quad (2.4)$$

ถ้า q หมายถึง ความหนาแน่นและประจุของตัวนำตามลำดับ ดังนั้นความหนาแน่นของ กระแสไฟฟ้า (Current; i) จะได้

$$i = qv \quad (2.5)$$

เมื่อสนามไฟฟ้าจากปรากฏการณ์ชอล์จถูกแสดงโดยความเร็วของอิเล็กตรอนเดี่ยวจะได้

$$E_H = \frac{1}{q} i B \quad (2.6)$$

ค่าตัวประกอบชี้อยู่ในภาพของ สัมประสิทธิ์ชอล์จ (Hall Coefficient; R_H) จะเป็นส่วน กลับของความหนาแน่นของพาณะตัวนำตามชนิดสารกึ่งตัวนำที่ใช้ทำเป็น ตัวนำเนิดสัญญาณชอล์จ

ด้วยเหตุนี้ ชอล์อฟเฟกต์จึงได้ถูกสร้างมาจากการกึ่งตัวนำมากกว่าสร้างจากโลหะจากภาพที่ 2.4 จะเห็นว่าระดับแรงดันไฟฟ้าของชอล์ (Hall Voltage; V_H) เท่ากับ

$$V_H = wE_H \quad (2.7)$$

$$I = iwd \quad (2.8)$$

ดังนั้น จึงหาได้จากระดับแรงดันไฟฟ้าของชอล์

$$V_H = \frac{R_H}{d} IB \quad (2.9)$$

เมื่อ w คือ ความกว้างของตัวกำเนิดสัญญาณชอล์

d คือ ความหนาของตัวกำเนิดสัญญาณชอล์

ความสมดุลระหว่างแรงดันเรนท์กับ สนามไฟฟ้าจากปรากฏการณ์ชอล์จะเกิดขึ้นได้เฉพาะกับตัวนำที่มีกระแสไฟฟ้าไหลผ่านตัวนำความเร็วคงที่ ทั้งนี้กระแสไฟฟ้าในชิ้นส่วนชอล์ (Hall Element) จะถูกกำหนดด้วยความร้อนที่แผ่กระจายและความสามารถในการทนต่ออุณหภูมิที่เพิ่มสูงขึ้นที่กำลังงานสูงสุดของເອົາຕີພຸດສ່ວນໃໝ່ ปัญหาที่เกี่ยวข้องกับปรากฏการณ์ของชอล์ เอฟเฟกต์ คือกระแสรบกวนที่เกิดจากเครื่องจ่ายแรงดันไฟฟ้าทางด้านอินพุต หรือสนามแม่เหล็กที่เกิดขึ้นจากสภาพรอบข้าง ซึ่งจะมีผลทำให้ค่าที่ได้จากการตรวจวัดมีค่าผิดพลาดได้



ภาพที่ 2.7 ลักษณะรูปร่างของชอล์อฟเฟกต์เซ็นเซอร์โดยทั่วไป

2.2.2 คำนวณหาความเข้มของสนามแม่เหล็กสำหรับชุดอล์โอฟเฟกต์เซ็นเซอร์

ชุดอล์โอฟเฟกต์เซ็นเซอร์ใช้ในการตรวจจับความเข้มของสนามแม่เหล็กซึ่งอาศัย原理การณ์ชอล์ดทำให้เกิดความต่างศักย์ค่าหนึ่งที่เปลี่ยนแปลงตามความเข้มของสนามแม่เหล็ก ถ้านำข้าวเหนียวเข้าใกล้ค่าความต่างศักย์จะเพิ่มขึ้นทางด้านลบ (-) แต่ถ้านำข้าวได้เข้าใกล้ค่าความต่างศักย์จะเพิ่มขึ้นทางด้านบวก (+) ความต่างศักย์ที่เปลี่ยนไปมีความสัมพันธ์กับความเข้มของสนามแม่เหล็กดังนี้

$$B = \frac{V_{out(B)} - V_{out(O)}}{S} \quad (2.10)$$

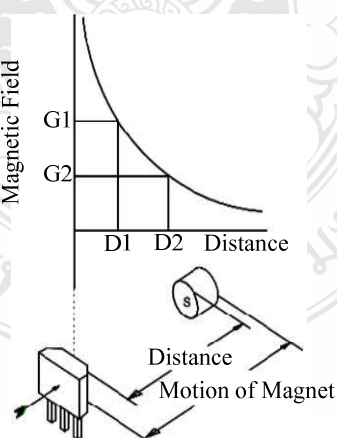
เมื่อ $V_{out(B)}$ คือ ความต่างศักย์ขณะมีสนามแม่เหล็กมีหน่วยเป็นโวลต์ (V)

$V_{out(O)}$ คือ ความต่างศักย์ขณะไม่มีสนามแม่เหล็กมีหน่วยเป็นโวลต์ (V)

S คือ สัมประสิทธิ์ความไวมีหน่วยเป็นโวลต์ต่อเกาซ์ (V/G)

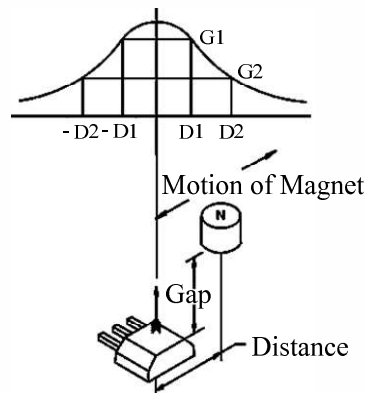
B คือความเข้มของสนามแม่เหล็กมีหน่วยเป็นเกาซ์ (G)

ค่าความต่างศักย์ที่เกิดขึ้นจะเพิ่มขึ้นหรือลดลงขึ้นอยู่กับระยะห่างระหว่างสนามแม่เหล็กที่เข้าใกล้บริเวณตัวนำกระแสไฟฟ้าภายในชุดอล์โอฟเฟกต์ ถ้าอยู่ใกล้ค่าความต่างศักย์ที่ได้จะสูง ถ้าอยู่ไกลค่าความต่างศักย์จะต่ำลงจนเหลือเท่ากับครึ่งหนึ่งของค่าความต่างศักย์ที่จ่ายให้ การตรวจสอบตำแหน่งการเคลื่อนที่ของแม่เหล็กข้าวเดี่ยว แบบดึงจากกับตัวเซ็นเซอร์ ต่อผลตอบสนองความเข้มของสนามแม่เหล็กเรียกว่า “แบบยูนิโพลาร์เชด่อน (Unipolar Head-on Mode)” แสดงได้ดังภาพที่ 2.8



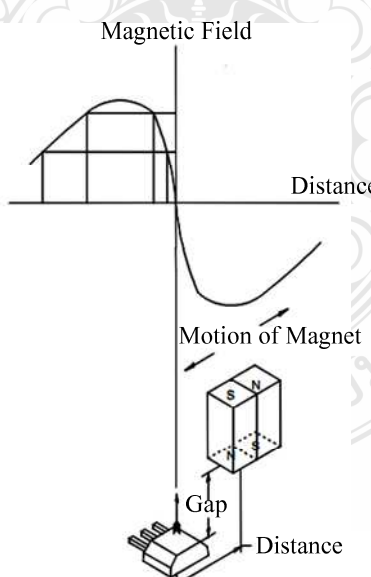
ภาพที่ 2.8 การวัดความเข้มของสนามแม่เหล็ก แบบยูนิโพลาร์เชด่อน [9]

การตรวจสอบตำแหน่งการเคลื่อนที่ของแม่เหล็กแบบขานานกับตัวเซ็นเซอร์ ต่อผลตอบสนองความเข้มของสนามแม่เหล็กข้ามเดี่ยว เรียกว่า “แบบยูนิโพลาร์สไลด์ (Unipolar Slide-by Mode)” แสดงได้ดังภาพที่ 2.9

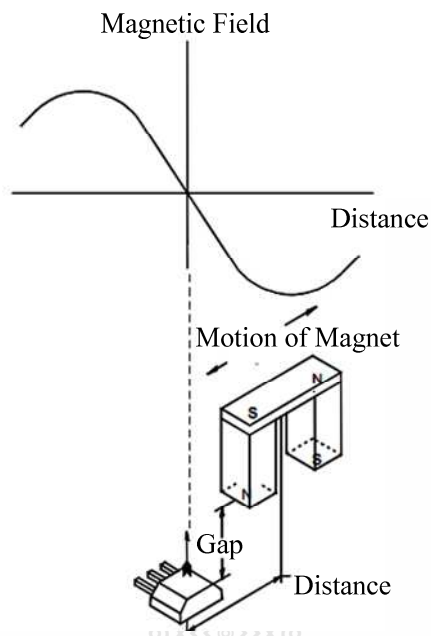


ภาพที่ 2.9 การวัดความเข้มของสนามแม่เหล็กแบบยูนิโพลาร์สไลด์ [9]

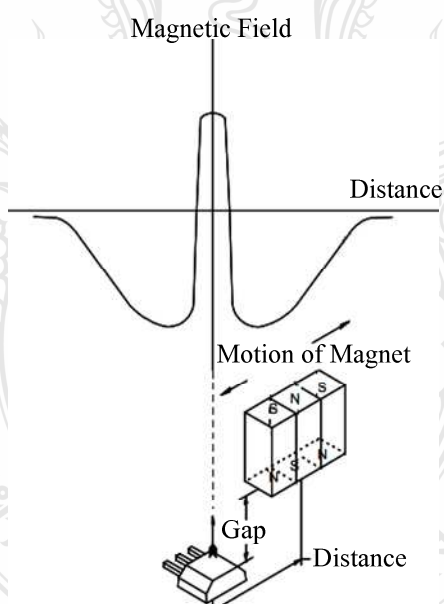
การตรวจสอบตำแหน่งการเคลื่อนที่ของแม่เหล็กแบบขานานกับตัวเซ็นเซอร์ ต่อผลตอบสนองความเข้มของสนามแม่เหล็กข้ามคู่ เรียกว่า “แบบไบโพลาร์สไลด์ (Bipolar Slide-by Mode)”



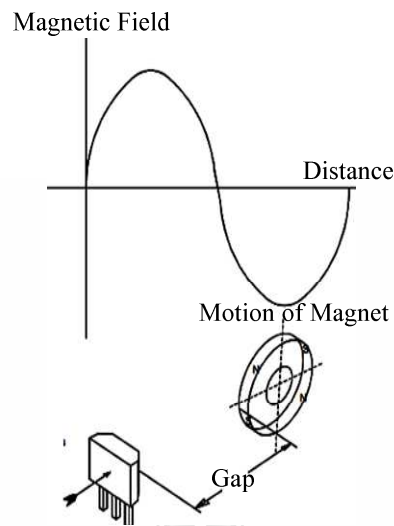
ภาพที่ 2.10 การวัดความเข้มของสนามแม่เหล็กแบบไบโพลาร์สไลด์รูปแบบที่ 1 [9]



ภาพที่ 2.11 การวัดความเข้มของสนามแม่เหล็กแบบในโพลาร์สไลเดอร์รูปแบบที่ 2 [9]

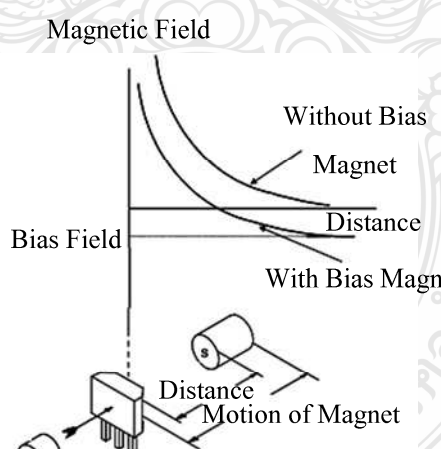


ภาพที่ 2.12 การวัดความเข้มของสนามแม่เหล็กแบบในโพลาร์สไลเดอร์รูปแบบที่ 3 [9]



ภาพที่ 2.13 การวัดความเข้มของสนามแม่เหล็กแบบใบโพลาร์สไลด์รูปแบบที่ 4 [9]

การตรวจสอบตำแหน่งการเคลื่อนที่ของแม่เหล็กข้ามเดียว เพิ่มแม่เหล็กฐานอยู่กับที่ด้านหลังตัวเซ็นเซอร์ แบบตั้งฉากกับตัวเซ็นเซอร์ ต่อผลตอบสนองความเข้มของสนามแม่เหล็กเรียกว่า “แบบพุชพุชแอปโพโพธ (Push-Push Approach)” ดังภาพที่ 2.14



ภาพที่ 2.14 การวัดความเข้มของสนามแม่เหล็กแบบพุชพุชแอปโพโพธ [9]

ประโยชน์หลักของทราบสัตว์เชื้อรัชนิดนี้ คือ เป็นอุปกรณ์ที่ทำงานโดยไม่สัมผัสกับชิ้นงาน ที่ต้องการตรวจจับโดยตรง ไม่มีการเสียดสีจึงไม่เกิดการสึกหรอจากการใช้งาน มีความสามารถในการตรวจจับสูง และมีขนาดเล็ก จึงเป็นที่นิยมใช้อย่างกว้างขวางในปัจจุบัน

2.3 คำนิยามของการวัด

การวัด (Measurement) [11, 12] เป็นพื้นฐานสำหรับวิทยาศาสตร์และเทคโนโลยีทุกสาขา การวัด คือการกำหนดตัวเลขให้กับคุณสมบัติ (Properties) ของวัตถุหรือเหตุการณ์ดังนั้นมันจึงเป็นการบรรยายถึงคุณสมบัติของวัตถุหรือของเหตุการณ์ ก่อนที่จะลงมือทำการวัด ดังนั้นในขั้นตอนแรกจะต้องมีการกำหนดความต้องการ (Need) สำหรับการวัด

2.3.1 ความต้องการในการปรับปรุงคุณภาพของการวัดอย่างต่อเนื่อง

ตามการพัฒนาวิทยาศาสตร์และเทคโนโลยี คุณภาพไม่ได้เป็นเพียงแต่ความถูกต้อง (Accuracy) ของการวัด คุณภาพของระบบเครื่องวัดจะรวมถึง

- ความหมายของมันต่องานการวัดที่จำเพาะอย่าง
- ความรู้เกี่ยวกับความไม่แน่นอน (Uncertainties) ที่รวมอยู่กับระบบเครื่องวัด
- ความเชื่อถือได้ (Reliability) ของระบบเครื่องวัด

ดังนั้นสิ่งที่สำคัญคือ จะต้องมีความเข้าใจความสามารถ (Capabilities) และจำกัด (Limitation) ของเครื่องวัด เพื่อที่จะสามารถเลือกใช้อุปกรณ์ที่ต้องการ หรือสามารถกำหนดจำเพาะสม บรรณะที่ต้องการแก่ผู้ออกแบบเครื่องวัด

2.3.2 ค่าผิดพลาด (Errors)

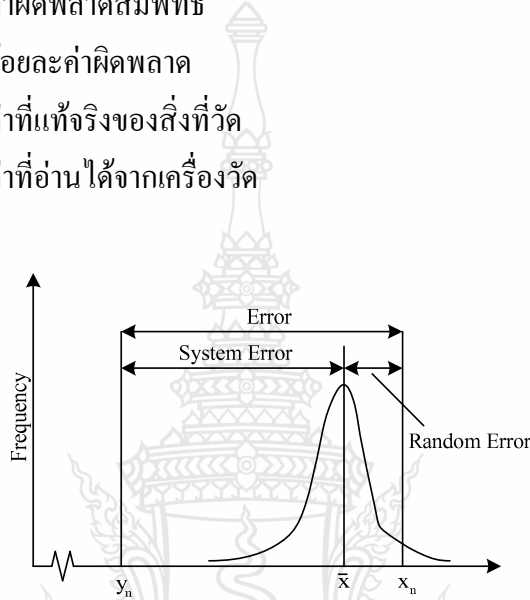
ค่าผิดพลาดหมายถึง ค่าความแตกต่างระหว่างปริมาณที่แท้จริงของค่าตัวแปรที่ต้องการวัด กับค่าที่อ่านได้จากเครื่องมือวัด ซึ่งอาจจะอยู่ในลักษณะของปริมาณตัวเลข หรือร้อยละ ทางทฤษฎี ความสัมพันธ์ของเอาต์พุตกับค่าของ การวัดจากการใช้งานทราบสัตว์จะอยู่ในรูปของสมการทางคณิตศาสตร์ กราฟ หรือตาราง ค่าผิดพลาด (Error) ในหน่วยของการวัดสามารถหาได้จากสมการที่ 2.11 และคิดเป็นร้อยละค่าผิดพลาด ดังสมการที่ 2.13

$$Error = Y_n - X_n \quad (2.11)$$

$$Relative Error = \frac{Y_n - X_n}{Y_n} \quad (2.12)$$

$$\%Error = \left| \frac{Y_n - X_n}{Y_n} \right| \times 100 \quad (2.13)$$

เมื่อ	Error	คือ ข้อค่าผิดพลาด
	Relative Error	คือ ค่าผิดพลาดสัมพัทธ์
	%Error	คือ ร้อยละค่าผิดพลาด
	Y_n	คือ ค่าที่แท้จริงของสิ่งที่วัด
	X_n	คือ ค่าที่อ่านได้จากเครื่องวัด



ภาพที่ 2.15 ค่าผิดพลาดต่างๆ กับความถี่ของค่าที่วัดได้

2.3.3 ความแม่นยำ (Accuracy)

ในการวัดปริมาณใดๆ สิ่งต่างๆ ที่มีอิทธิพลต่อการวัดเป็นอย่างมากคือ ค่าผิดพลาดทางสถิติ (Static Error) ค่าผิดพลาดทางพลวัต (Dynamic Error) การเลื่อน (Drift) และความไม่เป็นเชิงเส้น (Non-Linearity) ความถูกต้องแม่นยำในที่นี้หมายถึงค่าที่อ่านได้จะต้องมีความใกล้เคียงกันกับค่ามาตรฐานที่ยอมรับได้หรือค่าจริง

ความแม่นยำของระบบที่สมบูรณ์นั้นมีความสัมพันธ์กับความถูกต้องแม่นยำเฉพาะตัวของ อุปกรณ์เซ็นเซอร์ขั้นปฐมภูมิ (Primary Sensing Element) อุปกรณ์เซ็นเซอร์ขั้นทุติภูมิ (Secondary Sensing Element) และอุปกรณ์ที่ใช้งานอุปกรณ์แต่ละชนิดจะมีความถูกต้องแม่นยำในขอบเขตของ ตนเองถ้า $\pm a_1, \pm a_2$ และ $\pm a_3$ เป็นหน่วยความแม่นยำของอุปกรณ์แต่ละชนิดในระบบและ A เป็นค่า ความแม่นยำโดยรวมแล้ว ค่าขอบเขตของความแม่นยำต่ำสุดสามารถเขียนได้ว่า

$$A = \sqrt{a_1^2 + a_2^2 + a_3^2} \quad (2.14)$$

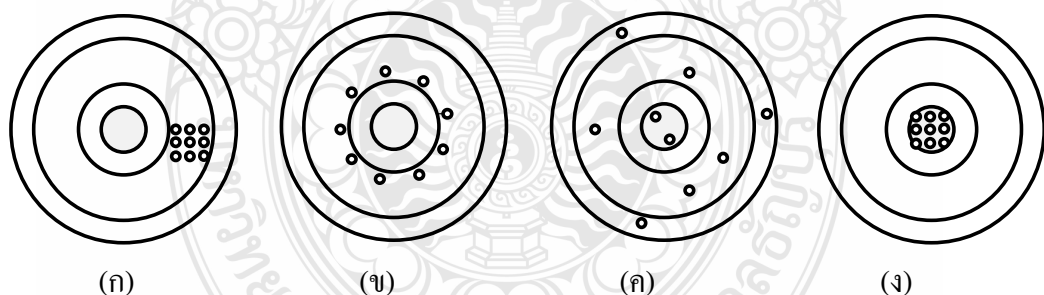
แต่ทางปฏิบัติ راكที่สองของความแม่นยำถูกกำหนดขึ้นมาเนื่องจากเป็นไปไม่ได้ที่อุปกรณ์ทุกตัวในระบบ จะมีค่าผิดพลาดทางสถิติมากที่สุด ณ ตำแหน่งและช่วงเวลาเดียวกันโดยทั่วๆ ไปแล้ว ค่าความแม่นยำจะอยู่ในรูปของค่าผิดพลาด ในหน่วยของการวัดที่คิดเป็นร้อยละ ดังสมการที่ 2.15

$$A = 1 - \left| \frac{Y_n - X_n}{Y_n} \right| \times 100 \quad (2.15)$$

เมื่อ A คือ ร้อยละความแม่นยำ
 Y_n คือ ค่าที่แท้จริงของสิ่งที่วัด
 X_n คือ ค่าที่อ่านได้จากเครื่องวัด

2.3.4 ความเที่ยงตรง (Precision)

ความเที่ยงตรงของเครื่องมือวัด สามารถแบ่งการพิจารณาออกได้เป็นสองความหมาย ความหมายแรกคือความใกล้เคียงกันของค่าที่ได้จากการวัดปัจมานเดียวกัน โดยค่าที่ได้จะต้องอยู่ในช่วงค่าเฉลี่ยของการวัดทั้งหมด ซึ่งหมายความว่าเครื่องมือวัดมีความสามารถซ้ำค่าเดิม (Repeatability) นั่นเอง เครื่องมือวัดที่มีความเที่ยงตรงสูงผลลัพธ์ที่ได้จากการวัดจะมีการกระจายน้อยกว่าเครื่องมือที่มีความเที่ยงตรงต่ำ



ภาพที่ 2.16 การเปรียบเทียบลักษณะความแตกต่างระหว่างความแม่นยำและความเที่ยงตรง

- (ก) ความเที่ยงตรงสูงแต่ความแม่นยำต่ำ
- (ข) ความแม่นยำมีการกระจายที่ดีแต่มีความเที่ยงตรงต่ำ
- (ค) ความแม่นยำต่ำอักหั้งยังมีความเที่ยงตรงที่ต่ำด้วยเช่นกัน
- (ง) ความแม่นยำสูงและมีความเที่ยงตรงสูงด้วยเช่นกัน

จากภาพที่ 2.16 แสดงให้เห็นว่าเครื่องมือที่ใช้สำหรับตรวจวัดนั้นมีความน่าเชื่อถือเพียงใด ส่วนในความหมายที่สองของคำว่า “เที่ยงตรง” คือความละเอียดของการวัดซึ่งอาจหมายความถึง เครื่องมือวัดมีสเกล (Scale) ที่ละเอียดมากๆ ทำให้สามารถอ่านค่าที่ได้จากการวัดได้อย่างละเอียด

โดยจะสามารถเห็นได้อย่างชัดเจนจากสเกลของเครื่องมือวัดที่เป็นแบบอนาล็อก ส่วน เครื่องมือวัดที่เป็นแบบดิจิตอลก็คือมีจุดทศนิยมหลายๆ ตำแหน่งเป็นต้น

$$P = 1 - \left| \frac{x_n - \bar{x}_n}{\bar{x}_n} \right| \quad (2.16)$$

เมื่อ P คือ ความเที่ยงตรง

x_n คือ ค่าที่อ่านได้จากเครื่องวัด

\bar{x}_n คือ ค่าเฉลี่ยของการวัด

2.3.5 ฮีสเตอร์รีซีส (Hysteresis)

ฮีสเตอร์รีซีส หมายถึงผลต่างสูงสุดของค่าแท้จริงที่อ่านได้จากเครื่องมือวัดในช่วงระหว่าง ขาขึ้น หรือจุดเริ่มต้นถึงจุดสูงสุด กับขาลง หรือจุดสูงสุดถึงจุดเริ่มต้น ที่จุดๆ เดียวกัน โดยพิจารณา เนพาะในส่วนของบริเวณที่กว้างที่สุดของวงรอบ (Loop) การใช้เครื่องมือวัดในการวัดค่าพารามิเตอร์ ต่างๆ นั้นสิ่งที่มักจะพบอยู่บ่อยๆ คือ การเพิ่มค่าขึ้นและลดค่าลงของสัญญาณทางเอกสารพุตที่ได้จากการ วัดจะมีความแตกต่างกันอยู่เสมอ สาเหตุสำคัญอาจเกิดขึ้นจากการเสียดทานภายในหรือภายนอกอัน เนื่องจากการตอบสนองของอุปกรณ์ เช่นเซอร์วิส์ทำการวัด ค่าสูงสุดของความแตกต่างในทุกส่วนของ เอกสารพุตที่อ่านได้จะปราฏกทุกๆ หนึ่งรอบของการสอบเทียบซึ่งเป็นฮีสเตอร์รีซีสของอุปกรณ์ จาก กราฟภาพที่ 2.17 ซึ่งจะมีความคล้ายคลึงกับฮีสเตอร์รีซีสของแม่เหล็กค่าพิเศษชนิดนี้สามารถ สามารถแก้ไขได้ที่ด้าเซ็นเซอร์ ค่าพิเศษเฉพาะจุดลงเมื่อมีการออกแบบและมีการเลือกส่วนประกอบ ของเครื่องมือที่เหมาะสม ฮีสเตอร์รีซีสจะอยู่ในรูปรอยละของค่าเต็มสเกลและมักจะเกิดขึ้นที่ระดับ 50% ของค่าเต็มสเกลของการวัดสัญญาณด้านเอกสารพุต ค่าฮีสเตอร์รีซีสสามารถหาได้จากสมการ 2.21

$$Error_h = y_{up} - y_{down} \quad (2.17)$$

การคิดเป็นร้อยละค่าพิเศษ จะนำค่า คลาดเคลื่อน ฮีสเตอร์รีซีส มาเทียบกับค่าความ เปลี่ยนแปลงของสัญญาณเอกสารพุตทั้งหมดของระบบดังนั้นจะสามารถหาได้จากสมการที่

$$\%Error_h = \frac{y_{up} - y_{down}}{y_{full} - y_{zero}} \times 100 \quad (2.18)$$

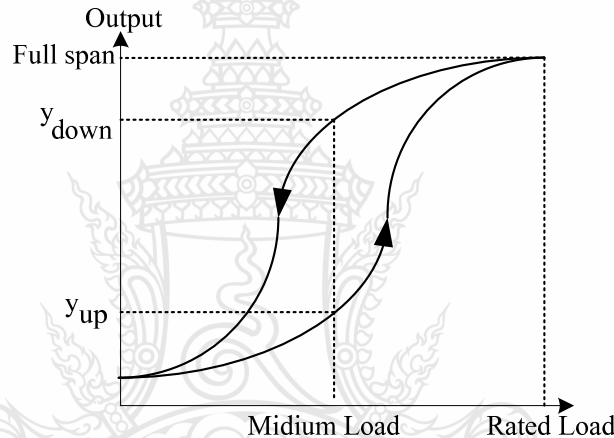
เมื่อ $\%Error$ คือ ค่าผิดพลาดระหว่างสัญญาณเอาต์พุตขาขึ้นกับสัญญาณเอาต์พุตขาลง

y_{up} คือ สัญญาณเอาต์พุตขาขึ้น

y_{down} คือ สัญญาณเอาต์พุตขาลง

y_{full} คือ สัญญาณเอาต์พุตสูงสุด

y_{zero} คือ สัญญาณเอาต์พุตต่ำสุด



ภาพที่ 2.17 ค่าผิดพลาดฮีสเตอร์รีเซ็ต

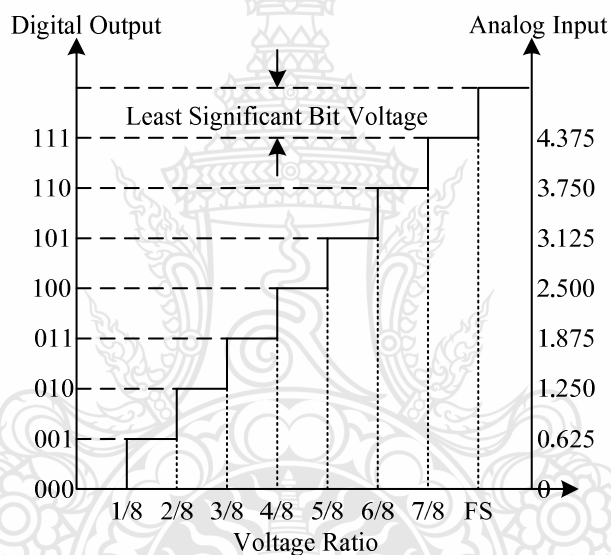
2.4 แปลงสัญญาอนามัยลอกเป็นดิจิตอล

การแปลงสัญญาอนามัยลอกเป็นดิจิตอล [13] เป็นการแสดงความสัมพันธ์ระหว่างปริมาณของสัญญาณไฟฟ้าที่เป็นสัญญาอนามัยลอกกับข้อมูลตัวเลขที่ใช้แทนสัญญาณดิจิตอล ความแม่นยำของการแปลงจะขึ้นอยู่กับจำนวนบิตของข้อมูลดิจิตอล วิธีแปลงสัญญาอนามัยลอกเป็นดิจิตอลนacd n บิต จะเกิดข้อมูลดิจิตอลจำนวน 2^n ข้อมูล กระบวนการที่ทำหน้าที่ดีความระดับสัญญาณอนามัยลอกว่าตรงกับข้อมูลดิจิตอลไดเรียกว่า กระบวนการการควบคุมไตชิ่ง (Quantizing)

$$V_{LSB} = \frac{V_{fs}}{2^n} \quad (2.19)$$

เมื่อ V_{LSB} คือ ระยะห่างของแรงดันต่อบิตข้อมูล
 V_{Fs} คือ แรงดันสูงสุดที่สามารถเกิดขึ้นได้ในวงจร
 n คือ จำนวน บิตข้อมูลที่ต้องการจะแปลง

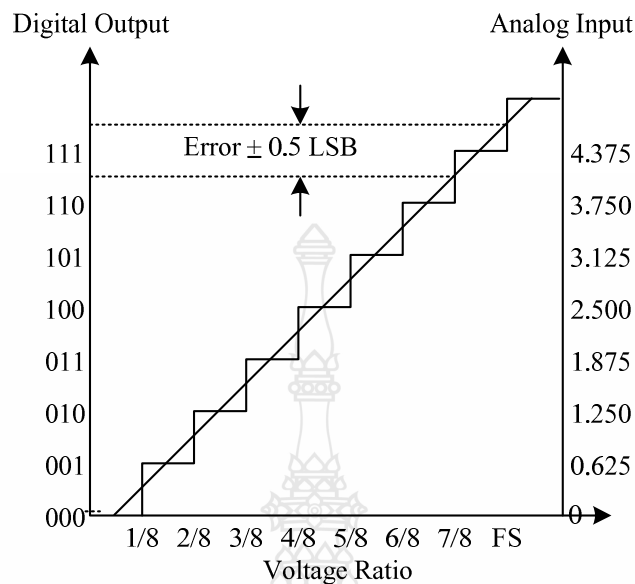
ถ้าหาก V_{Fs} ของวงจรแปลงสัญญาณอนาล็อกคิจ托ล 3 บิต มีค่าเท่ากับ 5 V ระยะห่างของระดับข้อมูลคิจ托ลเท่ากับ $5/8 = 0.625$ V ข้อมูลคิจ托ลสูงสุด คือ 111 ดังนั้นที่ข้อมูลคิจ托ลสูงสุดของวงจรแปลงสัญญาณอนาล็อกเป็นคิจ托ล 3 บิต จะมีค่าเทียบกับแรงดันอนาล็อกทางอินพุตเท่ากับ $(7/8) \times 5 \text{ V} = 4.37 \text{ V}$



ภาพที่ 2.18 ระยะห่างของแรงดันต่อบิตข้อมูล

2.4.1 ความเที่ยงตรงของวงจรแปลงสัญญาณอนาล็อกเป็นคิจ托ล

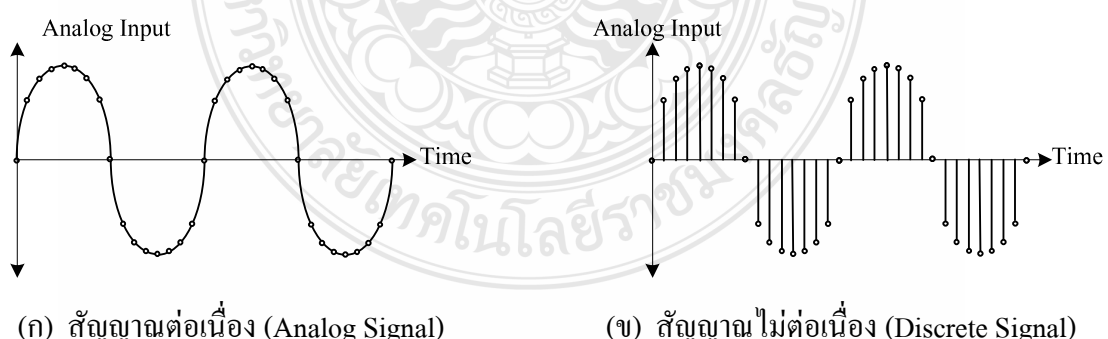
ความเที่ยงตรงของวงจรแปลงสัญญาณอนาล็อกเป็นคิจ托ล มักระบุเป็นจำนวนที่เทียบกับ V_{LSB} ดังนั้นนี้จึงมีค่าความเที่ยงตรง หรือบางที่เรียกเป็นค่าผิดพลาด เป็น $\pm 0.5 \text{ LSB}$



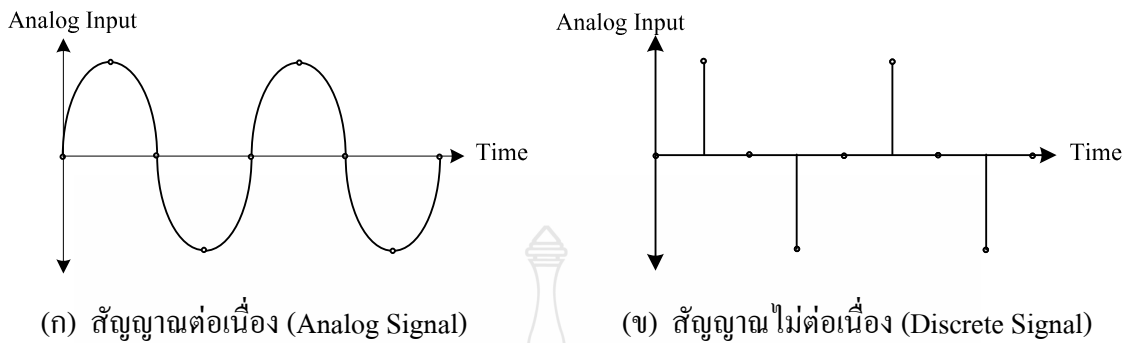
ภาพที่ 2.19 ความเที่ยงตรงของวงจรแปลงสัญญาณอนาล็อกเป็นดิจิตอล

2.4.2 อัตราการสุ่มสัญญาณอนาล็อก

อัตราการสุ่มสัญญาณอนาล็อกตามทฤษฎีบทของไนคิวส์ตัน (Nyquist Theorem) [14] กล่าวไว้ว่าอัตราการสุ่มสัญญาณจะต้องมีค่าสูงกว่าความถี่สูงสุดของสัญญาณวัดอย่างน้อย 2 เท่า เช่น การวัดความถี่เสียง ซึ่งมีข่ายความถี่สูงสุดที่ 20 KHz ดังนั้นต้องใช้วงจรแปลงสัญญาณอนาล็อกเป็นดิจิตอลที่มีอัตราสุ่มสัญญาณอย่างน้อย 40 KHz ซึ่งหากการสุ่มของสัญญาณไม่เร็วพอ ก็อาจทำให้การอ่านข้อมูลที่เกิดขึ้นคลาดเคลื่อนได้ ดังภาพที่ 2.20 และภาพที่ 2.21



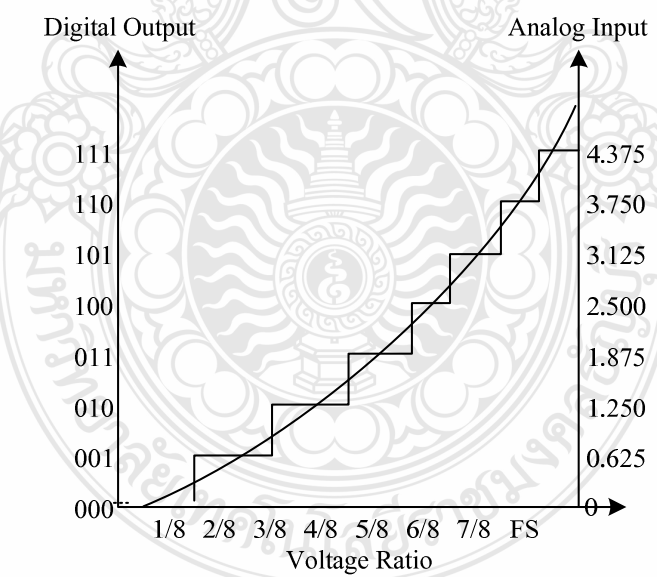
ภาพที่ 2.20 อัตราการสุ่มสัญญาณสูงเพียงพอจะได้สัญญาณที่ไม่คลื่นกับอินพุต



ภาพที่ 2.21 อัตราการสุ่มสัญญาณต่อเนื่อง สัญญาณที่ได้จะเพียงไปจากอินพุต

2.4.4 ความไม่เป็นเชิงเส้นของการแปลงสัญญาณ (Differential Nonlinearity; DNL)

การแปลงสัญญาอนามัยออกเป็นดิจิตอลที่ดีนี้ต้องประสงค์ตระหง่านเมื่อเทียบระหว่างค่าซึ่งแรงดันและช่วงแทนค่าดิจิตอล ดังภาพที่ 2.22 แสดงช่วงวัดสัญญาณแรงดัน 5 V กับวงจรแปลงสัญญาอนามัยออกเป็นดิจิตอลขนาด 3 บิต ซึ่งหากไม่มีความสัมพันธ์กันเป็นเชิงเส้นก็จะทำให้คลาดเคลื่อน ค่าผิดพลาดนี้ต้องไม่เกิน ± 0.5 LSB



ภาพที่ 2.22 ความไม่เป็นเชิงเส้นของการแปลงสัญญาณ

2.4.5 สัญญาณรบกวน (Noise)

สัญญาณที่เข้ามารบกวนระบบซึ่งไม่ใช้สัญญาณที่เราต้องการวัดเรียกว่า “สัญญาณรบกวน” เพราะสัญญาณรบกวนสามารถเกิดขึ้นได้ทุกจุดในการวัดค่าสัญญาณ ขึ้นอยู่กับการออกแบบทางฮาร์ดแวร์ที่มีการป้องกันการเกิดขึ้นของสัญญาณรบกวน ได้แน่นหนาเพียงใด ไม่ว่าจะเป็นแผ่นพิมพ์ วงจรการซีล็อกกราวด์สัญญาณวงจรภาคขยายสัญญาณ (Instrumentation Amplifier) เป็นต้น ค่าผิดพลาด จากสัญญาณรบกวน ไม่ควรเกินกว่า ± 0.5 LSB เนื่องจากหากคลาดเคลื่อนน้อยกว่า ± 0.5 LSB จะยังคงได้สัญญาณดิจิตอลค่าเดิมไม่เป็นการรบกวนระบบ

2.5 งานวิจัยที่เกี่ยวข้อง

ในด้านงานวิจัยที่ผ่านมา มีผู้พัฒนางานวิจัยหลายท่าน ได้เสนอแนวคิดเพื่อแก้ปัญหาเกี่ยวกับ การออกแบบทรายสติวเซอร์วัตมูน ได้แก่

Marina Diaz-Michelena [15] ได้กล่าวถึงภาพรวมของการนำเซ็นเซอร์แม่เหล็กไปใช้งาน ในรูปแบบต่าง รวมถึงรูปแบบการพัฒนาคุณสมบัติของแม่เหล็กและเซ็นเซอร์แม่เหล็กที่มีในปัจจุบัน ซึ่งเซ็นเซอร์ถูกนำมาไปประยุกต์ในงานเล็กๆ อย่างในโทรศัพท์มือถือ อุปกรณ์ทางการแพทย์ จนถึงระบบใหญ่ๆ เช่นอุปกรณ์นำทาง ตรวจจับความเร็วตำแหน่งเชิงมุม เพื่อให้การเลือกใช้เทคโนโลยี เซ็นเซอร์ แม่เหล็ก ให้เหมาะสมกับงาน

Andreas H. aberli [16] ได้ออกแบบเซ็นเซอร์ขนาดเล็กสำหรับวัตมูน 360 องศา ที่ความละเอียด 1 องศา ใช้การประมวลผลขนาด 8 บิต โดยวิธีการเปรียบเทียบสัญญาณจากเซ็นเซอร์ 4 ชุด

A. Maberli [17] ได้ออกแบบได้ออกแบบเซ็นเซอร์ขนาดเล็กสำหรับวัตมูน 360 องศา ที่ความละเอียด 1 องศา โดยวิธีการหาผลมุมจาก $\tan \theta = \sin \theta / \cos \theta$ เพื่อลดความยุ่งยากในการเปรียบเทียบสัญญาณ

P.M. Drljaca [18] ได้ทำการปรับปรุงเซ็นเซอร์ขนาดเล็กสำหรับวัตมูน 360 องศา ที่ความละเอียด 1 องศา โดยวิธีการหาผลมุมจาก $\tan \theta = \sin \theta / \cos \theta$ เพื่อลดความยุ่งยากในการเปรียบเทียบสัญญาณ จากเซ็นเซอร์ที่รับแรงจากแม่เหล็กไฟฟ้า เพื่อลดค่าคลาดเคลื่อนจากสัญญาณ sin และ cos ที่ไม่เป็นไปตามสมการทางคณิตศาสตร์

2.6 สรุปทฤษฎีและงานวิจัยที่เกี่ยวข้อง

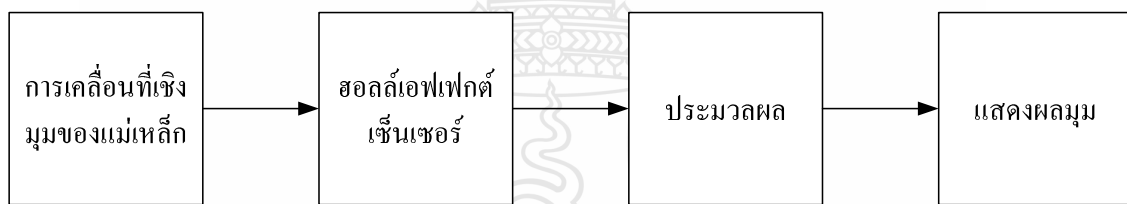
จากการศึกษาทฤษฎีและงานวิจัยที่เกี่ยวข้องดังที่ได้กล่าวมาข้างต้น ในการออกแบบ อุปกรณ์รับรู้ โดยใช้ชอลล์อฟเฟกต์เซนเซอร์ทำหน้าที่แปลงค่าการเคลื่อนที่เชิงมุมที่เป็นปริมาณทาง พลิกส์ให้เป็นสัญญาณแรงดันไฟฟ้า ต้องใช้ทฤษฎีทางการคำนวณหาปริมาณความเข้มของ สนามแม่เหล็กที่เปลี่ยนแปลงตามการเคลื่อนที่เชิงมุมกับทฤษฎีชอลล์อฟเฟกต์เซนเซอร์และทฤษฎี วงจรแปลงสัญญาโนนาลอกเป็นดิจิตอล เพื่อนำเอาสัญญาณแรงดันไฟฟ้าที่ได้จากชอลล์อฟเฟกต์ เซนเซอร์เปลี่ยนเป็นสัญญาณดิจิตอลก่อนส่งไปประมวลผล โดยอาศัยหลักทฤษฎีการประมาณค่า สุดท้ายเป็นการประเมินความสามารถการทำงานของอุปกรณ์หลังการออกแบบจากทฤษฎีคำนิยามที่ ใช้ในการวัดทางอุตสาหกรรม ซึ่งจะได้นำไปออกแบบและวิเคราะห์ผลในบทต่อไป



บทที่ 3

วิธีดำเนินการวิจัย

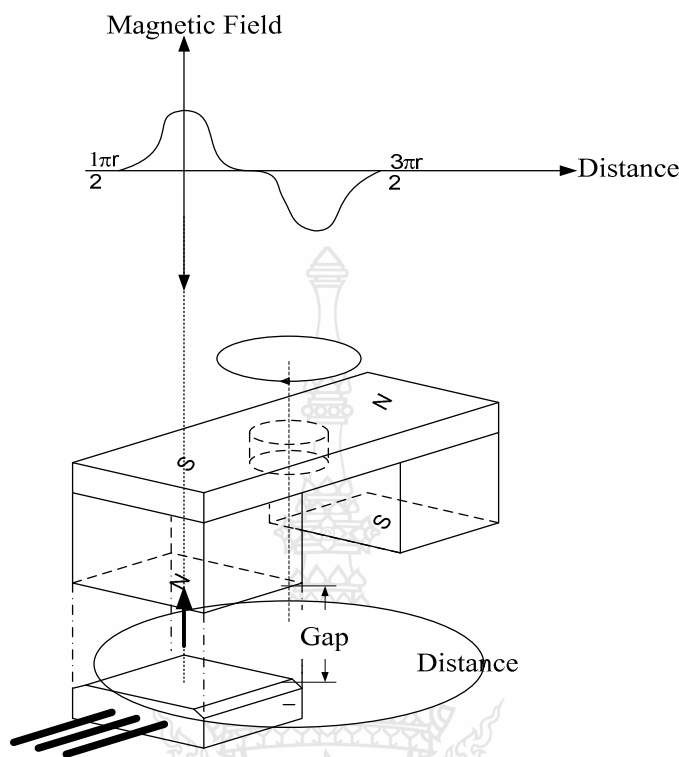
สำหรับบทนี้ จะกล่าวถึงการออกแบบทรานสดิวเซอร์วัตมูน โดยใช้ชอลล์อฟเฟกต์เช็นเชอร์ซึ่งมีส่วนประกอบหลัก 2 ส่วน ส่วนแรกคือทรานสดิวเซอร์วัตมูนแบบชอลล์อฟเฟกต์เช็นเชอร์จะใช้แม่เหล็กถาวร จำนวน 2 ก้อนยึดติดกับแกนหมุนเคลื่อนที่ผ่านชอลล์อฟเฟกต์เช็นเชอร์ เพื่อหาค่าความสัมพันธ์ของสัญญาณเอาต์พุต ต่อการเคลื่อนที่ผ่านแบบหมุนรอบแกนที่มุ่งการวัดต่าง ๆ ส่งสัญญาณเอาต์พุต ไปยังส่วนที่สองซึ่งจะนำสัญญาณอนามิกอกเอาต์พุตจากส่วนแรกมาแปลงเป็นสัญญาณดิจิตอล และประมวลผลมุ่งส่งผลมุ่งที่ประมวลผลแล้วไปแสดงยังจอแสดงผลแบบ แอลซีดี (Liquid crystal display; LCD)



ภาพที่ 3.1 บล็อกໄ/doะแกรมของทรานสดิวเซอร์วัตมูน

3.1 การออกแบบทรานสดิวเซอร์วัตมูน

ปัจจัยที่มีผลต่อการเปลี่ยนแปลงความเข้มของสนามแม่เหล็กตามการเคลื่อนที่ของแม่เหล็ก โครงสร้างดังภาพที่ 3.2 ได้แก่ปัจจัยการเปลี่ยนแปลงความเข้มของสนามแม่เหล็กตามพื้นที่ที่แม่เหล็กเคลื่อนที่ซ่อนชอลล์อฟเฟกต์เช็นเชอร์ตั้งแต่มุม 0 จนถึง 360 องศา ปัจจัยการเปลี่ยนแปลงความเข้มของสนามแม่เหล็กเกิดจากระยะห่างระหว่างแม่เหล็กกับชอลล์อฟเฟกต์เช็นเชอร์ และปัจจัยการเปลี่ยนแปลงความเข้มของสนามแม่เหล็กเกิดจากสนามแม่เหล็กไม่ตั้งฉากกับพื้นที่หรือตัวกับชอลล์อฟเฟกต์เช็นเชอร์ในการออกแบบจำเป็นจะต้องทราบค่าความเปลี่ยนแปลงทั้งหมดตามที่กล่าวมาเพื่อหาตำแหน่งที่เหมาะสมในการวางชอลล์อฟเฟกต์เช็นเชอร์ และตำแหน่งการเคลื่อนที่ของแม่เหล็กต่อไป

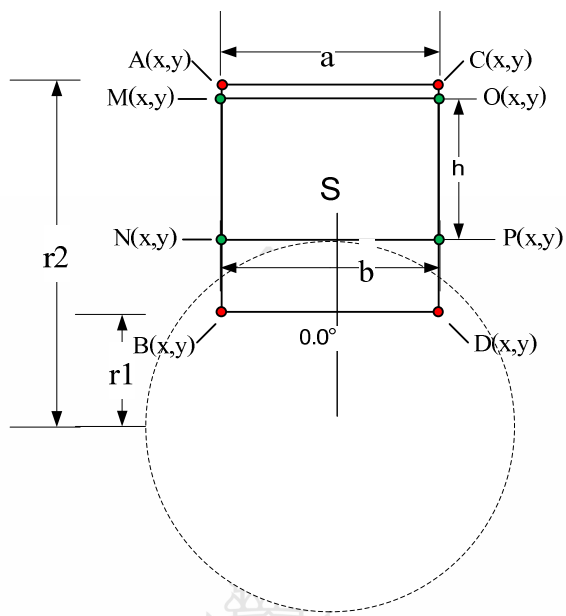


ภาพที่ 3.2 โครงสร้างเพื่อทดสอบการเคลื่อนที่แบบหมุนรอบแกน

3.1.1 ปัจจัยที่มีผลต่อความเข้มสนามแม่เหล็กจากการเคลื่อนที่แม่เหล็กตัดผ่านชอลล์อฟเฟกต์เซ็นเซอร์

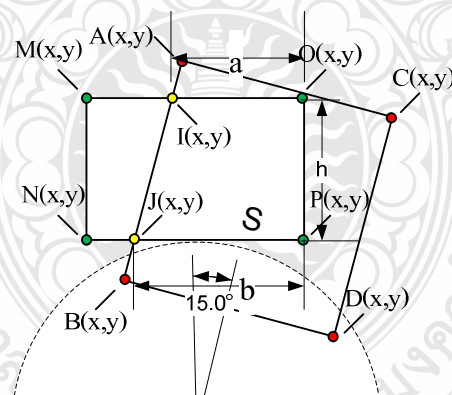
การนำแม่เหล็กที่มีแกนด้านหนึ่งขึ้นไปกับแกนหมุนเคลื่อนตัดผ่านชอลล์อฟเฟกต์เซ็นเซอร์แสดงดังภาพที่ 3.3 ถึง ภาพที่ 3.5 การเคลื่อนที่ของแม่เหล็กแบบสี่เหลี่ยมผ่านชอลล์อฟเฟกต์เซ็นเซอร์ที่อยู่กับที่ ทำให้เกิดการเปลี่ยนแปลงพื้นที่ทับซ้อนกันระหว่างแม่เหล็ก กับชอลล์อฟเฟกต์เซ็นเซอร์ซึ่งเป็นพื้นที่ในการรับค่าความเข้มสนามแม่เหล็กของชอลล์อฟเฟกต์เซ็นเซอร์เมื่อเกิดการเปลี่ยนแปลงพื้นที่รับค่าความเข้มสนามแม่เหล็ก ค่าความเข้มสนามแม่เหล็กที่ชอลล์อฟเฟกต์เซ็นเซอร์ตรวจจับได้ก็จะมีการเปลี่ยนแปลงแบบแพลตตัมตามไปด้วย ค่าความเข้มสนามแม่เหล็กที่ชอลล์อฟเฟกต์เซ็นเซอร์ตรวจจับได้จะมีค่ามากที่สุดเมื่อแม่เหล็กทำมุม 0 องศากับชอลล์อฟเฟกต์เซ็นเซอร์ดังภาพที่ 3.3 คิดเป็น ร้อยละ 100 ของพื้นที่รับค่าความเข้มสนามแม่เหล็ก และจะเปลี่ยนแปลงไปตามตำแหน่งที่แม่เหล็กเคลื่อนที่ไปตามมุมการเคลื่อนที่ ซึ่งสามารถหาตำแหน่งของแม่เหล็กเคลื่อนที่ได้จาก สมการที่

3.2-3.17



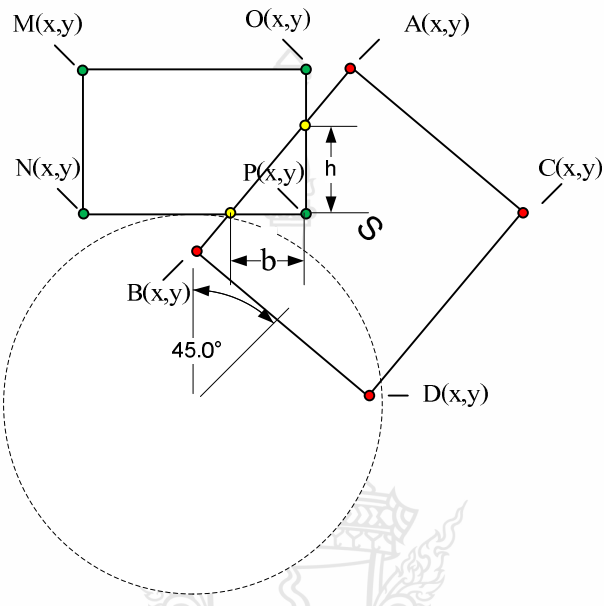
ภาพที่ 3.3 การเคลื่อนที่แบบหมุนรอบแกนเมื่อแม่เหล็กทำมุม 0 องศา

การเคลื่อนที่แบบหมุนรอบแกนเมื่อแม่เหล็กทำมุม 15 องศา กับชอล์โอฟเฟกต์เช่นเชอร์ดังภาพที่ 3.4 จะสังเกตเห็นว่าพื้นที่ที่ได้เป็นรูปสี่เหลี่ยมคงที่ ยังมุมเคลื่อนที่มากเท่าไรพื้นที่จากการคำนวณยังน้อยลง



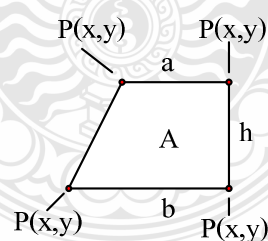
ภาพที่ 3.4 การเคลื่อนที่แบบหมุนรอบแกนเมื่อแม่เหล็กทำมุม 15 องศา

เมื่อแม่เหล็กทำมุน 45 องศา กับ ของเล่น เอฟเฟกต์ เช็นเชอร์ พื้นที่รับสนามแม่เหล็กจะน้อยลง
จนเป็นรูปสามเหลี่ยมตามลำดับดังภาพที่ 3.5



ภาพที่ 3.5 การเคลื่อนที่แบบหมุนรอบแกนเมื่อแม่เหล็กทำมุน 45 องศา

สามารถนำค่าการเปลี่ยนแปลงนี้มาทำการออกแบบฐานสติวเซอร์วัตมุน พื้นที่ช้อนกันระหว่างแม่เหล็ก และตัวเช็นเชอร์ สามารถหาได้จากสมการที่ 3.1



ภาพที่ 3.6 ลักษณะของสี่เหลี่ยมคงที่ที่มีความสูงเท่ากับ h

$$A = \frac{(a+b)}{2} \times h \quad (3.1)$$

- เมื่อ A คือ พื้นที่ซ้อนกันระหว่างแม่เหล็กกับชอลด์อฟเฟกต์เซ็นเซอร์
 a คือ ด้านแคบของเส้นคู่ขนาน
 b คือ ด้านกว้างของเส้นคู่ขนาน
 h คือ ความสูงของสีเหลี่ยมทางหมุน

ก่อนที่จะหาพื้นที่ซ้อนกันระหว่างแม่เหล็ก และตัวเซ็นเซอร์จำเป็นจะต้องทราบตำแหน่ง
 จุดตัด ซึ่งเกิดจากการเคลื่อนที่ของแม่เหล็กตามมุมต่างๆ ตามลำดับดังนี้
 หากตำแหน่งนั่นก็จะสามารถหาได้ดังสมการ 3.2-3.5

จุดตัดกลางบน $U_2(x, y)$

$$U_2(x) = r_2 \cos \theta \quad (3.2)$$

$$U_2(y) = r_2 \sin \theta \quad (3.3)$$

จุดตัดกลางล่าง $U_1(x, y)$

$$U_1(x) = r_1 \cos \theta \quad (3.4)$$

$$U_1(y) = r_1 \sin \theta \quad (3.5)$$

- เมื่อ U_2 คือ จุดกึ่งกลางของแม่เหล็กที่เคลื่อนที่ตามองศาการเคลื่อนที่ของแกนหมุนด้านบน
 U_1 คือ จุดกึ่งกลางของแม่เหล็กที่เคลื่อนที่ตามองศาการเคลื่อนที่ของแกนหมุนด้านล่าง
 r_2 คือ รัศมีของแกนหมุนด้านบน
 r_1 คือ รัศมีของแกนหมุนด้านล่าง

หากตำแหน่งของแม่เหล็กที่เคลื่อนที่ไปตามแนวแกนกลางของแม่เหล็กตามองศาการ
 เคลื่อนที่ของแกนหมุนซึ่งจะสามารถหาได้ดังสมการ 3.6-3.13

จุดตัดบนซ้าย $A(x, y)$

$$A(x) = U_2(x) + \left[\frac{w \cos(90 + \theta)}{2} \right] \quad (3.6)$$

$$A(y) = U_2(y) + \left[\frac{w \sin(90 + \theta)}{2} \right] \quad (3.7)$$

จุดตัดล่างซ้าย $B(x, y)$

$$B(x) = U_1(x) + \left[\frac{w \cos(90 + \theta)}{2} \right] \quad (3.8)$$

$$B(y) = U_1(y) + \left[\frac{w \sin(90 + \theta)}{2} \right] \quad (3.9)$$

จุดตัดบนขวา $C(x, y)$

$$C(x) = U_2(x) + \left[\frac{w \cos(270 + \theta)}{2} \right] \quad (3.10)$$

$$C(y) = U_2(y) + \left[\frac{w \sin(270 + \theta)}{2} \right] \quad (3.11)$$

จุดตัดล่างขวา $D(x, y)$

$$D(x) = U_1(x) + \left[\frac{w \cos(270 + \theta)}{2} \right] \quad (3.12)$$

$$D(y) = U_1(y) + \left[\frac{w \sin(270 + \theta)}{2} \right] \quad (3.13)$$

เมื่อ $A(x)$ คือ จุดตัดแกน x มุมด้านบนซ้ายของแม่เหล็กที่เคลื่อนที่ตามแกน

$A(y)$ คือ จุดตัดแกน y มุมด้านบนซ้ายของแม่เหล็กที่เคลื่อนที่ตามแกนหมุน

$B(x)$ คือ จุดตัดแกน x มุมด้านล่างซ้ายของแม่เหล็กที่เคลื่อนที่ตามแกนหมุน

$B(y)$ คือ จุดตัดแกน y มุมด้านล่างซ้ายของแม่เหล็กที่เคลื่อนที่ตามแกนหมุน

$C(x)$ คือ จุดตัดแกน x มุมด้านบนขวาของแม่เหล็กที่เคลื่อนที่ตามแกนหมุน

$C(y)$ คือ จุดตัดแกน y มุมด้านบนขวาของแม่เหล็กที่เคลื่อนที่ตามแกนหมุน

$D(x)$ คือ จุดตัดแกน x มุมด้านล่างขวาของแม่เหล็กที่เคลื่อนที่ตามแกนหมุน

$D(y)$ คือ จุดตัดแกน y มุมด้านล่างขวาของแม่เหล็กที่เคลื่อนที่ตามแกนหมุน

w คือ ความกว้างของอลล์อฟเฟกต์เซ็นเซอร์

หาตำแหน่งจุดตัดของแม่เหล็กที่เคลื่อนที่ไปตามแนวแกนกลางของแม่เหล็กตามของทำการเคลื่อนที่ของแกนหมุนกับเซ็นเซอร์ที่อยู่กับที่ซึ่งจะสามารถหาได้ดังสมการ 3.14-3.17

จุดตัดบนซ้าย $I(x, y)$

$$I(x) = A(x) - \left[\frac{(A(x) - B(x)) \times (A(y) - I(y))}{A(y) - B(y)} \right] \quad (3.14)$$

$$I(y) = A(y) - \left[\frac{(A(y) - B(y)) \times (A(x) - I(x))}{A(x) - B(x)} \right] \quad (3.15)$$

จุดตัดล่างซ้าย $J(x, y)$

$$J(x) = A(x) - \left[\frac{(A(x) - B(x)) \times (A(y) - J(y))}{A(y) - B(y)} \right] \quad (3.16)$$

$$J(y) = A(y) - \left[\frac{(A(y) - B(y)) \times (Ax - J(x))}{A(x) - B(x)} \right] \quad (3.17)$$

เมื่อ $I(x)$ คือจุดตัดแกน x มุมด้านบนซ้ายของแม่เหล็กที่เคลื่อนที่ตามแกน

$I(y)$ คือจุดตัดแกน y มุมด้านบนซ้ายของแม่เหล็กที่เคลื่อนที่ตามแกนหมุน

$J(x)$ คือจุดตัดแกน x มุมด้านล่างซ้ายของแม่เหล็กที่เคลื่อนที่ตามแกนหมุน

$J(y)$ คือจุดตัดแกน y มุมด้านล่างซ้ายของแม่เหล็กที่เคลื่อนที่ตามแกนหมุน

หากความกว้างด้านต่างๆ ก่อนหาราฟินที่ทับซ้อนกันระหว่างแม่เหล็กกับเซ็นเซอร์ตามของทำการเคลื่อนที่ของแกนหมุน

ด้าน a หายใจจาก

$$a = O(x) - I(x) \quad (3.18)$$

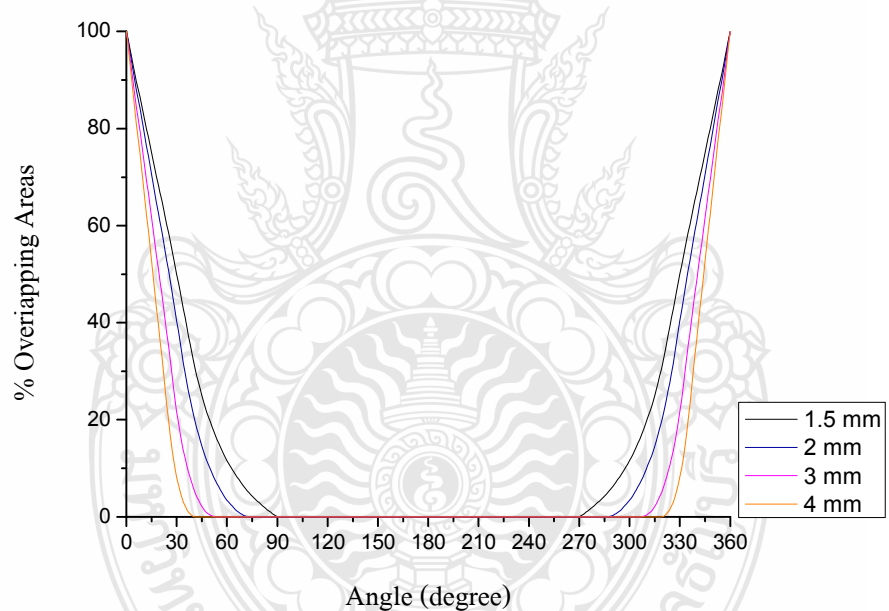
ด้าน b หายใจจาก

$$b = P(x) - J(x) \quad (3.19)$$

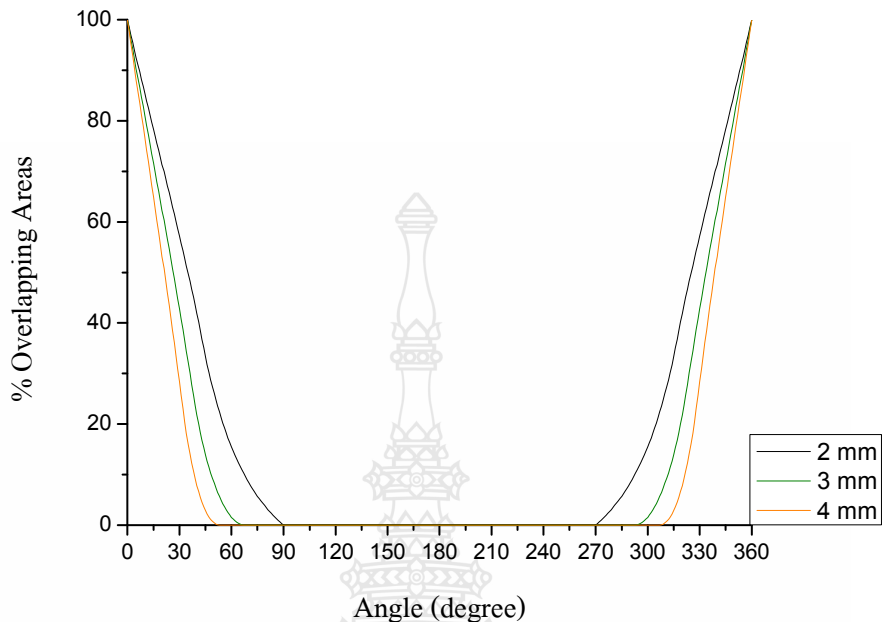
ค้าน h หาได้จาก

$$h = I(y) - P(y) \quad (3.20)$$

นำ a , b และ h แทนลงในสมการที่ 3.1 จะได้พื้นที่ในการรับความเข้มของสนามแม่เหล็กจากการคำนวณหาพื้นที่ซ้อนกันระหว่างแม่เหล็ก และตัว solenoid ที่ใช้ในการเคลื่อนที่แบบหมุนรอบแกน โดยการกำหนดขนาดของแม่เหล็ก ตำแหน่งที่วางเซ็นเซอร์ตามการเคลื่อนที่ แบบหมุนรอบแกน โดยการกำหนดขนาดของแม่เหล็ก ตำแหน่งที่วางเซ็นเซอร์ ในภาพที่ 3.5 เป็นกราฟแสดงพื้นที่ในการรับความเข้มสนามแม่เหล็กเมื่อใช้แม่เหล็กขนาดแม่เหล็ก 3×3 ตารางมิลลิเมตร ที่การวางตำแหน่งเซ็นเซอร์ห่างจากจุดศูนย์กลาง $1.5, 2, 3$ และ 4 มิลลิเมตรตามลำดับเซ็นเซอร์ส่วนในภาพที่ 3.6 เป็นกราฟแสดงพื้นที่ในการรับความเข้มสนามแม่เหล็ก ทำการเปลี่ยนขนาดแม่เหล็ก เป็นขนาด 4×5.5 ตารางมิลลิเมตร ที่การวางตำแหน่งเซ็นเซอร์ห่างจากจุดศูนย์กลาง $1.5, 2, 3$ และ 4 มิลลิเมตรตามลำดับ



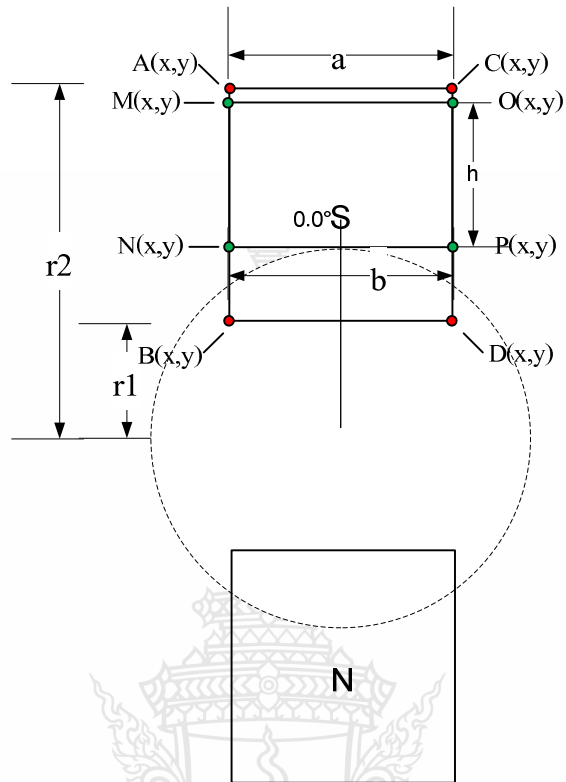
ภาพที่ 3.7 เปอร์เซ็นต์พื้นที่ซ้อนกันใช้แม่เหล็กขนาด 3×3 ตารางมิลลิเมตร



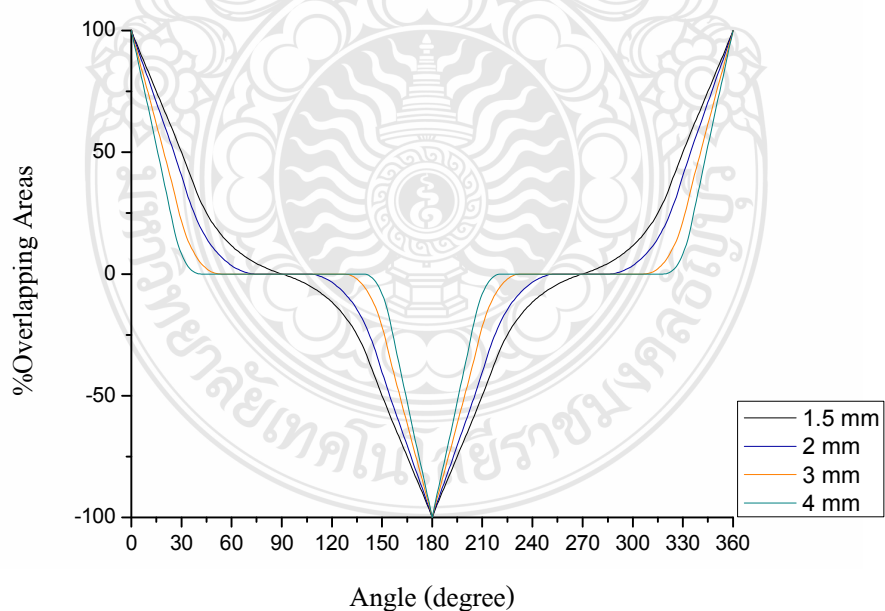
ภาพที่ 3.8 เปอร์เซ็นต์พื้นที่ซ้อนกันใช้แม่เหล็กขนาด 4×5.5 ตารางมิลลิเมตร

เมื่อทำการเพิ่มแม่เหล็กที่มีขนาดเท่ากันแต่ต่างข้ามเข้าไปอีกด้านหนึ่งของแกนแม่เหล็กเพื่อจะเพิ่มองค์การตรวจจับ ความเข้มสนามแม่เหล็ก ตามพื้นที่ซ้อนกันระหว่างแม่เหล็ก และตัวเซ็นเซอร์ เมื่อแม่เหล็กทำมุม 0 องศา กับ สอลด์อฟเฟกต์เซ็นเซอร์ดังภาพที่ 3.9

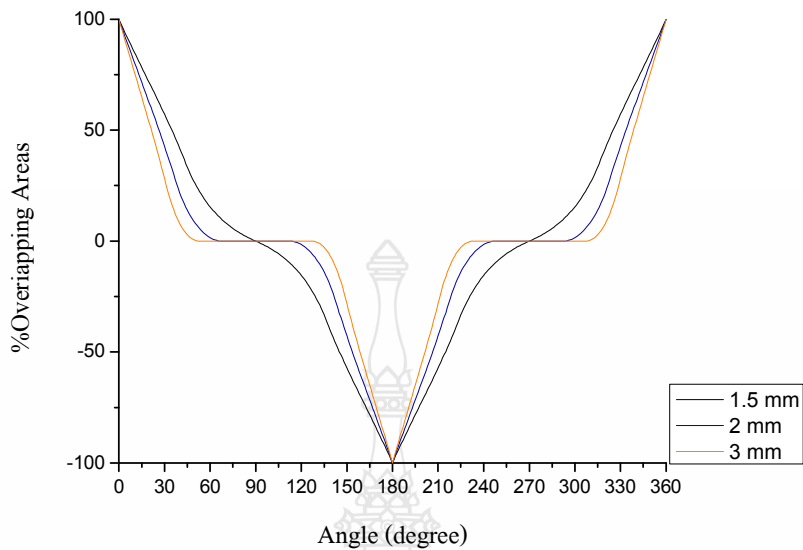
จากการคำนวณหาพื้นที่ซ้อนกันระหว่างแม่เหล็ก และตัวสอลด์อฟเฟกต์เซ็นเซอร์ เมื่อเพิ่มแม่เหล็กที่มีขนาดเท่ากันแต่ต่างข้ามเข้าไปอีกด้านหนึ่งของแกนแม่เหล็กหมุนตามการเคลื่อนที่แบบหมุนรอบแกน โดยการกำหนดขนาดของแม่เหล็ก ตำแหน่งที่วางเซ็นเซอร์ ในภาพที่ 3.10 เป็นกราฟแสดงพื้นที่ในการรับความเข้มสนามแม่เหล็กเมื่อใช้แม่เหล็กขนาด 3×3 ตารางมิลลิเมตร ที่การวางตำแหน่งเซ็นเซอร์ห่างจากจุดศูนย์กลาง $1.5, 2, 3$ และ 4 มิลลิเมตรตามลำดับเซ็นเซอร์ส่วนในภาพที่ 3.11 เป็นกราฟแสดงพื้นที่ในการรับความเข้มสนามแม่เหล็ก ทำการเปลี่ยนขนาดแม่เหล็ก เป็นขนาด 4×5.5 ตารางมิลลิเมตร ที่การวางตำแหน่งเซ็นเซอร์ห่างจากจุดศูนย์กลาง $1.5, 2, 3$ และ 4 มิลลิเมตรตามลำดับ



ภาพที่ 3.9 การเคลื่อนที่แบบหมุนรอบแกนแม่เหล็กขั้วคู่ทำมุม 0 องศา



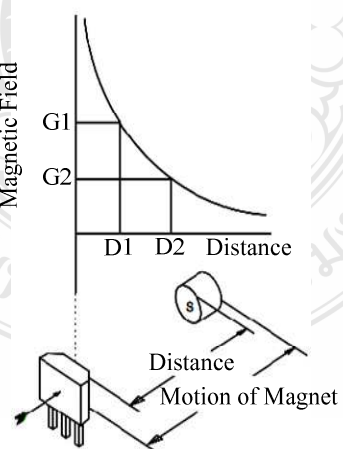
ภาพที่ 3.10 เปอร์เซ็นต์พื้นที่ซ้อนกันใช้แม่เหล็ก 2 ตัว ขนาด 3x3 ตารางมิลลิเมตร



ภาพที่ 3.11 เปอร์เซ็นต์พื้นที่ซ้อนกันใช้แม่เหล็ก 2 ตัว ขนาด 4x5.5 ตารางมิลลิเมตร

3.1.2 ปัจจัยต่อความเข้มของสนามแม่เหล็กที่เกิดจากระยะห่างระหว่างชอลด์อฟเฟกต์เช็นเชอร์ กับแม่เหล็ก [19]

ปัจจัยนี้สามารถอธิบายได้จาก วิธีการตรวจขั้นความเข้มของสนามแม่เหล็กแบบยูนิโพลาร์ เสคตอน โดยการนำเอาข้าวได้ (S) ของแม่เหล็กการหันเข้าหาด้านหน้าของชอลด์อฟเฟกต์เช็นเชอร์ ตามทฤษฎีแรงดันเอาต์พุตที่ได้จะมีค่าที่แปรผันกับระยะความห่างระหว่างข้าวได้ของแม่เหล็กถาวร กับชอลด์อฟเฟกต์เช็นเชอร์

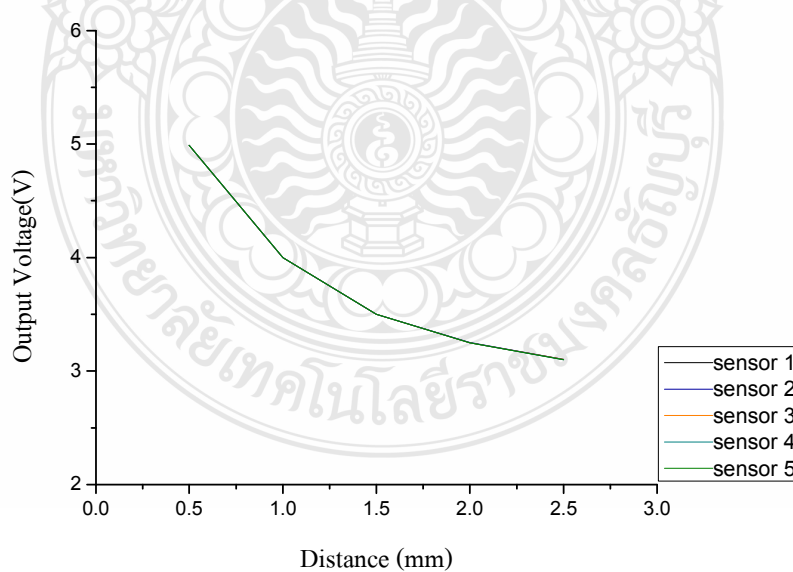


ภาพที่ 3.12 การตรวจจับความเข้มของสนามแม่เหล็กแบบ ยูนิโพลาร์เสคตอน

ผลการทดสอบหาความสัมพันธ์ของความเข้มของสนามแม่เหล็กกับระยะห่างระหว่างแม่เหล็กกับชอลล์อฟเฟกต์เซ็นเซอร์เป็นไปดังตารางที่ 3.1 ในการทดสอบใช้วิธีการตรวจจับความเข้มของสนาม แม่เหล็กแบบยูนิโพลาร์ เสคตอน สำหรับหาระยะห่างที่เหมาะสมตั้งแต่ระยะความห่างระหว่างขั้วได้ของแม่เหล็กถูกกำหนดให้เท่ากับชอลล์อฟเฟกต์เซ็นเซอร์ที่ 0.5 มิลลิเมตร จากนั้นทำการเพิ่มระยะความห่างขึ้นทีละ 0.5 มิลลิเมตรตั้งแต่ 1 จนถึง 2.5 มิลลิเมตร ทำการทดสอบซ้ำเช่นนี้เป็นจำนวน 5 ครั้งต่อตัวพร้อมกับบันทึกแรงดันเอาต์พุตของชอลล์อฟเฟกต์เซ็นเซอร์ที่เปลี่ยนแปลงตามระยะความห่างต่างๆ อุปกรณ์ที่ใช้ในการทดสอบมีแหล่งจ่ายไฟฟ้ากระแสตรงขนาด 5 Vdc จ่ายให้กับชอลล์อฟเฟกต์เซ็นเซอร์ เบอร์ที่ใช้คือ 1A1302 ซึ่งมีคุณสมบัติเฉพาะตัวของค่าสัมประสิทธิ์ความไวเท่ากับ 1.3 mV/G

ตารางที่ 3.1 แรงดันเอาต์พุตกับระยะห่างระหว่างแม่เหล็กขั้วได้กับชอลล์อฟเฟกต์เซ็นเซอร์

ระยะ (mm)	เอาต์พุต ตัวที่ 1 (V)	เอาต์พุต ตัวที่ 2 (V)	เอาต์พุต ตัวที่ 3 (V)	เอาต์พุต ตัวที่ 4 (V)	เอาต์พุต ตัวที่ 5 (V)
0.5	4.99	4.991	4.991	4.99	4.991
1	4.001	4	4.002	4.001	4
1.5	3.502	3.501	3.501	3.500	3.499
2	3.251	3.253	3.251	3.250	3.248
2.5	3.101	3.102	3.101	3.100	3.098

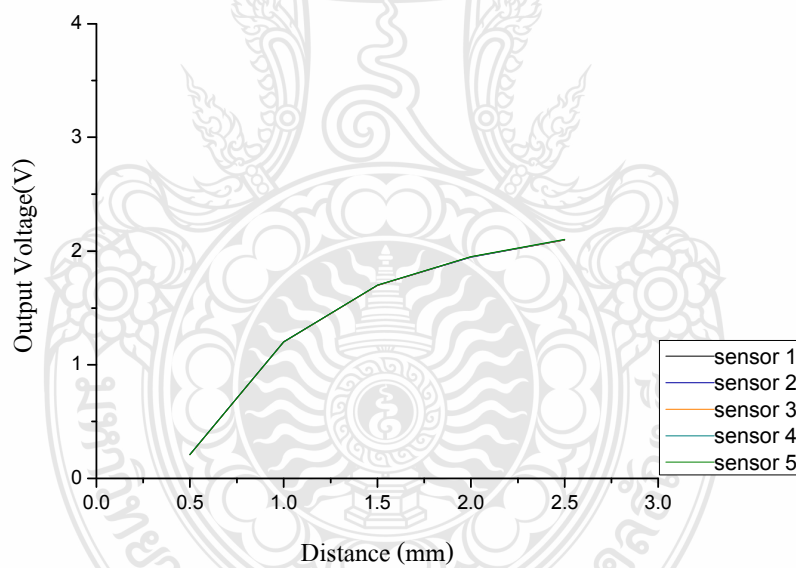


ภาพที่ 3.13 แรงดันเอาต์พุตกับระยะห่างระหว่างแม่เหล็กขั้วได้กับชอลล์อฟเฟกต์เซ็นเซอร์

ทำการเปลี่ยนข้าวแม่เหล็กเป็นข้าวเหนือแล้วทดสอบช้าแบบเดิมของผลปรากฏว่าแม่เหล็กดาวรักกับชอลล์อฟเฟกต์เช็นเซอร์ยังห่างออกไปจะทำให้แรงดันเอาต์พุตที่ได้จากกับชอลล์อฟเฟกต์เช็นเซอร์มีค่ามากขึ้น ดังตารางที่ 3.2

ตารางที่ 3.2 แรงดันเอาต์พุตกับระยะห่างระหว่างแม่เหล็กข้าวเหนือกับชอลล์อฟเฟกต์เช็นเซอร์

ระยะ (mm)	เอาต์พุต ตัวที่ 1 (V)	เอาต์พุต ตัวที่ 2 (V)	เอาต์พุต ตัวที่ 3 (V)	เอาต์พุต ตัวที่ 4 (V)	เอาต์พุต ตัวที่ 5 (V)
0.5	0.21	0.209	0.209	0.21	0.209
1	1.199	1.2	1.198	1.199	1.2
1.5	1.698	1.699	1.699	1.7	1.701
2	1.949	1.947	1.949	1.95	1.952
2.5	2.099	2.098	2.099	2.1	2.102



ภาพที่ 3.14 แรงดันเอาต์พุตกับระยะห่างระหว่างแม่เหล็กข้าวเหนือกับชอลล์อฟเฟกต์เช็นเซอร์

การคำนวณหาความเข้มของสนามแม่เหล็กนั้น สามารถหาได้จากการที่ 3.20

$$B = \frac{V_{out(B)} - V_{out(O)}}{S} \quad (3.20)$$

เมื่อ	B	คือความเข้มของสนามแม่เหล็ก
	$V_{out(B)}$	คือแรงดันเอาต์พุตขณะมีสนามแม่เหล็ก
	$V_{out(O)}$	คือแรงดันเอาต์พุตขณะไม่มีสนามแม่เหล็ก
	S	ค่าสัมประสิทธิ์ความไวของชอลล์อฟเฟกต์เซ็นเซอร์

ตัวอย่างการคำนวณความเข้มของสนามแม่เหล็กที่ระยะห่างระหว่างขั้วได้ของแม่เหล็กถาวร กับชอลล์อฟเฟกต์เซ็นเซอร์เท่ากับ 0.5 มิลลิเมตร มีแรงดันเอาต์พุตเท่ากับ 4.99 V_{dc} แรงดันเอาต์พุตขณะไม่มีสนามแม่เหล็กเท่ากับ 2.525 V_{dc} และค่าสัมประสิทธิ์ความไวของชอลล์อฟเฟกต์เซ็นเซอร์เท่ากับ 1.3 mV/G แทนค่าที่ได้ลงในสมการข้างต้นจะได้ว่า

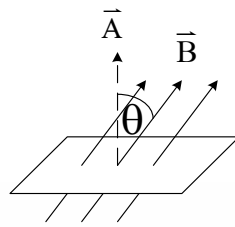
$$B = \frac{4.99V_{dc} - 2.660V_{dc}}{1.3mV/G} = 1896.15G$$

ดังนั้นความเข้มของสนามแม่เหล็กที่ระยะความห่าง 0.5 มิลลิเมตร ระหว่างขั้วได้ของแม่เหล็กถาวร กับชอลล์อฟเฟกต์เซ็นเซอร์ มีค่าเท่ากับ 1896.15 G

3.1.3 ปัจจัยที่มีผลต่อความเข้มของสนามแม่เหล็กที่เกิดจากสนามแม่เหล็กไม่ตั้งฉากกับพื้นที่ทำให้ทิศสนามแม่เหล็กกับทิศของเวกเตอร์หนึ่งหน่วยพื้นที่ที่ทำมุม θ ต่อกันดังภาพที่ 3.15 การหาสนามแม่เหล็กจากความสัมพันธ์ระหว่างสนามแม่เหล็กและความเข้มสนามแม่เหล็กดังสมการ 2.2

$$\varphi = \vec{B} \cdot \vec{A} = AB \cos \theta \quad (3.21)$$

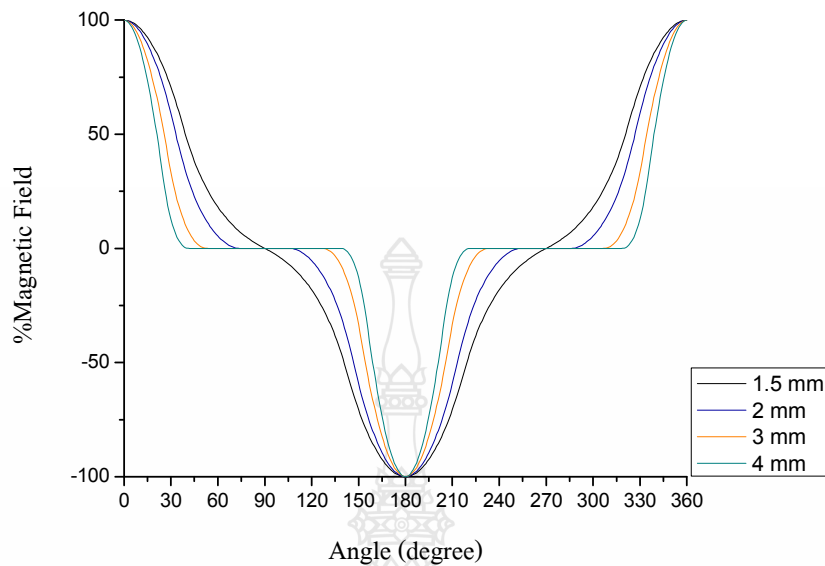
เมื่อ	B	คือขนาดของสนามแม่เหล็ก มีหน่วยเกาช์ต่อตารางเมตร (G/m^2)
	φ	คือสนามแม่เหล็กที่ผ่านพื้นที่ มีหน่วยเกาช์ (G)
	A	คือพื้นที่ตั้งฉากกับสนามแม่เหล็ก มีหน่วยตารางเมตร (m^2)



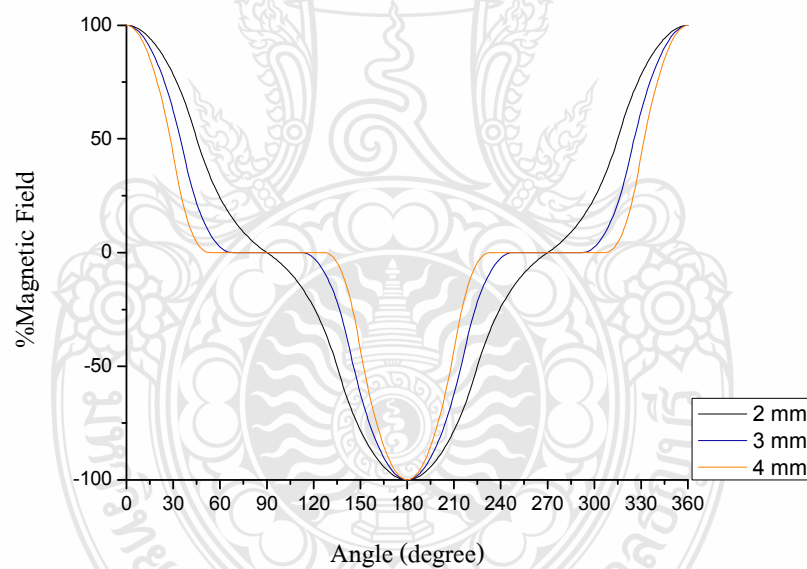
ภาพที่ 3.15 ความเข้มของสนามแม่เหล็กที่เกิดจากสนามแม่เหล็กไม่ตั้งฉากกับพื้นที่

เมื่อแม่เหล็กเคลื่อนที่จุดกึ่งกลางของแม่เหล็ก และจุดกึ่งกลางของหอดล์อฟเฟกต์เซ็นเซอร์ จะเคลื่อนที่ออกห่างกันก่อให้เกิดสนามแม่เหล็กไม่ตั้งฉากกับพื้นที่ เป็นผลทำให้ทิศสนามแม่เหล็กกับทิศของแกนเตอร์หนึ่งหน่วยพื้นที่ทำงานมุ่งต่อ กัน θ

เมื่อให้สนามแม่เหล็กดังสมการที่ 3.21 เป็นแหล่งกำเนิด ความเข้มสนามแม่เหล็ก และมีพื้นที่ในการรับแรงเปลี่ยนไปตามปัจจัยที่มีผลต่อความเข้มของสนามแม่เหล็กที่เกิดจากแม่เหล็กเคลื่อนที่ตัดผ่านหอดล์อฟเฟกต์เซ็นเซอร์จะได้ ความเข้มสนามแม่เหล็กที่หอดล์อฟเฟกต์เซ็นเซอร์ตรวจจับได้จากการคำนวณหาพื้นที่ซ้อนกันระหว่างแม่เหล็ก และตัวหอดล์อฟเฟกต์เซ็นเซอร์ในภาพที่ 3.16 เป็นกราฟแสดงความเข้มสนามแม่เหล็กที่หอดล์อฟเฟกต์เซ็นเซอร์ตรวจจับได้จากการคำนวณหาพื้นที่ซ้อนกันระหว่างแม่เหล็ก และตัวหอดล์อฟเฟกต์เซ็นเซอร์เมื่อใช้แม่เหล็กขนาดแม่เหล็ก 3×3 ตารางมิลลิเมตร ที่การวางตำแหน่งเซ็นเซอร์ห่างจากจุดศูนย์กลาง $1.5, 2, 3$ และ 4 มิลลิเมตรตามลำดับ เช็นเซอร์ส่วนในภาพที่ 3.17 เป็นกราฟแสดงความเข้มสนามแม่เหล็กที่หอดล์อฟเฟกต์เซ็นเซอร์ตรวจจับได้จากการคำนวณหาพื้นที่ซ้อนกันระหว่างแม่เหล็ก และตัวหอดล์อฟเฟกต์เซ็นเซอร์ทำการเปลี่ยนขนาดแม่เหล็กเป็นขนาด 4×5.5 ตารางมิลลิเมตร ที่การวางตำแหน่งเซ็นเซอร์ห่างจากจุดศูนย์กลาง $1.5, 2, 3$ มิลลิเมตรและ 4 มิลลิเมตรตามลำดับ

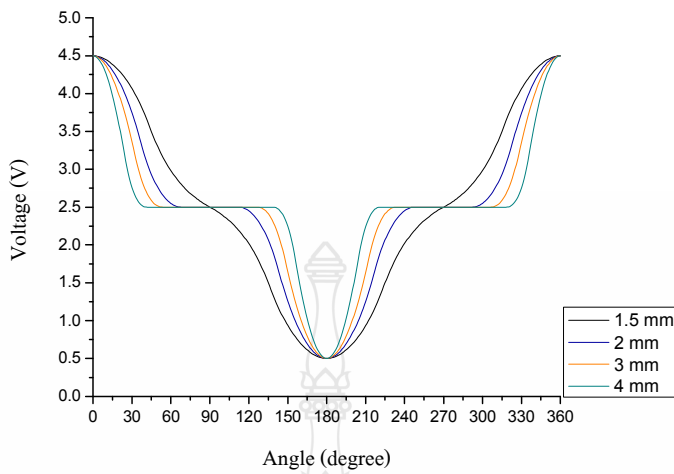


ภาพที่ 3.16 ความเข้มสนามแม่เหล็ก ใช้แม่เหล็กขนาด 3×3 ตารางมิลลิเมตร

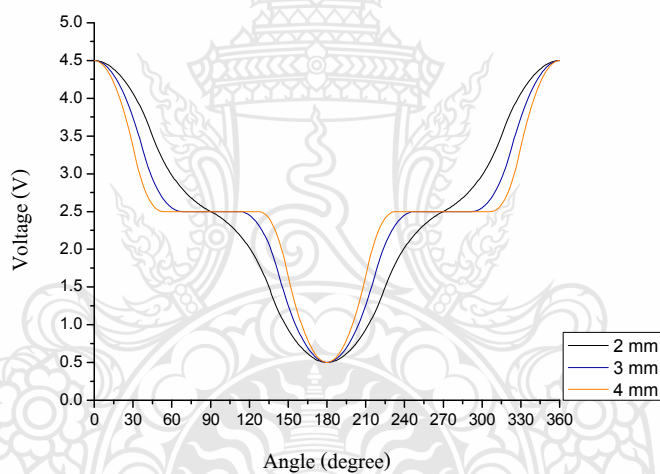


ภาพที่ 3.17 ความเข้มสนามแม่เหล็ก ใช้แม่เหล็กขนาด 4×5.5 ตารางมิลลิเมตร

หากคิดค่าการเปลี่ยนแปลงแรงดันเอาต์พุตสูงสุดที่ 2V และแรงดันเอาต์พุตขณะไม่มีสนามแม่เหล็กเท่ากับ 2.5V จะได้กราฟแรงดันเอาต์พุตที่เอาต์พุตชอลล์อฟเฟกต์เช็นเซอร์จากการคำนวณหาพื้นที่ซ้อนกันระหว่างแม่เหล็กและตัวชอลล์อฟเฟกต์เช็นเซอร์ในภาพที่ 3.18 และ 3.19



ภาพที่ 3.18 แรงดันเอาต์พุต ใช้แม่เหล็กขนาด 3×3 ตารางมิลลิเมตร



ภาพที่ 3.19 แรงดันเอาต์พุต ใช้แม่เหล็กขนาด 4×5.5 ตารางมิลลิเมตร

3.1.4 วิเคราะห์ผลและออกแบบ โครงสร้าง

จากภาพที่ 3.18 และ ภาพที่ 3.19 ความเข้มสนามแม่เหล็กที่อลล์อฟเฟกต์เซ็นเซอร์ตรวจจับได้จะเห็นว่าถ้าเราใช้อลล์อฟเฟกต์เซ็นเซอร์ตัวเดียวจะสามารถตัดค่ามุม ได้กว้างที่สุดคือ $0-180$ องศาที่ครึ่งหนึ่งของขนาดความกว้างแม่เหล็กเท่ากับรัศมีในการวางแผนอลล์อฟเฟกต์เซ็นเซอร์และจะลดลงตามลำดับเมื่อ รัศมีในการวางแผนอลล์อฟเฟกต์เซ็นเซอร์เพิ่มขึ้น และจะเกิดบริเวณที่การเคลื่อนที่ของแม่เหล็กแบบสี่เหลี่ยมผ่านอลล์อฟเฟกต์เซ็นเซอร์ที่อยู่กับที่ไม่ทับซ้อนกันและบริเวณนี้จะกว้างมากขึ้น แบบเปลี่ยนตามการวางแผนตำแหน่งของอลล์อฟเฟกต์เซ็นเซอร์ซึ่งแสดงได้ดังตารางที่ 3.3

ตารางที่ 3.3 ช่วงมุมที่แม่เหล็กกับหอลล์อฟเฟกต์เซ็นเซอร์ไม่ทับซ้อนกัน

ขนาดแม่เหล็ก (mm ²)	รัศมีการวางเซ็นเซอร์ (mm)	แม่เหล็กข้าวได้ (องศา)	แม่เหล็กขวางหนึ่ง (องศา)	ช่วงไม่ซ้อนกัน (องศา)
3x3	1.5	90 - 90	270 - 270	0
3x3	2	74 - 106	254 - 286	32
3x3	3	54 - 126	234 - 306	72
3x3	4	42 - 138	222 - 318	96
4x5.5	2	90 - 90	180-180	0
4x5.5	3	68 - 112	248 - 292	44
4x5.5	4	54 - 126	234 - 306	72

และความเข้มสนามแม่เหล็กที่หอลล์อฟเฟกต์เซ็นเซอร์ตรวจจับได้ ณ มุม 0 และ 180 องศา ไม่สามารถนำมาหาค่ามุมได้เนื่องจากการเปลี่ยนแปลงค่าสนามแม่เหล็กน้อยมากดังแสดงในตารางที่ 3.4

ตารางที่ 3.4 การเปลี่ยนแปลงสนามแม่เหล็กที่ตรวจจับได้น้อยเมื่อเทียบกับมุมเกลื่อนที่

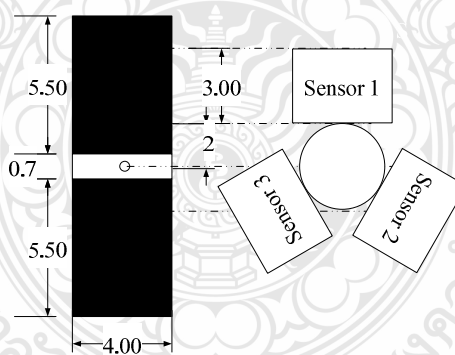
มุม (องศา)	รัศมี 2 mm %สนามแม่เหล็ก	สนามแม่เหล็ก เปลี่ยน %/องศา	รัศมี 3 mm %สนามแม่เหล็ก	สนามแม่เหล็ก เปลี่ยน %/องศา
358	99.887	0.085	99.813	0.140
359	99.972	0.028	99.953	0.047
360	100	0.028	100	0.047
1	99.972	0.028	99.953	0.047
2	99.887	0.085	99.813	0.140
178	-99.887	0.085	-99.813	0.140
179	-99.972	0.028	-99.953	0.047
180	-100	0.028	-100	0.047
181	-99.972	0.028	-99.953	0.047
182	-99.887	0.085	-99.813	0.140

ตารางที่ 3.5 การเปลี่ยนแปลงแรงดันเอาต์พุตที่น้อยเมื่อเทียบกับมุนที่แม่เหล็กเคลื่อนที่

มุน (องศา)	รัศมี 2 mm แรงดันเอาต์พุต (V)	ผลต่างแรงดัน (V)/องศา	รัศมี 3 mm แรงดันเอาต์พุต (V)	ผลต่างแรงดัน (V)/องศา
358	4.498	0.001	4.496	0.003
359	4.499	0.001	4.499	0.001
360	4.5	0.001	4.5	0.001
1	4.499	0.001	4.499	0.001
2	4.498	0.001	4.496	0.003
178	0.502	0.001	0.504	0.003
179	0.501	0.001	0.501	0.001
180	0.5	0.001	0.5	0.001
181	0.501	0.001	0.501	0.001
182	0.502	0.001	0.504	0.003

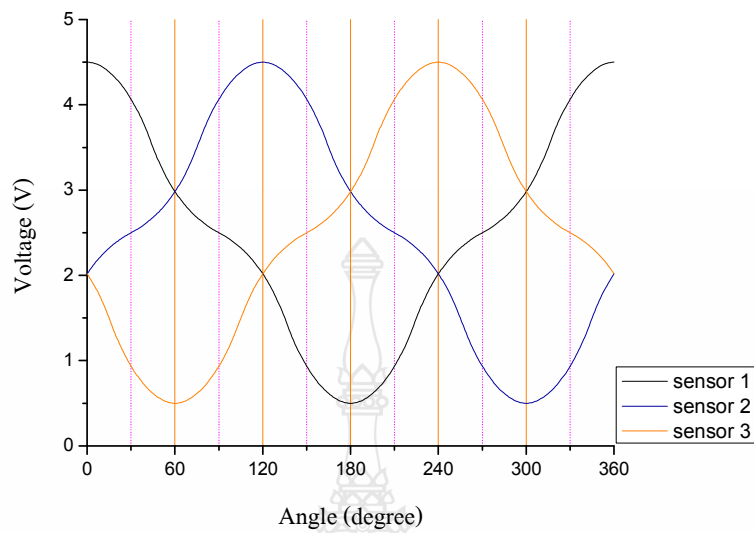
3.1.5 ออกแบบโครงสร้าง

จากการวิเคราะห์ข้อมูลนำมาทดสอบโครงสร้าง 4 แบบ

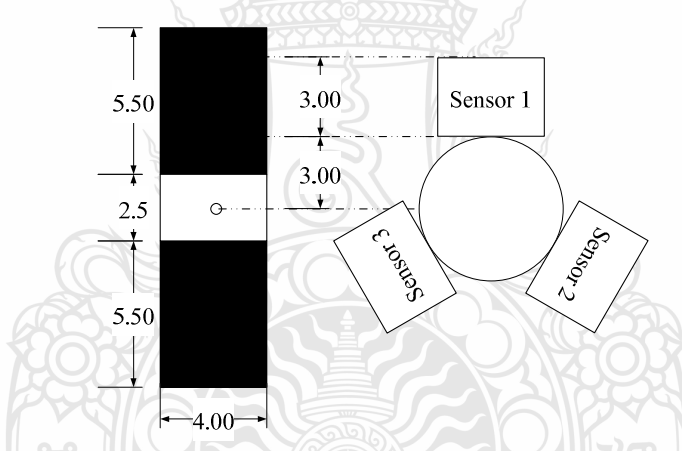


ภาพที่ 3.20 โครงสร้างรัศมี 2 มิลลิเมตรใช้เซ็นเซอร์ 3 ตัว

จากภาพที่ 3.20 โครงสร้างรัศมี 2 มิลลิเมตรนำสอดล็อกเก็ตเซ็นเซอร์ 3 ตัวมาวางโดยตัวที่ 1 จะเริ่มที่มุน 0 องศาตัวที่ 2 จะเริ่มที่มุน 120 องศาและ ตัวที่ 3 จะเริ่มที่มุน 240 องศาจะได้กราฟความสัมพันธ์ระหว่าง มุนหน่วยเป็นองศา ต่อ แรงดันเอาต์พุต ณ มุมต่างๆ ดังภาพที่ 3.21

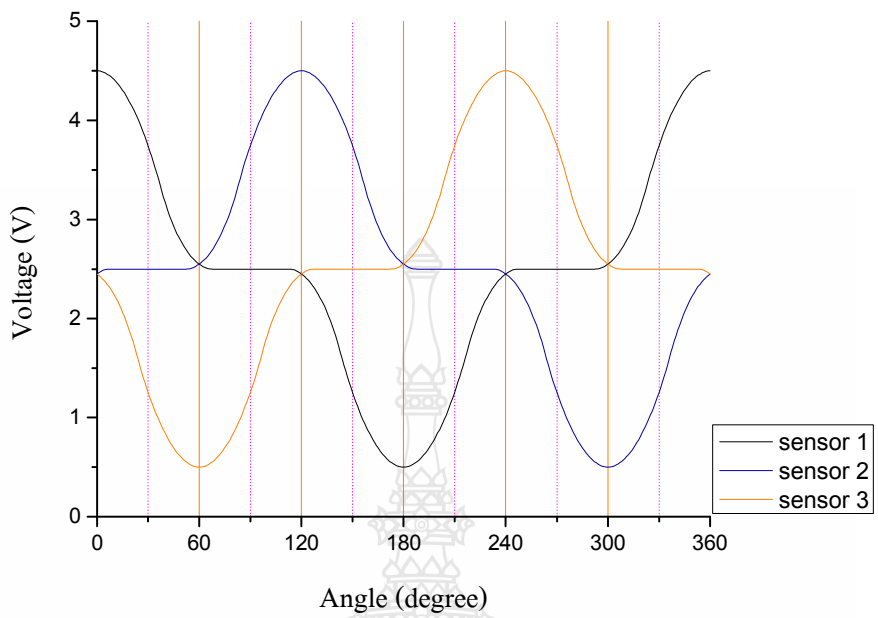


ภาพที่ 3.21 มุกกับแรงดันเอาต์พุตที่วัดได้ ที่รัศมี 2 มิลลิเมตรใช้ เซ็นเซอร์ 3 ตัว

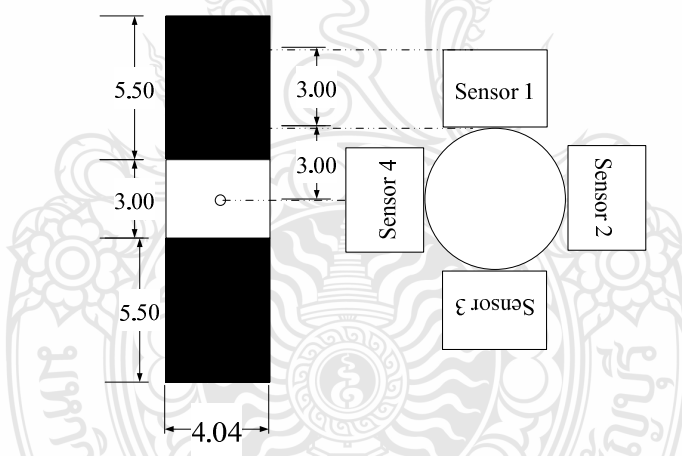


ภาพที่ 3.22 โครงสร้างรัศมี 3 มิลลิเมตร ใช้ เซ็นเซอร์ 3 ตัว

จากภาพที่ 3.22 โครงสร้างรัศมี 3 มิลลิเมตรนำของล็อฟเฟกต์เซ็นเซอร์ 3 ตัวมาวางโดยตัวที่ 1 จะเริ่มที่มุม 0 องศาตัวที่ 2 จะเริ่มที่มุม 120 องศาและ ตัวที่ 3 จะเริ่มที่มุม 240 องศาจะได้กราฟความสัมพันธ์ระหว่าง มุมหน่วยเป็นองศาต่อแรงดันเอาต์พุต ณ มุมต่างๆ ดังภาพที่ 3.23

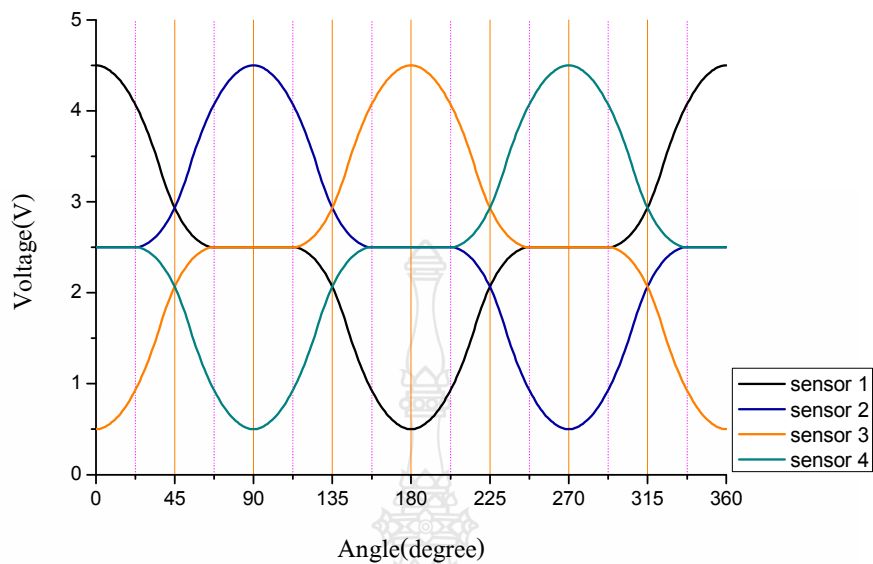


ภาพที่ 3.23 มุมกับแรงดันเอาต์พุตที่วัดได้ที่รัศมี 3 มิลลิเมตร ใช้เซ็นเซอร์ 3 ตัว

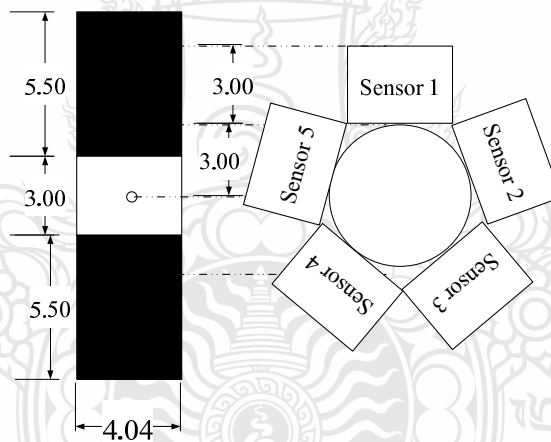


ภาพที่ 3.24 โครงสร้างรัศมี 3 มิลลิเมตร ใช้เซ็นเซอร์ 4 ตัว

จากภาพที่ 3.24 โครงสร้างรัศมี 3 มิลลิเมตร นำອอลล์อฟเฟกต์เซ็นเซอร์ 4 ตัวมาวางโดยตัวที่ 1 จะเริ่มที่มุม 0 องศาตัวที่ 2 จะเริ่มที่มุม 90 องศาและ ตัวที่ 3 จะเริ่มที่มุม 180 องศาตัวที่ 4 จะเริ่มที่มุม 270 องศาจะได้กราฟความสัมพันธ์ระหว่างมุมหน่วยเป็นองศาต่อแรงดันเอาต์พุต ณ มุมต่างๆ ดังภาพที่ 3.25

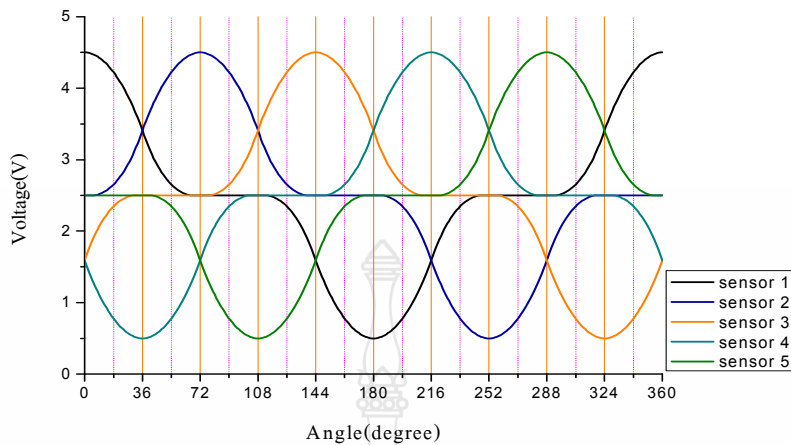


ภาพที่ 3.25 มุมกับแรงดันเอาต์พุตที่วัดได้ที่รัศมี 3 มิลลิเมตร ใช้เซ็นเซอร์ 4 ตัว



ภาพที่ 3.26 โครงสร้างรัศมี 3 มิลลิเมตร ใช้เซ็นเซอร์ 5 ตัว

ภาพที่ 3.26 โครงสร้างรัศมี 3 มิลลิเมตรนำเข้าอลูฟเฟกต์เซ็นเซอร์ 5 ตัวมาวางโดยตัวที่ 1 จะเริ่มที่มุม 0 องศา ตัวที่ 2 จะเริ่มที่มุม 72 องศา และตัวที่ 3 จะเริ่มที่มุม 144 องศา ตัวที่ 4 จะเริ่มที่มุม 216 องศา ตัวที่ 5 จะเริ่มที่มุม 288 องศา จะได้กราฟความสัมพันธ์ระหว่าง มุมหน่วยเป็นองศาต่อ แรงดันเอาต์พุต ณ มุมต่างๆ ดังภาพที่ 3.27



ภาพที่ 3.27 มุมกับแรงดันเอาต์พุตที่วัดได้ที่รัศมี 3 มิลลิเมตร ใช้เซ็นเซอร์ 5 ตัว

3.2 การออกแบบ โปรแกรมแปลงสัญญาณและแสดงผล

จากการทดสอบการวางแผนโครงสร้างเซ็นเซอร์จะเห็นจากกราฟความสัมพันธ์ระหว่างมุมต่อแรงดันเอาต์พุต ณ มุมต่างๆ ที่โครงสร้างใช้เซ็นเซอร์ 4 ตัว มีค่าแรงดันเอาต์พุตที่มีรูปแบบเหมือนกัน จำเป็นจะต้องใช้ความสัมพันธ์ระหว่าง มุมแม่เหล็กกับออลล์อฟเฟกต์เซ็นเซอร์และแรงดันเอาต์พุต เอาต์พุตที่เปลี่ยนไปออลล์อฟเฟกต์เซ็นเซอร์ที่สามารถแปลงผลค่ามุมได้อย่างมีประสิทธิภาพ ให้มีความละเอียดต่ำ

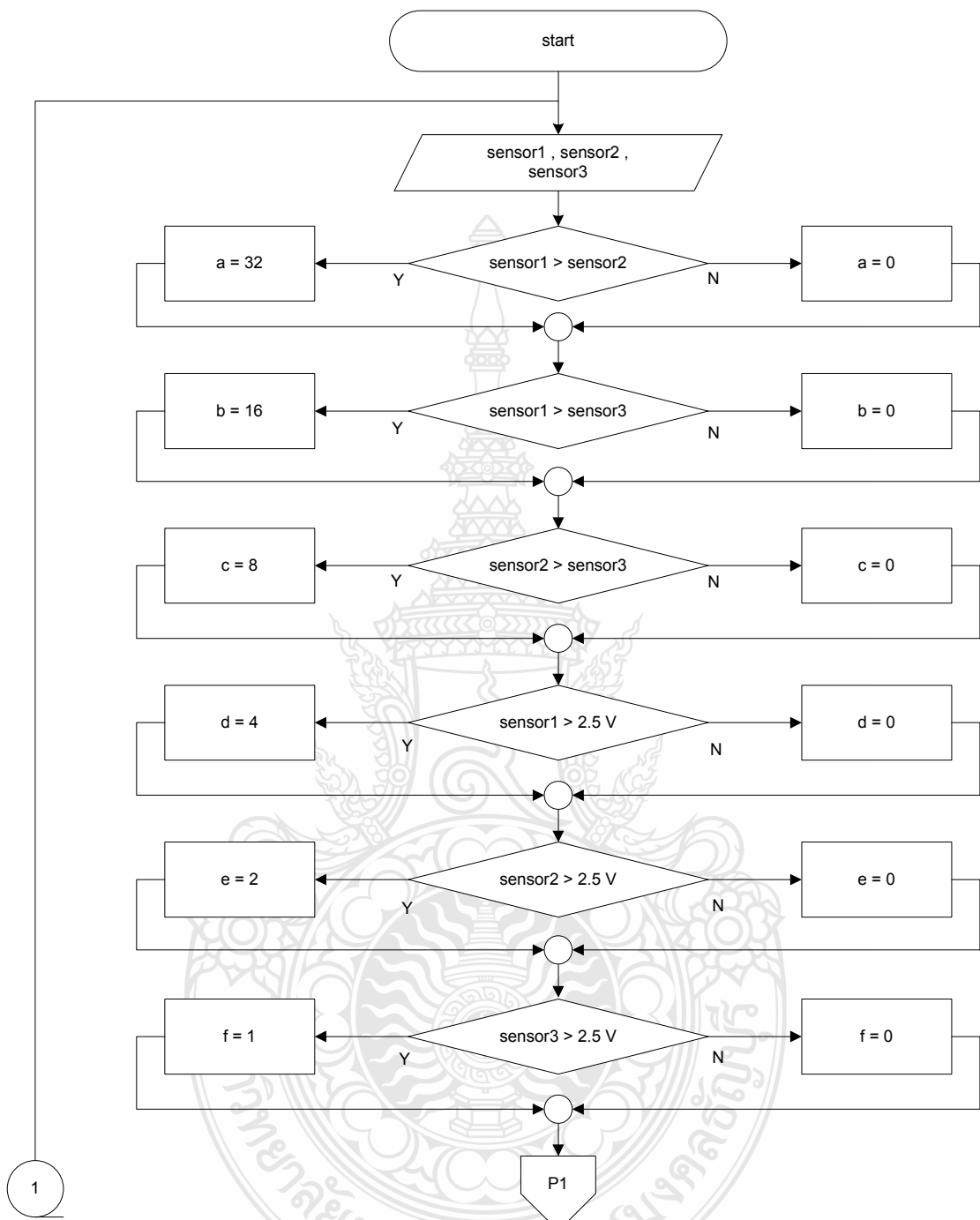
ส่วน โครงสร้างใช้เซ็นเซอร์ 3 ตัว และ 5 ตัว จะมีความสัมพันธ์ระหว่างมุมต่อแรงดันเอาต์พุต ณ มุมต่างๆ ซึ่งสามารถนำค่าแรงดันเอาต์พุต ณ มุม ต่างๆ ของเซ็นเซอร์แต่ละตัวมาทำการหาค่ามุม ณ มุมต่างๆ โดยวิธีการแบ่งช่วงมุมและเลือกค่าแรงดันเอาต์พุตแปลงผลดังตารางที่ 3.6 และตารางที่ 3.7 ตามลำดับ

จากตารางที่ 3.6 สามารถเขียนไฟล์charter แสดงการเปรียบเทียบค่าแรงดันเอาต์พุตของเซ็นเซอร์แต่ละตัวในช่วงมุม ทั้ง 12 ช่วง และการเลือกแรงดันเอาต์พุตแปลงผล จากเซ็นเซอร์ของโครงสร้าง รัศมี 2 มิลลิเมตร ใช้เซ็นเซอร์ 3 ตัว ได้ดังภาพที่ 3.20 ได้สัญญาณที่ใช้สำหรับแปลงผลมุมดังภาพที่ 3.20 รัศมี 3 มิลลิเมตร ใช้เซ็นเซอร์ 3 ตัว ได้ดังภาพที่ 3.29 ได้สัญญาณที่ใช้สำหรับแปลงผลมุมดังภาพที่ 3.30

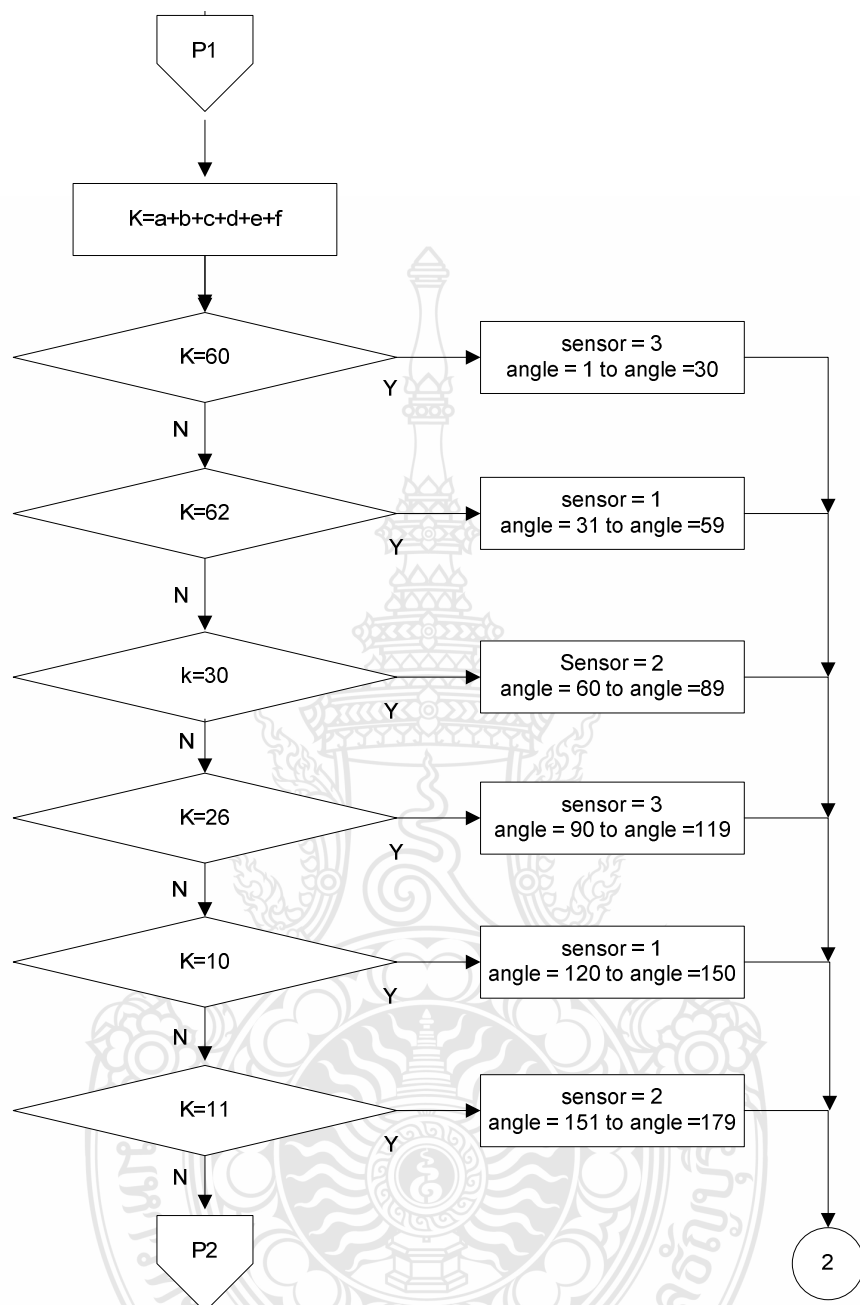
จากตารางที่ 3.7 สามารถเขียนไฟล์charter แสดงการเปรียบเทียบค่าแรงดันเอาต์พุตของเซ็นเซอร์แต่ละตัวในช่วงมุม ทั้ง 20 ช่วง และการเลือกแรงดันเอาต์พุตแปลงผล จากเซ็นเซอร์ของโครงสร้าง รัศมี 3 มิลลิเมตร ใช้เซ็นเซอร์ 5 ตัว ได้ดังภาพที่ 3.31 ได้สัญญาณที่ใช้สำหรับแปลงผลมุมดังภาพที่ 3.32

ตารางที่ 3.6 เงื่อนไขการแปลผลมุมโครงสร้างเชิงเชอร์ 3 ตัว

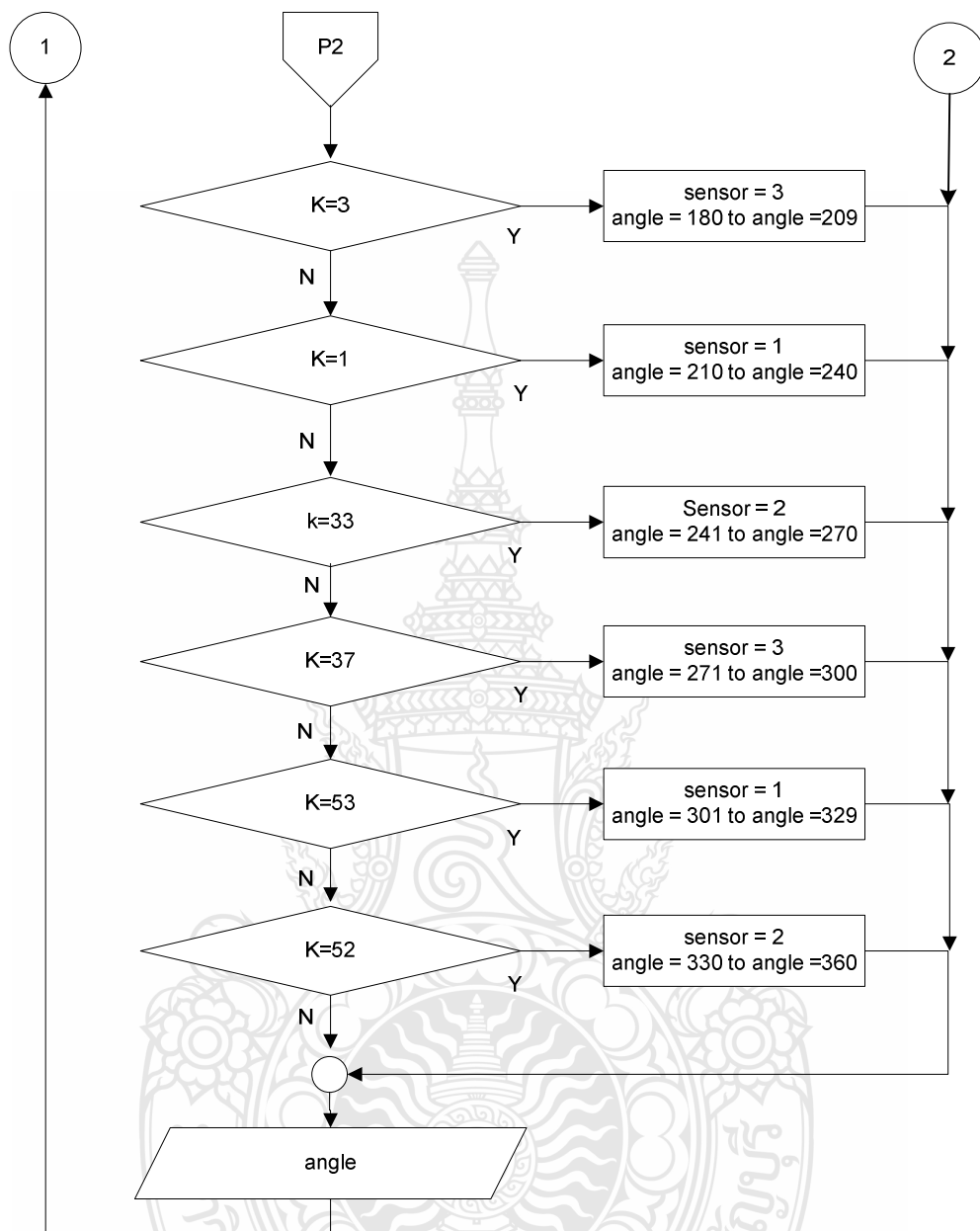
num	แรงดันอากาศ			เงื่อนไข						แปลผล
	s 1	s 2	s 3	s1>s2	s1>s3	s2>s3	s1>2.5	s2>2.5	s3>2.5	
0	4.5	2.138	2.138	2^5	2^4	0	2^2	0	0	sensor 2
1	4.499	2.157	2.117	2^5	2^4	2^3	2^2	0	0	sensor 3
30	3.914	2.5	1.086	2^5	2^4	2^3	2^2	0	0	sensor 3
31	3.875	2.507	1.048	2^5	2^4	2^3	2^2	2^1	0	sensor 1
59	2.883	2.843	0.501	2^5	2^4	2^3	2^2	2^1	0	sensor 1
60	2.862	2.862	0.5	0	2^4	2^3	2^2	2^1	0	sensor 2
89	2.507	3.875	1.048	0	2^4	2^3	2^2	2^1	0	sensor 2
90	2.5	3.914	1.086	0	2^4	2^3	0	2^1	0	sensor 3
119	2.157	4.499	2.117	0	2^4	2^3	0	2^1	0	sensor 3
120	2.138	4.5	2.138	0	0	2^3	0	2^1	0	sensor 1
150	1.086	3.914	2.5	0	0	2^3	0	2^1	0	sensor 1
151	1.048	3.875	2.507	0	0	2^3	0	2^1	2^0	sensor 2
179	0.501	2.883	2.843	0	0	2^3	0	2^1	2^0	sensor 2
180	0.5	2.862	2.862	0	0	0	0	2^1	2^0	sensor 3
209	1.048	2.507	3.875	0	0	0	0	2^1	2^0	sensor 3
210	1.086	2.5	3.914	0	0	0	0	0	2^0	sensor 1
240	2.138	2.138	4.5	0	0	0	0	0	2^0	sensor 1
241	2.157	2.117	4.499	2^5	0	0	0	0	2^0	sensor 2
270	2.5	1.086	3.914	2^5	0	0	0	0	2^0	sensor 2
271	2.507	1.048	3.875	2^5	0	0	2^2	0	2^0	sensor 3
300	2.862	0.5	2.862	2^5	0	0	2^2	0	2^0	sensor 3
301	2.883	0.501	2.843	2^5	2^4	0	2^2	0	2^0	sensor 1
329	3.875	1.048	2.507	2^5	2^4	0	2^2	0	2^0	sensor 1
330	3.914	1.086	2.5	2^5	2^4	0	2^2	0	0	sensor 2
360	4.5	2.138	2.138	2^5	2^4	0	2^2	0	0	sensor 2



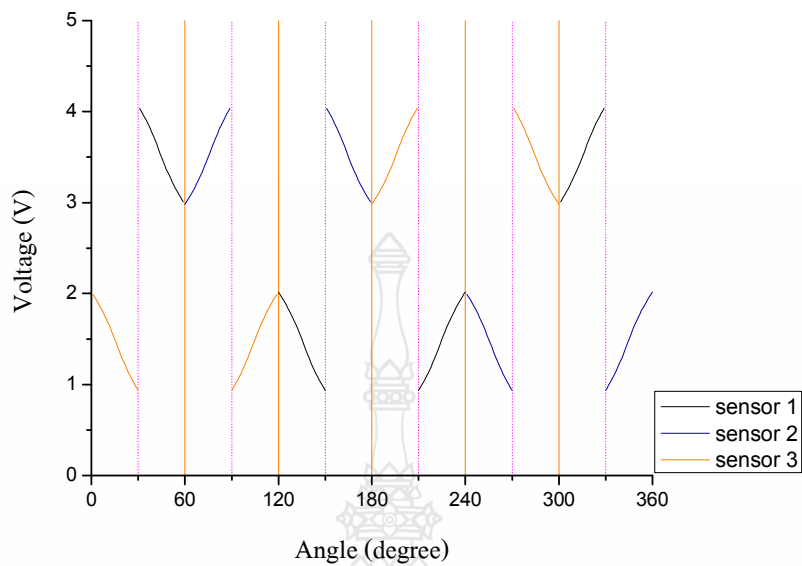
ภาพที่ 3.28 ไฟล์ชาร์ตการทำงานของโปรแกรมการหาค่ามุ่ง โครงสร้างเชิงชั้น 3 ตัว



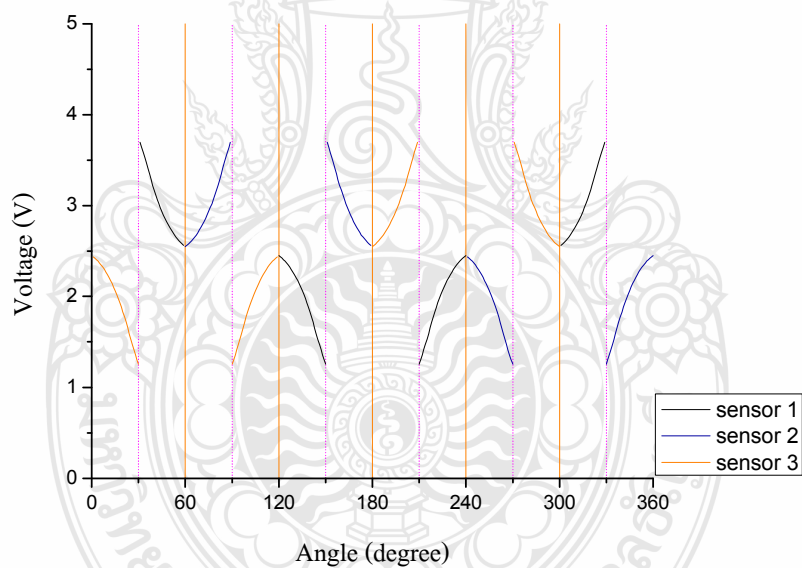
ภาพที่ 3.28 ไฟล์ชาร์ตการทำงานของโปรแกรมการหาค่ามุมโครงสร้างเชิงเรือนยอด 3 ตัว (ต่อ)



ภาพที่ 3.28 โฟลชาร์ตการทำงานของโปรแกรมการหาค่ามุม โครงสร้างเซ็นเซอร์ 3 ตัว (ต่อ)



ภาพที่ 3.29 การเลือกแรงดันเอาต์พุตแบล็อก ที่รัศมี 2 มิลลิเมตรใช้ เชือร์ 3 ตัว



ภาพที่ 3.30 การเลือกแรงดันเอาต์พุตแบล็อก ที่รัศมี 3 มิลลิเมตรใช้ เชือร์ 3 ตัว

ตารางที่ 3.7 เงื่อนไขการแปลผลมุมโครงสร้างเซ็นเซอร์ 5 ตัว

มุม	แรงดันเอาต์พุต					เงื่อนไข					
	s 1	s 2	s 3	s4	s5	s1>s2	s1>s3	s1>s4	s1>s5	s2>s3	s2>s4
0	4.500	2.500	1.590	1.590	2.500	2^{14}	2^{13}	2^{12}	2^{11}	2^{10}	2^9
1	4.499	2.500	1.653	1.529	2.500	2^{14}	2^{13}	2^{12}	2^{11}	2^{10}	2^9
17	4.251	2.632	2.323	0.809	2.500	2^{14}	2^{13}	2^{12}	2^{11}	2^{10}	2^9
18	4.222	2.654	2.346	0.778	2.500	2^{14}	2^{13}	2^{12}	2^{11}	2^{10}	2^9
35	3.471	3.347	2.500	0.501	2.500	2^{14}	2^{13}	2^{12}	2^{11}	2^{10}	2^9
36	3.410	3.410	2.500	0.500	2.500	0	2^{13}	2^{12}	2^{11}	2^{10}	2^9
54	2.654	4.222	2.500	0.778	2.346	0	2^{13}	2^{12}	2^{11}	2^{10}	2^9
55	2.632	4.251	2.500	0.809	2.323	0	2^{13}	2^{12}	2^{11}	2^{10}	2^9
72	2.500	4.500	2.500	1.590	1.590	0	0	2^{12}	2^{11}	2^{10}	2^9
73	2.500	4.499	2.500	1.653	1.529	0	0	2^{12}	2^{11}	2^{10}	2^9
89	2.500	4.251	2.632	2.323	0.809	0	0	2^{12}	2^{11}	2^{10}	2^9
90	2.500	4.222	2.654	2.346	0.778	0	0	2^{12}	2^{11}	2^{10}	2^9
107	2.500	3.471	3.347	2.500	0.501	0	0	0	2^{11}	2^{10}	2^9
108	2.500	3.410	3.410	2.500	0.500	0	0	0	2^{11}	0	2^9
126	2.346	2.654	4.222	2.500	0.778	0	0	0	2^{11}	0	2^9
127	2.323	2.632	4.251	2.500	0.809	0	0	0	2^{11}	0	2^9
143	1.653	2.500	4.499	2.500	1.529	0	0	0	2^{11}	0	0
144	1.590	2.500	4.500	2.500	1.590	0	0	0	0	0	0
161	0.809	2.500	4.251	2.632	2.323	0	0	0	0	0	0
162	0.778	2.500	4.222	2.654	2.346	0	0	0	0	0	0
179	0.501	2.500	3.471	3.347	2.500	0	0	0	0	0	0
180	0.500	2.500	3.410	3.410	2.500	0	0	0	0	0	0

ตารางที่ 3.7 เนื่องจากการแปลผลมุมโครงสร้างเซ็นเซอร์ 5 ตัว (ต่อ)

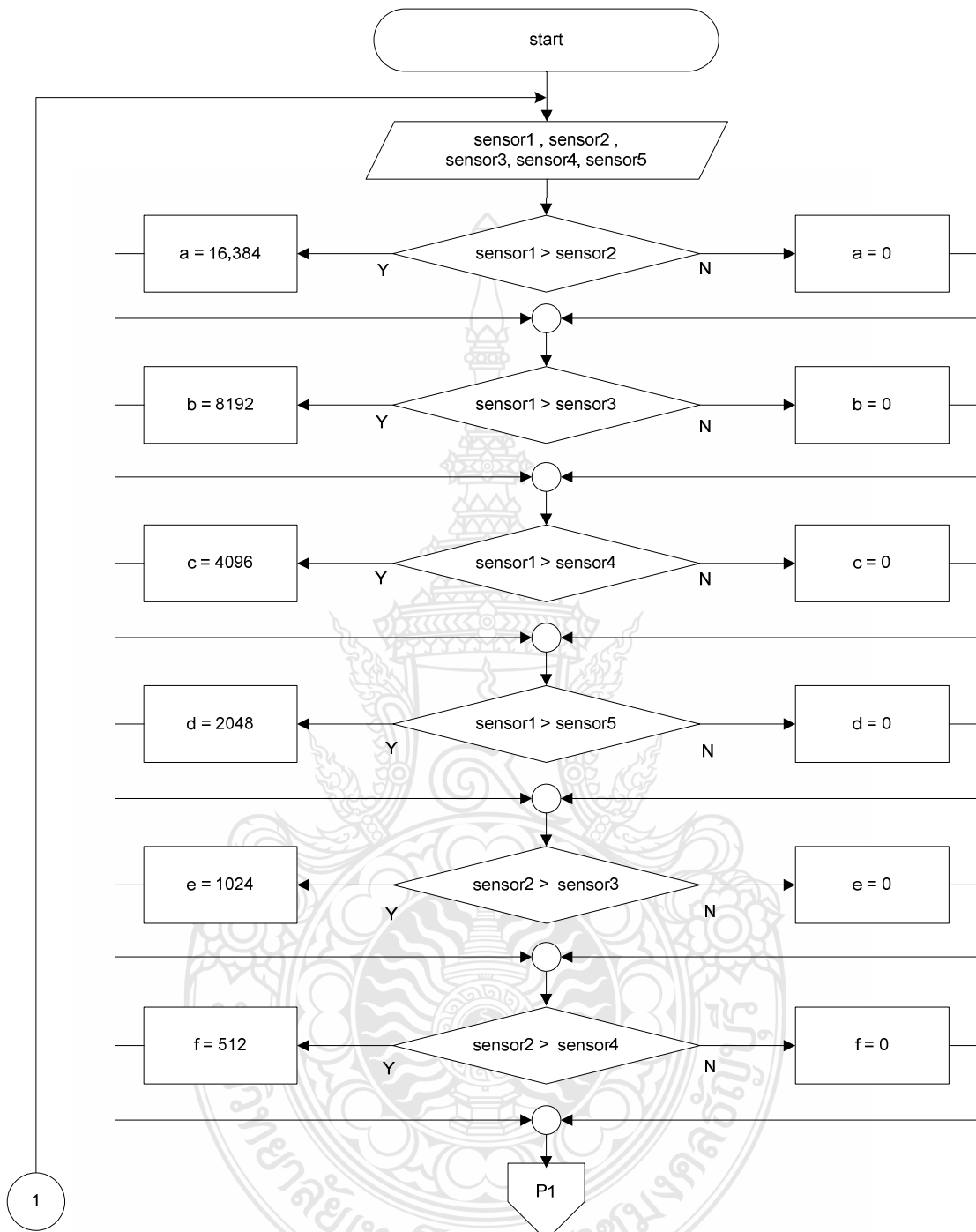
num	เนื่องใน									แปลผล
	s2>s5	s3>s4	s3>s5	s4>s5	S1>	s2>K	s3>K	s4>K	s5>K	
0	0	0	0	0	2^4	2^3	0	0	2^0	sensor 3
1	0	2^7	0	0	2^4	2^3	0	0	2^0	sensor 4
17	2^8	2^7	0	0	2^4	2^3	0	0	2^0	sensor 4
18	2^8	2^7	0	0	2^4	2^3	2^2	0	2^0	sensor 1
35	2^8	2^7	0	0	2^4	2^3	2^2	0	2^0	sensor 1
36	2^8	2^7	0	0	2^4	2^3	2^2	0	2^0	sensor 2
54	2^8	2^7	2^6	0	2^4	2^3	2^2	0	2^0	sensor 2
55	2^8	2^7	2^6	0	2^4	2^3	2^2	0	0	sensor 4
72	2^8	2^7	2^6	0	2^4	2^3	2^2	0	0	sensor 4
73	2^8	2^7	2^6	2^5	2^4	2^3	2^2	0	0	sensor 5
89	2^8	2^7	2^6	2^5	2^4	2^3	2^2	0	0	sensor 5
90	2^8	2^7	2^6	2^5	2^4	2^3	2^2	2^1	0	sensor 2
107	2^8	2^7	2^6	2^5	2^4	2^3	2^2	2^1	0	sensor 2
108	2^8	2^7	2^6	2^5	2^4	2^3	2^2	2^1	0	sensor 3
126	2^8	2^7	2^6	2^5	2^4	2^3	2^2	2^1	0	sensor 3
127	2^8	2^7	2^6	2^5	0	2^3	2^2	2^1	0	sensor 5
143	2^8	2^7	2^6	2^5	0	2^3	2^2	2^1	0	sensor 5
144	2^8	2^7	2^6	2^5	0	2^3	2^2	2^1	0	sensor 1
161	2^8	2^7	2^6	2^5	0	2^3	2^2	2^1	0	sensor 1
162	2^8	2^7	2^6	2^5	0	2^3	2^2	2^1	2^0	sensor 3
179	0	2^7	2^6	2^5	0	2^3	2^2	2^1	2^0	sensor 3
180	0	2^7	2^6	2^5	0	2^3	2^2	2^1	2^0	sensor 4

ตารางที่ 3.7 เงื่อนไขการแปลผลมุมโครงสร้างเชิงเชอร์ 5 ตัว (ต่อ)

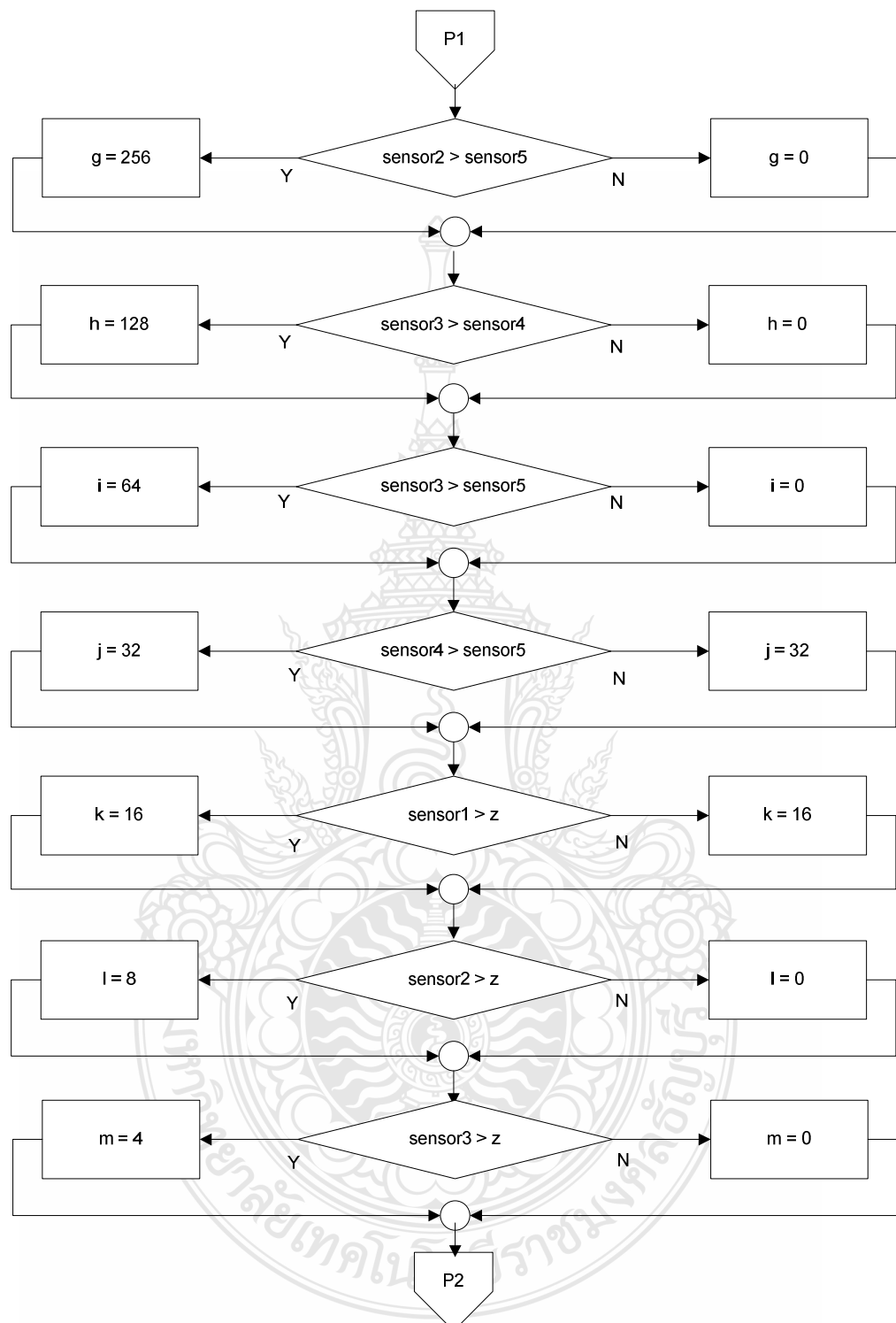
มุม	แรงดันเอาต์พุต					เงื่อนไข					
	s 1	s 2	s 3	s4	s5	s1>s2	s1>s3	s1>s4	s1>s5	s2>s3	s2>s4
198	0.778	2.346	2.654	4.222	2.500	0	0	0	0	0	0
199	0.809	2.323	2.632	4.251	2.500	0	0	0	0	0	0
216	1.590	1.590	2.500	4.500	2.500	0	0	0	0	0	0
217	1.653	1.529	2.500	4.499	2.500	2^{14}	0	0	0	0	0
233	2.323	0.809	2.500	4.251	2.632	2^{14}	0	0	0	0	0
234	2.346	0.778	2.500	4.222	2.654	2^{14}	0	0	0	0	0
251	2.500	0.501	2.500	3.471	3.347	2^{14}	0	0	0	0	0
252	2.500	0.500	2.500	3.410	3.410	2^{14}	0	0	0	0	0
270	2.500	0.778	2.346	2.654	4.222	2^{14}	2^{13}	0	0	0	0
271	2.500	0.809	2.323	2.632	4.251	2^{14}	2^{13}	0	0	0	0
288	2.500	1.590	1.590	2.500	4.500	2^{14}	2^{13}	0	0	0	0
289	2.500	1.653	1.529	2.500	4.499	2^{14}	2^{13}	0	0	2^{10}	0
305	2.632	2.323	0.809	2.500	4.251	2^{14}	2^{13}	2^{12}	0	2^{10}	0
306	2.654	2.346	0.778	2.500	4.222	2^{14}	2^{13}	2^{12}	0	2^{10}	0
324	3.410	2.500	0.500	2.500	3.410	2^{14}	2^{13}	2^{12}	0	2^{10}	0
325	3.471	2.500	0.501	2.500	3.347	2^{14}	2^{13}	2^{12}	2^{11}	2^{10}	0
342	4.222	2.500	0.778	2.346	2.654	2^{14}	2^{13}	2^{12}	2^{11}	2^{10}	2^9
343	4.251	2.500	0.809	2.323	2.632	2^{14}	2^{13}	2^{12}	2^{11}	2^{10}	2^9
360	4.500	2.500	1.590	1.590	2.500	2^{14}	2^{13}	2^{12}	2^{11}	2^{10}	2^9

ตารางที่ 3.7 เงื่อนไขการแปลงผลมุมโครงสร้างเซ็นเซอร์ 5 ตัว (ต่อ)

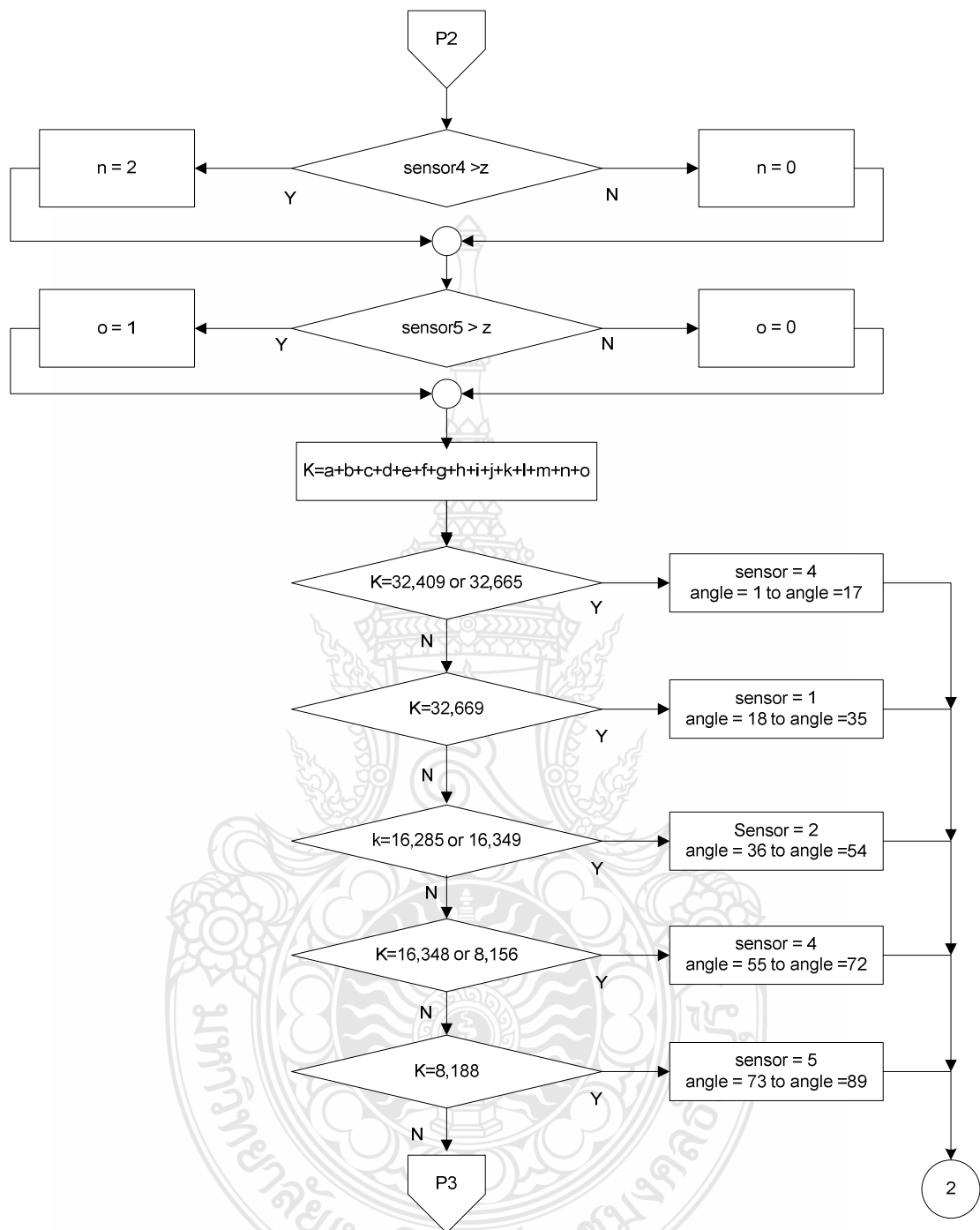
มุม	เงื่อนไข									แปลงผล
	s2>s5	s3>s4	s3>s5	s4>s5	S1>Z	s2>Z	s3>Z	s4>Z	s5>Z	
198	0	0	2^6	2^5	0	2^3	2^2	2^1	2^0	sensor 4
199	0	0	2^6	2^5	0	0	2^2	2^1	2^0	sensor 1
216	0	0	0	2^5	0	0	2^2	2^1	2^0	sensor 1
217	0	0	0	2^5	0	0	2^2	2^1	2^0	sensor 2
233	0	0	0	2^5	0	0	2^2	2^1	2^0	sensor 2
234	0	0	0	2^5	2^4	0	2^2	2^1	2^0	sensor 4
251	0	0	0	2^5	2^4	0	2^2	2^1	2^0	sensor 4
252	0	0	0	0	2^4	0	2^2	2^1	2^0	sensor 5
270	0	0	0	0	2^4	0	2^2	2^1	2^0	sensor 5
271	0	0	0	0	2^4	0	0	2^1	2^0	sensor 2
288	0	0	0	0	2^4	0	0	2^1	2^0	sensor 2
289	0	0	0	0	2^4	0	0	2^1	2^0	sensor 3
305	0	0	0	0	2^4	0	0	2^1	2^0	sensor 3
306	0	0	0	0	2^4	2^3	0	2^1	2^0	sensor 5
324	0	0	0	0	2^4	2^3	0	2^1	2^0	sensor 5
325	0	0	0	0	2^4	2^3	0	2^1	2^0	sensor 1
342	0	0	0	0	2^4	2^3	0	2^1	2^0	sensor 1
343	0	0	0	0	2^4	2^3	0	0	2^0	sensor 3
360	0	0	0	0	2^4	2^3	0	0	2^0	sensor 3



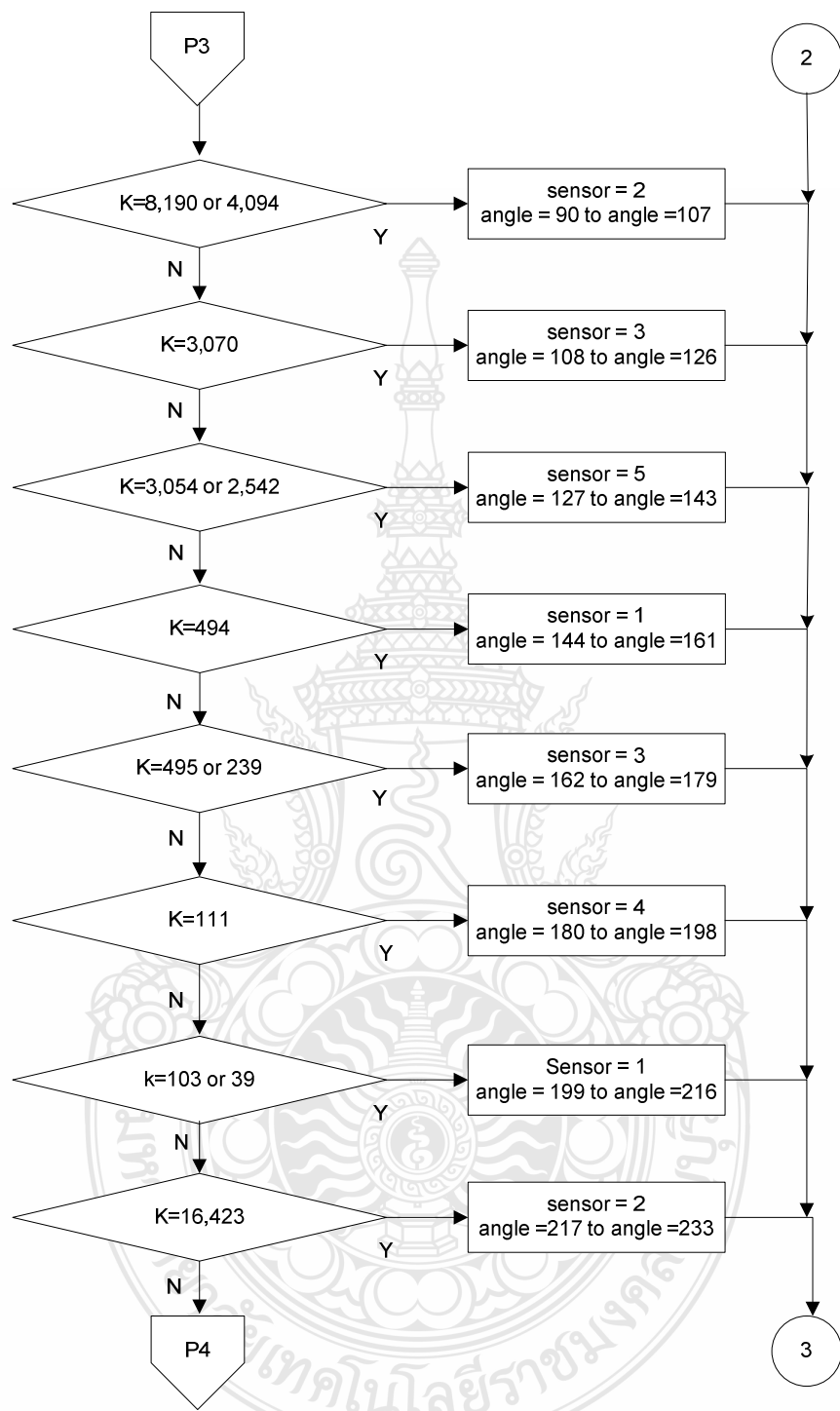
ภาพที่ 3.31 ไฟล์ชาร์ตการทำงานของโปรแกรมการหาค่ามุ่งโครงสร้างเชิงเรื่อง 5 ตัว



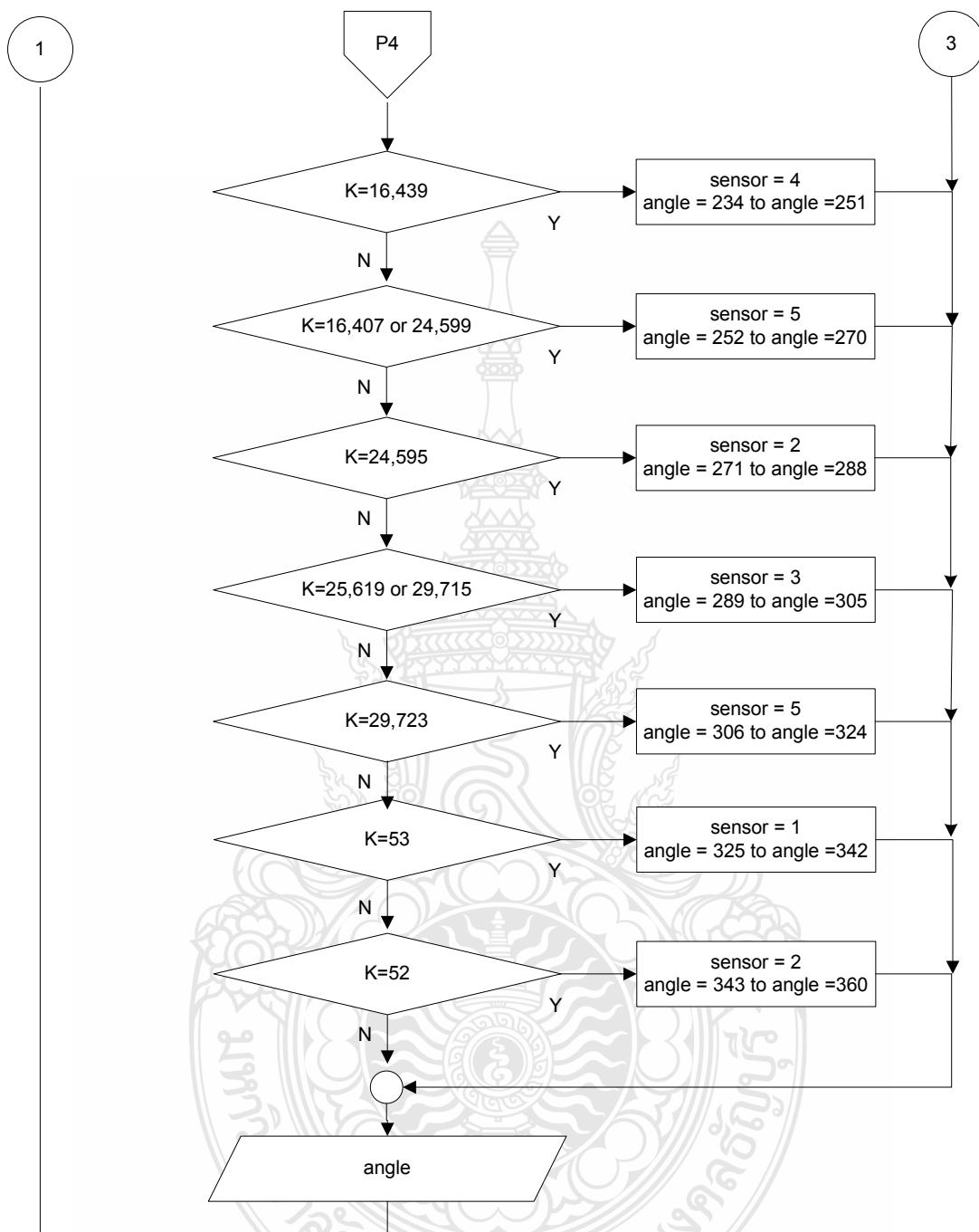
ภาพที่ 3.31 ไฟล์ชาร์ตการทำงานของโปรแกรมการหาค่ามุ่ง โครงสร้างเซ็นเซอร์ 5 ตัว (ต่อ)



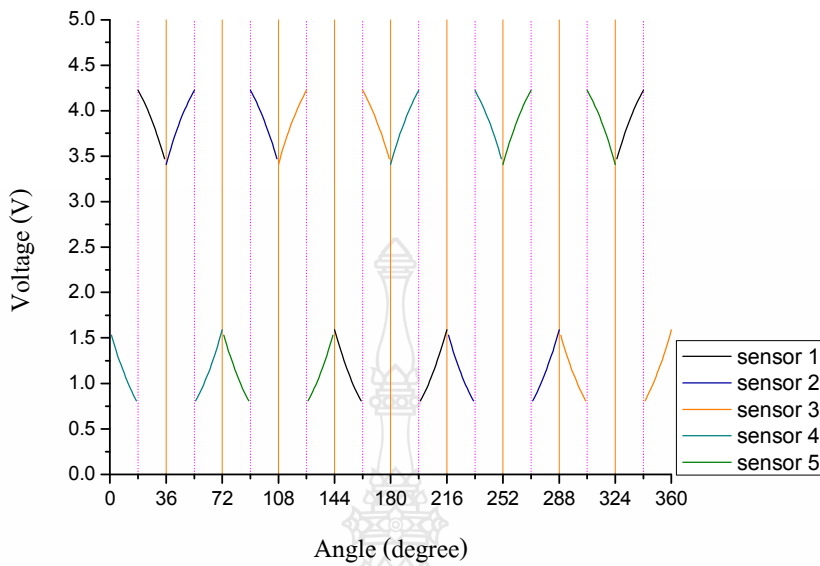
ภาพที่ 3.31 ไฟล์ชาร์ตการทำงานของโปรแกรมการหาค่ามุม โครงสร้างเชิงชั้นชือร์ 5 ตัว (ต่อ)



ภาพที่ 3.31 ไฟล์ชาร์ตการทำงานของโปรแกรมการหาค่ามุม โครงสร้างเซ็นเซอร์ 5 ตัว (ต่อ)



ภาพที่ 3.31 ไฟล์ชาร์ตการทำงานของโปรแกรมการหาค่ามุม โครงสร้างเชิงชั้นชือร์ 5 ตัว (ต่อ)



ภาพที่ 3.32 การเลือกแรงดันเอาต์พุตแปลผล ที่รัศมี 3 มิลลิเมตรใช้เซ็นเซอร์ 5 ตัว

จากราฟแสดงค่าความสัมพันธ์ระหว่างมุมกับค่าแรงดันเอาต์พุตที่ทำการแบ่งช่วงมุมและเลือกค่าแรงดันเอาต์พุตแปลผล ทำการเปรียบเทียบระหว่างโครงสร้างเซ็นเซอร์ 3 ตัว รัศมี 1.5 มิลลิเมตร กับรัศมี 3 มิลลิเมตร จะเห็นว่าทั้งสองแบบจะสามารถแบ่งช่วงมุมและเลือกค่าแรงดันเอาต์พุตแปลผล ได้ทั้งหมด 12 แต่จะสังเกตเห็นว่าที่รัศมี 3 มิลลิเมตร

แต่เมื่อเปรียบเทียบโครงสร้าง รัศมี 3 มิลลิเมตรเซ็นเซอร์ 3 ตัวกับ เซ็นเซอร์ 5 ตัวจะเห็นว่า โครงสร้างเซ็นเซอร์ 5 ตัวสามารถแบ่งช่วงมุมและเลือกค่าแรงดันเอาต์พุตแปลผล ได้ทั้งหมด 20 ช่วง ซึ่งทำให้ค่าแรงดันเอาต์พุตที่เราจะนำไปแปลผลเป็นค่ามุมมีช่วงกว้างมากยิ่งขึ้น

ตัวอย่างการหาค่าความละเอียด ณ จุดต่ำสุด ที่มุม 0-1 องศาสามารถแสดงได้ดังตารางที่ 3.8

ตารางที่ 3.8 การเลือกแรงดันเอาต์พุตแปลผล จากเซ็นเซอร์ของโครงสร้างเซ็นเซอร์ 5 ตัว

มุม	Sensor1	Sensor2	Sensor3	Sensor4	Sensor5
0	3.994	2.691	2.215	2.141	2.686
1	3.991	2.687	2.166	2.195	2.688
ผลต่างแรงดันเอาต์พุต	0.003	0.014	0.049	0.054	0.002

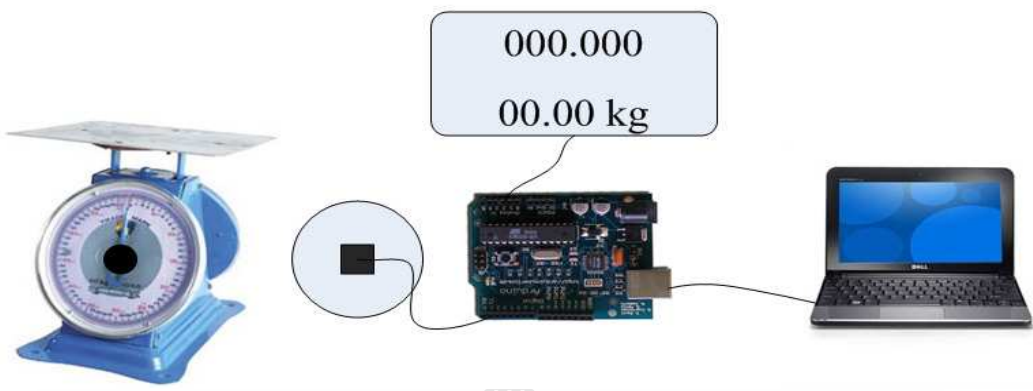
จะเห็นว่า ค่าผลต่างแรงดันเอาต์พุต เท่ากับ 0.049 V ที่ เชื่อมต่อตัวที่ 3 ที่เราเลือก หากคิดเป็นค่า ระยะห่างของระดับข้อมูลดิจิตอลในวงจรแปลงสัญญาณอนาล็อกเป็นดิจิตอลแรงดันเอาต์พุต $0 - 5 \text{ V}$ ความละเอียด 12 บิต จะได้ ระยะห่างของแรงดันเอาต์พุตต่อบิตข้อมูล 0.0013 V ต่อ 1 บิต หรือที่ 0.049 V มีค่าเท่ากับ 37 หน่วย ดิจิตอล ซึ่งเพียงพอต่อการนำไปประมวลผลที่ค่าความละเอียด 0.1 องศา

ตารางที่ 3.9 แรงดันเอาต์พุตของทรานส์ฟิเวอร์วัตมูนที่ทำการออกแบบที่ความละเอียด 0.1 องศา

มุม (องศา)	ครั้งที่ 1 (V)	ครั้งที่ 2 (V)	ครั้งที่ 3 (V)	ครั้งที่ 4 (V)	ครั้งที่ 5 (V)	ครั้งที่ 6 (V)	ครั้งที่ 7 (V)	ครั้งที่ 8 (V)	ครั้งที่ 9 (V)	ครั้งที่ 10 (V)
0	2.215	2.216	2.214	2.215	2.215	2.214	2.215	2.216	2.214	2.215
0.1	2.213	2.214	2.213	2.214	2.215	2.212	2.214	2.215	2.211	2.215
0.2	2.210	2.212	2.209	2.210	2.211	2.209	2.210	2.210	2.210	2.211
0.3	2.206	2.207	2.205	2.208	2.206	2.206	2.207	2.208	2.205	2.207
0.4	2.202	2.203	2.202	2.202	2.202	2.200	2.202	2.203	2.202	2.204
0.5	2.196	2.196	2.196	2.198	2.197	2.195	2.197	2.196	2.194	2.196
0.6	2.190	2.191	2.189	2.191	2.191	2.189	2.191	2.192	2.189	2.191
0.7	2.184	2.185	2.184	2.185	2.184	2.182	2.184	2.185	2.183	2.186
0.8	2.178	2.180	2.178	2.180	2.179	2.178	2.180	2.178	2.178	2.179
0.9	2.172	2.172	2.171	2.173	2.173	2.172	2.173	2.173	2.170	2.172
1	2.166	2.168	2.165	2.167	2.167	2.166	2.167	2.168	2.164	2.167

3.3 การปรับปรุงโปรแกรมเพื่อเปลี่ยนการแสดงผลมูนเป็นน้ำหนัก

จากแนวคิดการเคลื่อนที่ของเข็มแสดงน้ำหนักของตาชั่งแบบสปริงมีลักษณะการเคลื่อนที่แบบหมุนรอบแกน เช่นเดียวกันกับทรานส์ฟิเวอร์วัตมูนที่ทำการออกแบบสามารถนำมาปรับได้โดยการเปรียบเทียบมูนกับน้ำหนักที่ได้ เพื่อแสดงผล โดยการนำทรานส์ฟิเวอร์วัตมูนติดตั้งกับแกนหมุนของเครื่องชั่งแบบสปริงดังภาพที่ 3.32



ภาพที่ 3.33 การติดตั้งทرانสดิวเซอร์วัดมุมกับแกนหมุนของเครื่องชั่งแบบสปริง

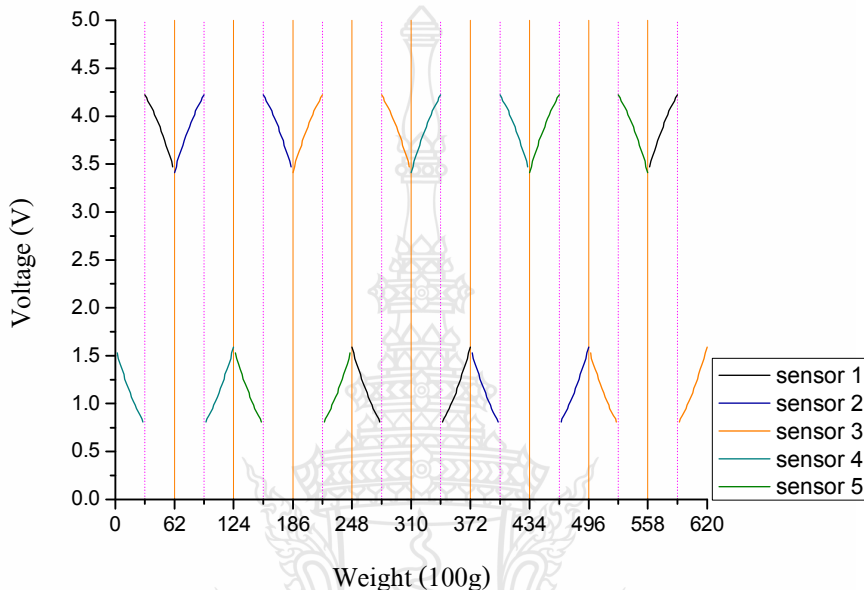
จากโครงการสร้างเครื่องชั่งน้ำหนักแบบสปริงสำหรับชั่งน้ำหนักขนาด 60 กิโลกรัม แสดงดังภาพที่ 3.31 จะเห็นว่าภายในหน้าปัดวงกลมจะแบ่งออกเป็นทั้งหมด 62 ส่วนใหญ่ตามน้ำหนัก กิโลกรัม แต่ถ้าต้องการความละเอียดที่ 100 กรัม จะต้องแบ่งออกเป็นทั้งหมด 620 ส่วน



ภาพที่ 3.34 เครื่องชั่งน้ำหนักแบบสปริงสำหรับชั่งน้ำหนักขนาด 60 กิโลกรัม

จากตาราง 3.7 การเบริญเที่ยบแรงดันเอาต์พุตของเซ็นเซอร์แต่ละตัวในช่วงมุม ทั้ง 20 ช่วง และการเลือกแรงดันเอาต์พุตแปลผล จากเซ็นเซอร์ของโครงการ รัศมี 3 มิลลิเมตร ใช้เซ็นเซอร์ 5 ตัว ใน 20 ช่วงแรงดันเอาต์พุตของเซ็นเซอร์ที่ถูกเลือกเพื่อแปลผลจะถูกแบ่งออกช่วงละ 18 องศา เพื่อ

แสดงผลมุม ตาชั่งแบบสปริงต้องการความละเอียดที่ 100 กรัม หรือ 1 ปีด จะต้องแบ่งออกเป็นทั้งหมด 620 ปีด แสดงว่าดันเอาต์พุตของเซ็นเซอร์ที่ถูกเลือกเพื่อแปลผลจะถูกแบ่งอีกช่วงละ 31 ปีด เพื่อแสดงผลที่ความละเอียด 100 กรัม สามารถแสดงได้ดังรูปที่ 3.33



ภาพที่ 3.35 น้ำหนักกับค่าแรงดันเอาต์พุตที่ทำการแบ่งช่วงมุมและเลือกค่า

3.4 สรุปการออกแบบทรานสิสเตอร์ดัมป์ปอร์แกรมแปลงสัญญาณ และแสดงผล

จากการศึกษาปัจจัยที่มีผลต่อการเปลี่ยนแปลงความเข้มของสนามแม่เหล็กตามการเคลื่อนที่ของแม่เหล็กโครงสร้างดังภาพที่ 3.2 พบร่วม

ปัจจัยการเปลี่ยนแปลงความเข้มของสนามแม่เหล็กตามพื้นที่แม่เหล็กเคลื่อนที่ซ้อนชอลล์ เอฟเฟกต์เซ็นเซอร์ตั้งแต่มุม 0 จนถึง 360 องศา จะเปลี่ยนแปลงตามขนาดของแม่เหล็กและรัศมีการวางตัวแห่งน่องชอลล์เอฟเฟกต์เซ็นเซอร์ ถ้าพิจารณาที่ขนาดแม่เหล็กที่มีขนาดความกว้างมากกว่าจะปรากฏพื้นที่ซ้อนกันของแม่เหล็กตามองคามากกว่าแต่เมื่อยื่นออกไป ก็จะเกิดบิรเวณการเปลี่ยนแปลงสนามแม่เหล็กที่ต้องจับได้น้อยเมื่อยื่นกับมุมเคลื่อนที่มากกว่า

ปัจจัยการเปลี่ยนแปลงความเข้มของสนามแม่เหล็กเกิดจากระยะห่างระหว่างแม่เหล็กกับชอลล์เอฟเฟกต์เซ็นเซอร์ที่ระยะใกล้ๆ จะได้ค่าแรงดันเอาต์พุตของชอลล์เอฟเฟกต์เซ็นเซอร์มากกว่า แต่ถ้าใกล้มากเกินไปจะทำให้ไม่สามารถตรวจสอบการเคลื่อนที่ของแม่เหล็กตามองคามากกว่า

ปัจจัยการเปลี่ยนแปลงความเข้มของสนา�แม่เหล็กเกิดจากสนา�แม่เหล็กไม่ตั้งจากกับพื้นที่หรือตัวกับหอดล้อฟเฟกต์เซ็นเซอร์ ปัจจัยนี้จะเกิดขึ้นจากวัสดุมีการวางตำแหน่งหอดล้อฟเฟกต์เซ็นเซอร์ และระยะห่างระหว่างแม่เหล็กกับหอดล้อฟเฟกต์เซ็นเซอร์ เพราะเกิดจากจุดกึ่งกลางแม่เหล็กและหอดล้อฟเฟกต์เซ็นเซอร์เคลื่อนที่ห่างกันออกไป โดยที่ระยะห่างแกนเท่าเดิม

และการเพิ่มจำนวนและหอดล้อฟเฟกต์เซ็นเซอร์ เมื่อเปรียบเทียบโครงสร้าง รัศมี 3 มิลลิเมตรเซ็นเซอร์ 3 ตัวกับ เซ็นเซอร์ 5 ตัวจะเห็นว่าโครงสร้างเซ็นเซอร์ 5 ตัวสามารถแบ่งช่วงมุม และเลือกค่าแรงดันเอาต์พุตแปลง ได้ทั้งหมด 20 ช่วง ซึ่งทำให้ค่าแรงดันเอาต์พุตที่เราจำนำไปแปลง เป็นค่ามุมมีช่วงกว้างมากยิ่งขึ้น หรือมีความละเอียดขึ้น

ในการแปลงมุมจากโครงสร้างที่ใช้เซ็นเซอร์ 3 ตัวกับ เซ็นเซอร์ 5 ตัว จะเห็นว่าโครงสร้างที่ใช้เซ็นเซอร์ 3 ตัว มีความซับซ้อนน้อยกว่าโครงสร้างที่ใช้เซ็นเซอร์ 5 ตัวมาก ดังนั้นในการเลือกใช้ควรเลือกตามความละเอียดที่เหมาะสม



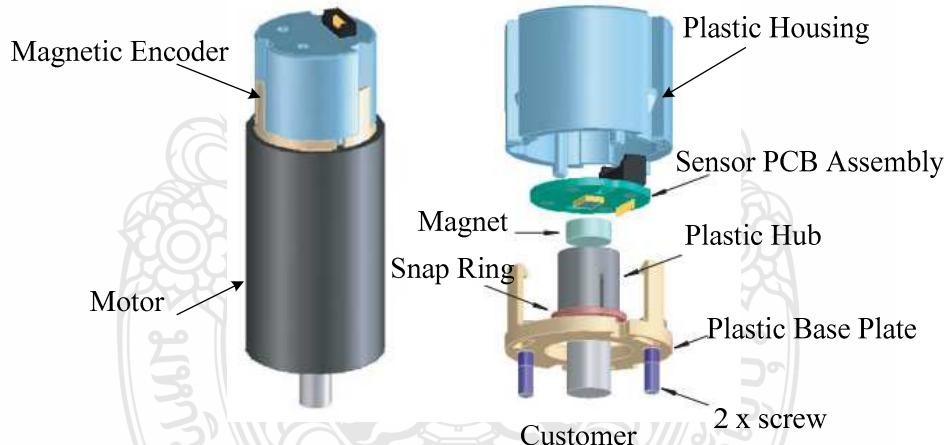
บทที่ 4

การทดสอบและผลการทดสอบ

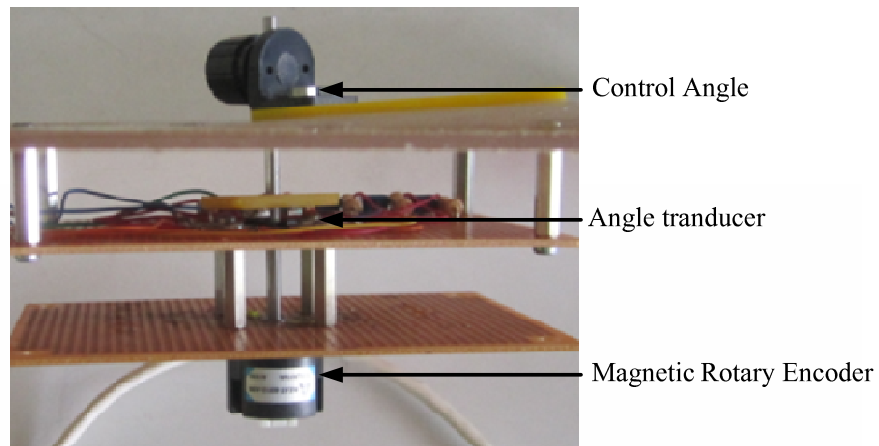
บทนี้จะกล่าวถึงการทดสอบของทรานส์ดิวเซอร์วัตมูนที่ได้ออกแบบ โดยทำการทดสอบในสภาวะควบคุมเพื่อให้สามารถนำพารามิเตอร์ต่างๆ ที่วัดผลได้มีวิเคราะห์หาก้าความแม่นยำ ถ้าความเที่ยงตรง ของระบบที่นำเสนอในการวัดมูน 0-360 องศา

4.1 การทดสอบทรานส์ดิวเซอร์วัตมูนที่ออกแบบ

การทดสอบใช้แมคเนติก โรตารีเอนโคเดอร์ (Magnetic Rotary Encoder) ยี่ห้อ Avago รุ่น EIAT 6012 มีความละเอียดขนาด 12 บิต หรือความละเอียด 0.0879 องศา มีค่าความผิดพลาด ± 1 LSB หรือค่าความผิดพลาด 0.0879 องศา โดยติดตั้งแมคเนติก โรตารีเอนโคเดอร์ไว้กับแกนหมุนเดียวกันกับทรานส์ดิวเซอร์วัตมูนที่ได้ออกแบบ

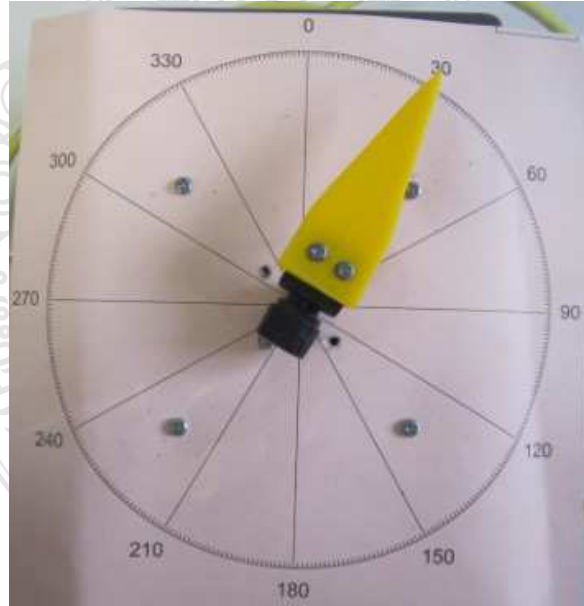


ภาพที่ 4.1 โครงสร้างของแมคเนติก โรตารีเอนโคเดอร์ยี่ห้อ Avago รุ่น EIAT 6012



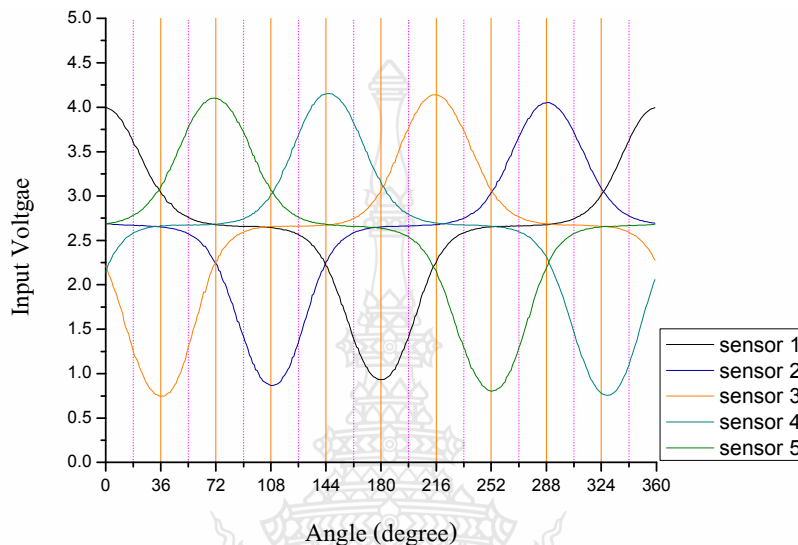
ภาพที่ 4.2 ติดตั้งแม่คณาติกโรตารีเอน โคลเดอร์ไว้กับแกนหมุนเดียวกันกับทราบสดิวเซอร์

ทำการปรับมุมในการวัดตั้งแต่ 0 - 360 องศา ที่ความละเอียด 1 องศาทำการบันทึกค่าที่ได้ในตารางที่ 4.4 ทดลองทั้งหมด 10 ครั้ง ครั้งที่ 1 ถึง 5 เคลื่อนมุมแบบตามเข็มนาฬิกา ครั้งที่ 6 ถึง 10 เคลื่อนมุมแบบทวนเข็มนาฬิกา



ภาพที่ 4.3 แกนหมุนสำหรับทดสอบทราบสดิวเซอร์

ในการทดสอบจะแบ่งการออกเป็นสองส่วนคือส่วนที่เป็นสัญญาณอนาล็อกที่รับมาจากเซ็นเซอร์ทั้ง 5 ตัว และข้อมูลผลมุมหลังจากประมวลผลมุมเรียบร้อยแล้ว



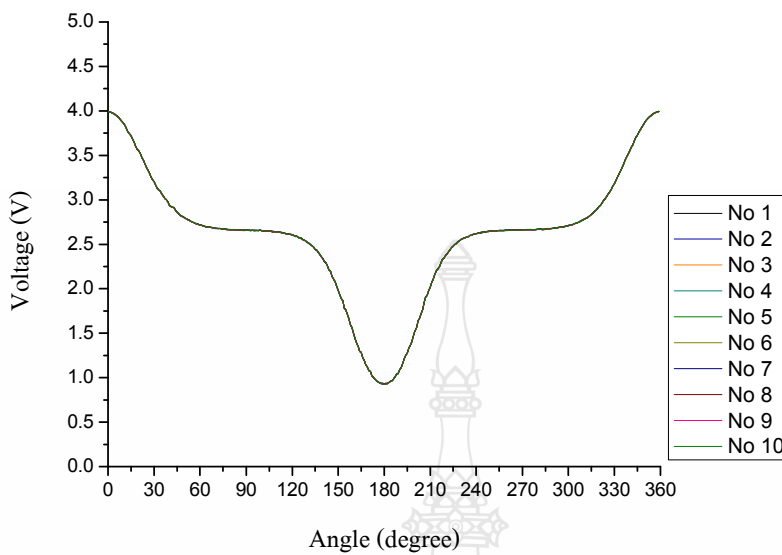
ภาพที่ 4.4 มุมกับแรงดันเอาท์พุทที่วัดได้จากเซ็นเซอร์ทั้ง 5 ตัว

4.1.1 การทดสอบความสามารถในการซ้ำเดินแรงดันเอาท์พุทที่วัดได้ของชอล์ด์อฟเฟกต์เซ็นเซอร์แต่ละตัว

โดยค่าที่ได้จะต้องอยู่ในช่วงค่าเฉลี่ยของการวัดทั้งหมดทำการทดสอบ เพื่อหาความเที่ยงตรงการทดสอบนี้จะคูณแรงดันเอาท์พุทที่วัดได้ของชอล์ด์อฟเฟกต์เซ็นเซอร์แต่ละตัว ที่นำมาประกอบเป็นทราบสดิวเซอร์วัตมุน ว่ามีความสามารถในการซ้ำเดินมากน้อยเพียงใด โดยจะทำการวัดแยกชอล์ด์อฟเฟกต์เซ็นเซอร์แต่ละตัว ทำการวัด จำนวน 10 ครั้ง และนำมาหาค่าดังดังสมการที่ 2.16

เมื่อทดสอบแล้วได้ค่าความเที่ยงตรง ที่คำนวณร่วมกันได้น้อยที่สุด จะนำแรงดันเอาท์พุท ทั้ง 10 ตัว ณ บันทึกมาคำนวณหาค่าความผิดพลาดสูงสุดของทราบสดิวเซอร์วัตมุนดังสมการที่ 2.11 และสมการที่ 2.13

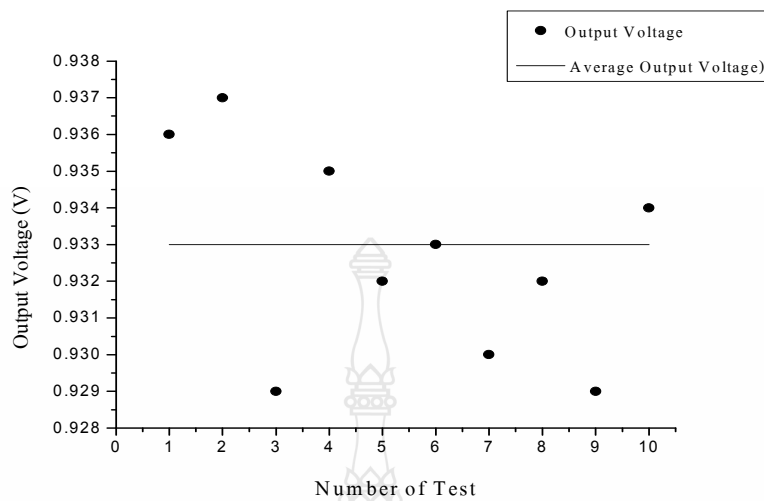
ผลการทดสอบชอล์ด์อฟเฟกต์เซ็นเซอร์ตัวที่ 1 จากกราฟค่าความเที่ยงตรงที่ได้ จะเห็นว่าที่บันทึก 179 องศา ของชอล์ด์อฟเฟกต์เซ็นเซอร์ตัวที่ 1 มีค่าความเที่ยงตรงน้อยที่สุด จึงจะนำแรงดันเอาท์พุทบริเวณนี้ไปหาค่าความผิดพลาดสูงสุดต่อไป



ภาพที่ 4.5 แรงดันเอาต์พุตของชอลล์เอฟเฟกต์เช็นเชอร์ตัวที่ 1 ณ ตำแหน่งมุม 0-360 องศา

ตารางที่ 4.1 ค่าความผิดพลาดการวัดที่ความละเอียด 1 องศา ที่มุม 179 องศา

ครั้งที่	แรงดันเอาต์พุต	ค่าเฉลี่ย	ค่าความผิดพลาด		
	ที่วัดได้	แรงดันเอาต์พุต	Error	Relative Error	%Error
1	0.936	0.933	-0.003	-0.00322	0.321543
2	0.937	0.933	0.003	0.003215	0.321543
3	0.929	0.933	-0.001	-0.001072	0.107181
4	0.935	0.933	-0.002	-0.00214	0.214362
5	0.932	0.933	0.001	0.001072	0.107181
6	0.933	0.933	0	0	0
7	0.93	0.933	-0.003	-0.00322	0.321543
8	0.932	0.933	0.001	0.001072	0.107181
9	0.929	0.933	0.004	0.004287	0.428725
10	0.934	0.933	0.001	0.001072	0.107181

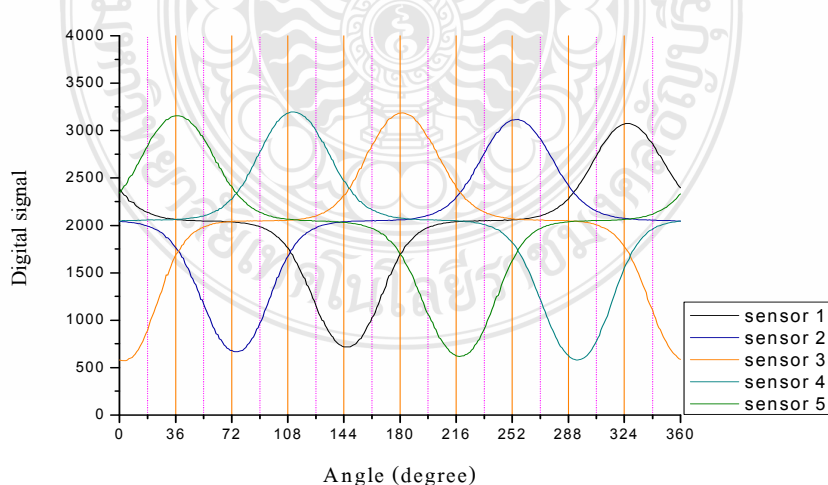


ภาพที่ 4.6 ค่าความผิดพลาดที่มุ่ง 179 องศา ของชอลล์อฟเฟกต์เซ็นเซอร์ตัวที่ 1

ทำการทดสอบชอลล์อฟเฟกต์เซ็นเซอร์ที่เหลือเช่นเดียวกันกับตัวที่ 1 ค่าความผิดพลาดอนามัยออกເອາດพຸດຂອງชอลล์อฟเฟกต์เซ็นเซอร์ทั้ง 5 ตัว มีค่าสูงสุดที่ ± 0.005 V และมีค่าความผิดพลาดเฉลี่ย ± 0.002 V

4.1.2 ทดสอบความสามารถในการซ้ำเติมจากการแปลงดิจิตอล

จากสัญญาณอนามัยออกເອາດพຸດຂອງชอลล์อฟเฟกต์เซ็นเซอร์ทั้ง 5 ตัว มีค่าสัมประสิทธิ์ความໄວของชอลล์อฟเฟกต์เซ็นเซอร์เท่ากับ 0.0013 โวลต์ ต่อเก้าซ์ และเปลี่ยนแปลงตั้งแต่ 0 - 5 โวลต์ จะมีค่าความเปลี่ยนแปลงเท่ากับ 3846 ค่า ดังนั้นจึงใช้ไมโครคอนโทรลเลอร์ขนาด 12 บิต ในการประมวลผล เพื่อแปลงเป็นสัญญาณดิจิตอลได้ข้อมูลดิจิตอลดังภาพที่



ภาพที่ 4.7 แปลงอนามัยออกເອາດพຸດจากชอลล์อฟเฟกต์เซ็นเซอร์เป็นข้อมูลดิจิตอลขนาด 12 บิต

ความเที่ยงตรงของจาระปลงสัญญาณนาลีกเป็นคิจitolหรือความผิดพลาด จะเท่ากับ $\pm 0.5V_{LSB}$ สามารถหาได้จากสมการที่ 2.19

$$V_{LSB} = \frac{5V}{2^{12}} = 0.00122V$$

ค่าความผิดพลาดของรูปแบบสัญญาณ噪ลีกเป็นคิจตลอดจังมีค่าเท่ากับ $\pm 0.00061V$

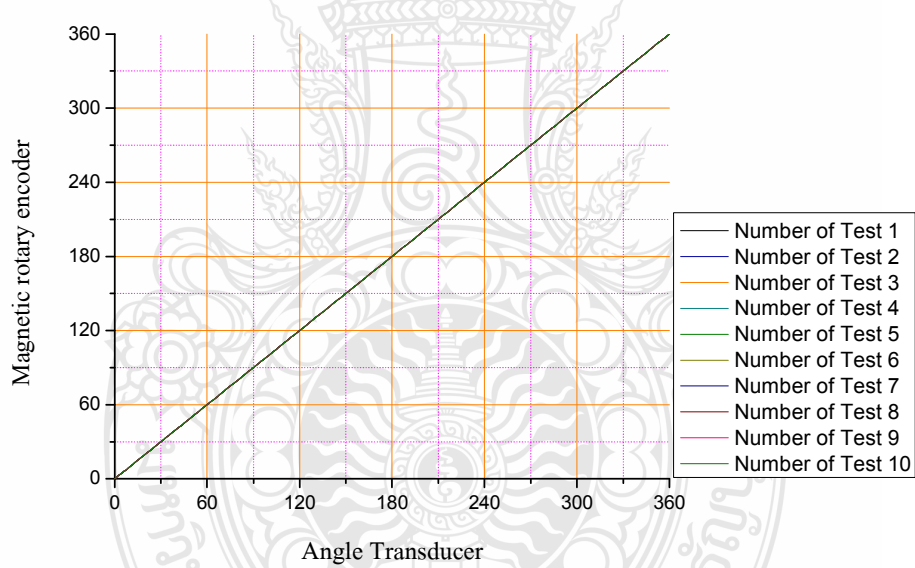
ตารางที่ 4.2 มุ่งกับแรงดันอาห์พุทธิ์วัดได้ที่ความละเอียด 1 องศา ตั้งแต่ 0 – 10 องศา

มุน	แรงดันเอาท์พุทที่วัดได้	แปลงเป็นคิจ托ล	แปลงเป็นฐาน 10	ค่าที่กำหนด
0	2.215	011010101000	1704	1685 - 1723
1	2.165	011010100010	1666	1647 - 1684
2	2.119	011001011110	1630	1616 - 1646
3	2.085	011001000100	1604	1585 - 1615
4	2.037	011000011111	1567	1545- -1584
5	1.981	010111110100	1524	1508- -1544
6	1.940	010111010101	1493	1473 - 1507
7	1.891	010110101111	1455	1431 - 1472
8	1.830	010110000000	1408	1387 - 1430
9	1.777	010101010111	1367	1347 - 1386
10	1.727	010100110001	1329	1312 - 1346

ตารางที่ 4.3 มีวัดจากทรานส์ดิวเซอร์วัต้มกับ แมคเนติก โรเตอร์เรอโนโคลเดอร์ความละเอียด 1 องศา

ตารางที่ 4.3 นุ่มที่วัดจากทรานสดิวเซอร์วัตคุมกับ แมคเนติก โรเตอรีencoder โภคเดอร์ความละเอียด 1 องศา (ต่อ)

นุ่ม	ครั้งที่ 1	ครั้งที่ 2	ครั้งที่ 3	ครั้งที่ 4	ครั้งที่ 5	ครั้งที่ 6	ครั้งที่ 7	ครั้งที่ 8	ครั้งที่ 9	ครั้งที่ 10
4	4	4	4	4	4	4	4	4	4	4
5	5	5	5	5	5	5	5	5	5	5
6	6	6	6	6	6	6	6	6	6	6
7	7	7	7	7	7	7	7	7	7	7
8	8	8	8	8	8	8	8	8	8	8
9	9	9	9	9	9	9	9	9	9	9
10	10	10	10	10	10	10	10	10	10	10



ภาพที่ 4.8 นุ่มที่ได้จาก ทรานสดิวเซอร์วัตคุมเทียบกับ แมคเนติก โรเตอรีencoder โภคเดอร์ความละเอียด 1 องศา

จากการทดสอบและเก็บข้อมูลดังตารางที่ 4.3 นำนุ่มที่วัดได้จากทรานสดิวเซอร์วัตคุมมาหาว่ามีความสามารถในการซ้ำเดินมากน้อยเพียงใด ซึ่งหากค่าได้ดังสมการที่ 2.19

จากตารางตารางที่ 4.4 จะเห็นว่าที่ความละเอียด 1 องค์มีความเที่ยงตรงในการวัดเท่ากับ 1 ทั้งหมดแสดงว่ามีความเที่ยงตรงมาก มีความสามารถในการซ้ำเดิม

จากการตารางที่ 4.6 จะเห็นว่าที่ความละเอียด 0.1 องศาเมื่อห่วงของการกำหนดค่ามุนจากแรงดันอากาศพุทธของเชื้นเซอร์ที่ keen กว่าความละเอียด 0.1 องศาถึง 10 เท่า ทำให้ค่ามุนที่แปลผลได้เกิดความผิดพลาดขึ้นซึ่งจะเห็นได้จากค่ามุนที่วัดได้ดังตารางที่ 4.7 และค่าความผิดพลาดของมุนที่วัดได้โดยกรานสติวเซอร์วัคมูนสามารถแสดงได้ดังภาพที่ 4.9

ตารางที่ 4.4 ความเที่ยงตรงของมุมที่วัดโดยทราบสัดส่วนร่วมกับมุมที่ความละเอียด 1 องศา

ตารางที่ 4.5 ความผิดพลาดของมุมที่วัดโดยทرانสดิวเซอร์วัตมูน ที่ความละเอียด 1 องศา

ตารางที่ 4.5 ความผิดพลาดของมุนที่วัดโดยทราบสติวเซอร์วัตมุน ที่ความละเอียด 1 องศา (ต่อ)

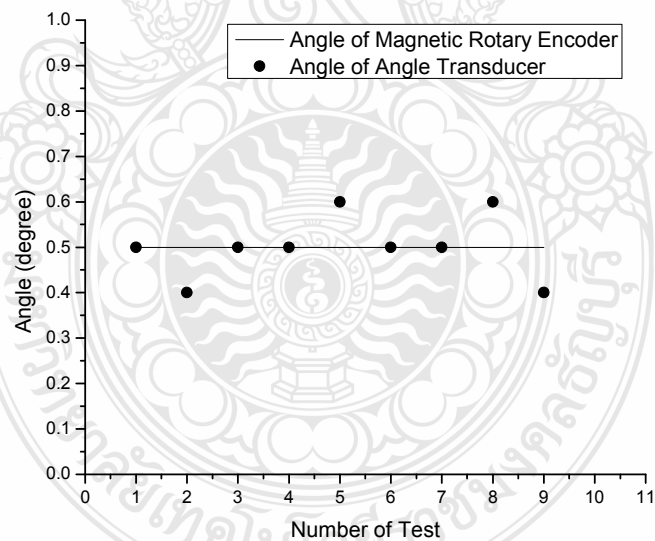
มุน	ครั้งที่ 1	ครั้งที่ 2	ครั้งที่ 3	ครั้งที่ 4	ครั้งที่ 5	ครั้งที่ 6	ครั้งที่ 7	ครั้งที่ 8	ครั้งที่ 9	ครั้งที่ 10
4	0	0	0	0	0	0	0	0	0	0
5	0	0	0	0	0	0	0	0	0	0
6	0	0	0	0	0	0	0	0	0	0
7	0	0	0	0	0	0	0	0	0	0
8	0	0	0	0	0	0	0	0	0	0
9	0	0	0	0	0	0	0	0	0	0
10	0	0	0	0	0	0	0	0	0	0

ตารางที่ 4.6 การกำหนดค่ามุนจากแรงดันเอาท์พุทที่วัดได้ที่ความละเอียด 0.1 องศา

มุน	แรงดันเอาท์พุทที่วัดได้	แปลงเป็นดิจิตอล	แปลงเป็นฐาน 10	ค่าที่กำหนด
0	2.215	011010100110	1704	1703 - 1705
0.1	2.213	011010100100	1702	1702-1701
0.2	2.210	011010100010	1700	1700-1699
0.3	2.206	011010011101	1697	1698 - 1696
0.4	2.202	011010011010	1694	1695 – 1692
0.5	2.196	011010011001	1689	1691 – 1688
0.6	2.190	011010010101	1685	1687 – 1683
0.7	2.184	011010010000	1680	1682 – 1678
0.8	2.178	011010001011	1675	1677 -1674
0.9	2.172	011010000111	1671	1673 – 1669
1	2.166	011010000010	1666	1668 - 1663

ตารางที่ 4.7 มุมที่วัดโดยทรานส์ดิวเซอร์วัตมุม ที่ความละเอียด 0.1 องศา

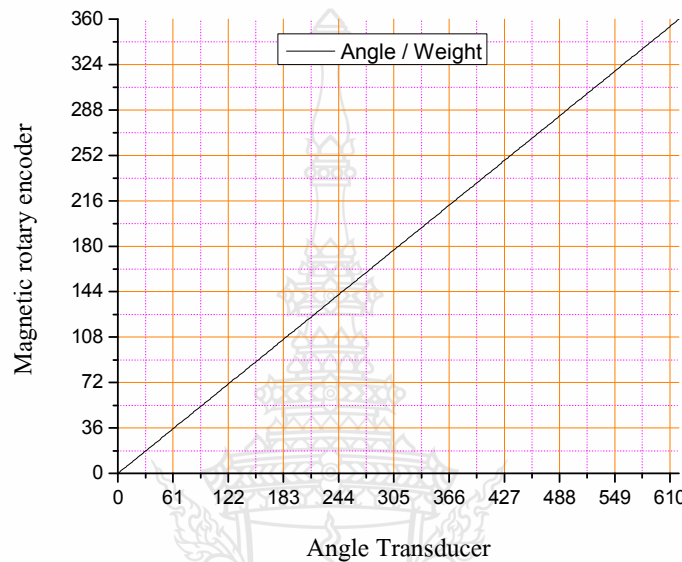
มุม	ครั้งที่ 1	ครั้งที่ 2	ครั้งที่ 3	ครั้งที่ 4	ครั้งที่ 5	ครั้งที่ 6	ครั้งที่ 7	ครั้งที่ 8	ครั้งที่ 9	ครั้งที่ 10
0	0	0	0	0	0.1	0	0	0.1	0	0
0.1	0.1	0	0.1	0.1	0.2	0	0.1	0.2	0	0.1
0.2	0.1	0.2	0.2	0.2	0.3	0.2	0.2	0.3	0.1	0.2
0.3	0.3	0.2	0.3	0.2	0.4	0.3	0.3	0.4	0.2	0.3
0.4	0.4	0.3	0.4	0.3	0.5	0.4	0.4	0.5	0.3	0.4
0.5	0.5	0.4	0.5	0.5	0.6	0.5	0.5	0.6	0.4	0.5
0.6	0.5	0.6	0.6	0.6	0.7	0.6	0.6	0.7	0.5	0.6
0.7	0.7	0.6	0.7	0.7	0.8	0.7	0.7	0.8	0.6	0.7
0.8	0.7	0.7	0.8	0.7	0.9	0.8	0.8	0.9	0.7	0.8
0.9	0.9	0.8	0.9	0.9	1	0.9	0.9	1	0.8	0.9
1	1	0.9	1	1	1.1	1	1	1.1	0.9	1



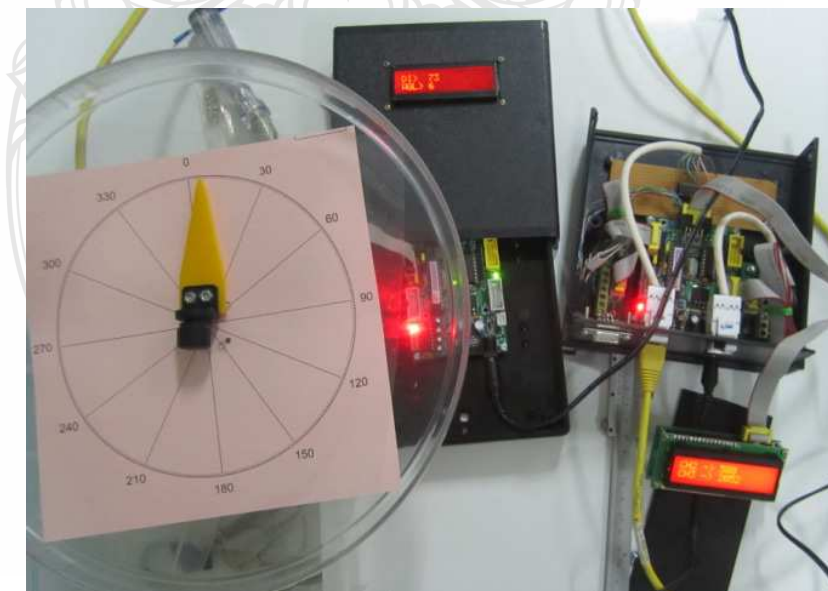
ภาพที่ 4.9 ค่าความผิดพลาดของมุมที่วัดได้โดยทรานส์ดิวเซอร์วัตมุม ที่ความละเอียด 0.1 องศา ที่มุม 0.5 องศา

4.2 การทดสอบชุดวัดมุมสำหรับเครื่องขั้งน้ำหนักแบบสปริงแสดงผลแบบดิจิตอล

จากโปรแกรมแปลผลในหัวข้อ 3.2 นำมาทดสอบการแปลผลมุมกับ แมคเนติกโรตารีอ่อน โคงเดอร์ได้ผลการแปลค่าน้ำหนักดังภาพที่ 4.11



ภาพที่ 4.10 แปลผลจากมุม 360 องศา เป็นน้ำหนัก 60 กิโลกรัม



ภาพที่ 4.11 ชุดทรายนสดิวเซอร์วัตมูน โดยใช้ชอล์เอฟเฟกต์เช็นเชอร์และตัวแสดงผล

ในภาพที่ 4.11 นำทรายสดิวเซอร์วัตมูนโดยใช้ออลล์อฟเฟกต์เซ็นเซอร์ที่ทำการออกแบบมาประยุกต์ใช้ในการแปลงตาชั่งแบบสปริงให้สามารถแสดงผลแบบดิจิตอล จากการทดสอบไม่สามารถนำทรายสดิวเซอร์วัตมูนที่ออกแบบมาประยุกต์กับเครื่องชั่งแบบสปริงได้เนื่องจาก ตำแหน่งในการติดตั้งแม่เหล็กคือเข็มตาชั่งซึ่งตาชั่งแบบสปริงเมื่อทำการชั่งเข็มจะเคลื่อนที่ตามกลไก และเกิดการสั่นทำให้ระยะห่างระหว่างแม่เหล็กกับออลล์อฟเฟกต์เซ็นเซอร์และรัศมีการเคลื่อนที่เกิดการเปลี่ยนแปลงตลอดเวลาไม่สามารถวัดผลการตอบสนองที่แน่นอนได้

4.3 สรุปผลการทดสอบ

ผลจากการทดลองออกแบบทรายสดิวเซอร์วัตมูนโดยใช้ออลล์อฟเฟกต์เซ็นเซอร์ ขนาดกว้าง มิลลิเมตร ยาว 3 มิลลิเมตร เบอร์ 1A1302 ซึ่งมีคุณสมบัติของค่าสัมประสิทธิ์ความไวเท่ากับ 1.3 mV/G ใช้แม่เหล็ก ขนาดกว้าง 4 มิลลิเมตร ยาว 5.5 มิลลิเมตร โครงสร้างที่รัศมีการวางเซ็นเซอร์ห่างจากจุดศูนย์กลาง 3 มิลลิเมตร จำนวน 5 ตัววางทำมุมกัน 72 องศา ใช้ไมโครคอนโทรลเลอร์ 12 บิต ในการประมวลผล สามารถวัดมูนแบบหมุนรอบแกนได้ตั้งแต่ 0-360 องศา ที่ความละเอียด 1 องศา มีค่าผิดพลาด ± 0.2 องศา เกิดจากแรงดันอากาศพุตออลล์อฟเฟกต์เซ็นเซอร์ที่ตรวจขึ้นได้ มีค่าความผิดพลาดเฉลี่ยประมาณ ± 0.002 โวลต์ และที่ความละเอียด 0.1 องศา มีค่าผิดพลาด ± 0.5 องศา เกิดจากค่าความผิดพลาดของวงจรแปลงสัญญาณอนาล็อกเป็นดิจิตอล

นำทรายสดิวเซอร์วัตมูนโดยใช้ออลล์อฟเฟกต์เซ็นเซอร์ที่ทำการออกแบบมาประยุกต์ใช้ในการแปลงตาชั่งแบบสปริงให้สามารถแสดงผลแบบดิจิตอล จากการทดสอบไม่สามารถนำทรายสดิวเซอร์วัตมูนที่ออกแบบมาประยุกต์กับเครื่องชั่งแบบสปริงได้เนื่องจากตำแหน่งในการติดตั้งแม่เหล็กคือเข็มตาชั่งซึ่งตาชั่งแบบสปริงเมื่อทำการชั่งเข็มจะเคลื่อนที่ตามกลไก และเกิดการสั่นทำให้ระยะห่างระหว่างแม่เหล็กกับออลล์อฟเฟกต์เซ็นเซอร์และรัศมีการเคลื่อนที่เกิดการเปลี่ยนแปลงตลอดเวลาไม่สามารถวัดผลการตอบสนองที่แน่นอนได้

บทที่ 5

สรุปผลการวิจัย

ในบทนี้จะทำการสรุปผลการวิจัยในหัวข้อเรื่อง “การออกแบบทรานส์ดิวเซอร์วัตคัมมูโดยใช้ชอล์กอฟเฟกต์เช็นเชอร์” เพื่อให้ได้โครงสร้างที่เหมาะสมสามารถวัดคัมมูแบบรอบแกน 360 องศา และราคาถูกตามที่ได้ทำการศึกษา และออกแบบในบทที่ 3 และทดสอบคุณสมบัติของทรานส์ดิวเซอร์ วัตคัมมูโดยใช้ชอล์กอฟเฟกต์เช็นเชอร์ที่ทำการออกแบบ ดังที่กล่าวไว้แล้วในบทที่ 4 เพื่อสรุปผลพารามิเตอร์ที่มีผลต่อการออกแบบ ผลการทดสอบ เพื่อเป็นแนวทางในการพัฒนาต่อไป

5.1 สรุป

จากการศึกษา และออกแบบทรานส์ดิวเซอร์วัตคัมมูโดยใช้ชอล์กอฟเฟกต์เช็นเชอร์ มีปัจจัยที่ส่งผลต่อการเปลี่ยนแปลงสนามแม่เหล็กที่ชอล์กอฟเฟกต์เช็นเชอร์จะสามารถตรวจจับได้ ที่ทำการศึกษาดังนี้ปัจจัยแรกการเปลี่ยนแปลงตามพื้นที่ที่แม่เหล็กเคลื่อนที่ซ้อนชอล์กอฟเฟกต์เช็นเชอร์ ตั้งแต่มุม 0 จนถึง 360 องศา ปัจจัยที่สองเกิดจากระยะห่างระหว่างแม่เหล็กกับชอล์กอฟเฟกต์เช็นเชอร์ และปัจจัยที่สามเกิดจากสนามแม่เหล็กไม่ตั้งฉากกับ พื้นที่หรือตัวกับชอล์กอฟเฟกต์เช็นเชอร์ในการออกแบบจำเป็นจะต้องทราบค่าความเบลี่ยนแปลงทั้งหมดตามที่กล่าวมา

ผลจากการทดลองออกแบบทรานส์ดิวเซอร์วัตคัมมูโดยใช้ชอล์กอฟเฟกต์เช็นเชอร์ ขนาดกว้าง 4 มิลลิเมตร ยาว 3 มิลลิเมตร เบอร์ 1A1302 ซึ่งมีคุณสมบัติของค่าสัมประสิทธิ์ความไวเท่ากับ 1.3 mV/G ใช้แม่เหล็ก ขนาดกว้าง 4 มิลลิเมตร ยาว 5.5 มิลลิเมตร โครงสร้างที่รักษาไว้ระหว่างชิ้นเซ็นเซอร์ ห่างจากจุดศูนย์กลาง 3 มิลลิเมตร จำนวน 5 ตัววางทำมุมกัน 72 องศา ใช้ไมโครคอนโทรลเลอร์ 12 บิต ในการประมวลผล สามารถวัดคัมมูแบบหมุนรอบแกนได้ตั้งแต่ 0-360 องศา ที่ความละเอียด 1 องศา มีค่าผิดพลาด ± 0.2 องศา เกิดจากแรงดันເວາຕີພຸດຂອດລົກ້ອນທີ່ຕ່າງໆ ที่ความละเอียด 1 องศา มีค่าความคลาดเคลื่อนเฉลี่ยประมาณ ± 0.002 โวลท์ และที่ความละเอียด 0.1 องศา มีค่าผิดพลาด ± 0.5 องศา เกิดจากค่าความคลาดเคลื่อนของวงจรแปลงสัญญาณอนาลอกเป็นดิจิตอล

นำทรานส์ดิวเซอร์วัตคัมมูโดยใช้ชอล์กอฟเฟกต์เช็นเชอร์ที่ทำการออกแบบมาประยุกต์ใช้ในการแปลงตาชั่งแบบสปริงให้สามารถแสดงผลแบบดิจิตอล จากการทดสอบ ไม่สามารถนำทรานส์ดิวเซอร์วัตคัมมูที่ออกแบบมาประยุกต์กับเครื่องชั่งแบบสปริงได้เนื่องจาก ตำแหน่งในการติดตั้งแม่เหล็กคือเงินตาชั่งชั่งแบบสปริงเมื่อทำการชั่งเงินจะเคลื่อนที่ตามกลไก และเกิดการสั่นทำให้

ระยะห่างระหว่างแม่เหล็กกับหอลล์อฟเฟกต์เซ็นเซอร์ และรัศมีการเคลื่อนที่เกิดการเปลี่ยนแปลงตลอดเวลาไม่สามารถวัดผลการตอบสนองที่แน่นอนได้

วิทยานิพนธ์นี้จะเป็นข้อมูลพื้นฐานที่จะนำไปช่วยในการศึกษาวิจัย และพัฒนาTRANSDUCTOR วัดความโดยใช้หอลล์อฟเฟกต์เซ็นเซอร์ ที่สามารถวัดความที่ความละเอียดสูงมากยิ่งขึ้น และสามารถวัดได้มากกว่าระบบระนาบ 2 มิติหรือ ระบบ x, y เพื่อเป็นแนวทางในการนำไปประยุกต์ใช้กับงานที่ต้องการต่อไป

5.2 ข้อเสนอแนะสำหรับการพัฒนา

TRANSDUCTOR วัดความโดยใช้หอลล์อฟเฟกต์เซ็นเซอร์ ในงานวิทยานิพนธ์ฉบับนี้สามารถวัดความได้ตั้งแต่ 0 – 360 องศา ความละเอียดสูงสุดที่วัดได้คือ 0.1 องศาแต่มีค่าความผิดพลาดสูงถึง 0.2 องศา แนวทางในการพัฒนา TRANSDUCTOR วัดความให้ดีขึ้น เช่น

5.2.1 เพิ่มความละเอียดสูงสุดที่วัดได้ โดยการเพิ่มจำนวนหอลล์อฟเฟกต์เซ็นเซอร์หรือเพิ่มจำนวนแม่เหล็ก

5.2.2 ลดค่าความผิดพลาด โดยนำฟังก์ชันทางคณิตศาสตร์ชั้นสูงเข้ามาช่วยในการคำนวณหาค่ามุม

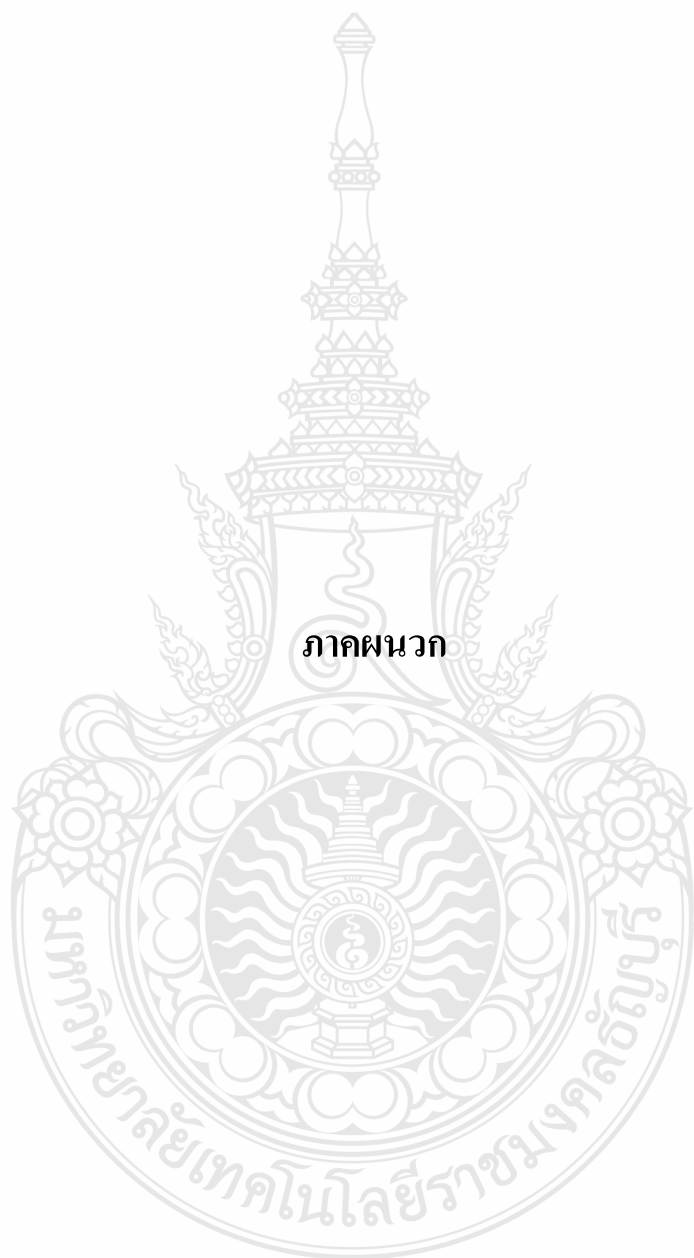
5.2.3 เพิ่มระนาบในการวัดเป็น 3 มิติหรือ ระบบ x, y, z โดยการเพิ่มเซ็นเซอร์เพื่อวัดความแตกต่างมุมในแกน z

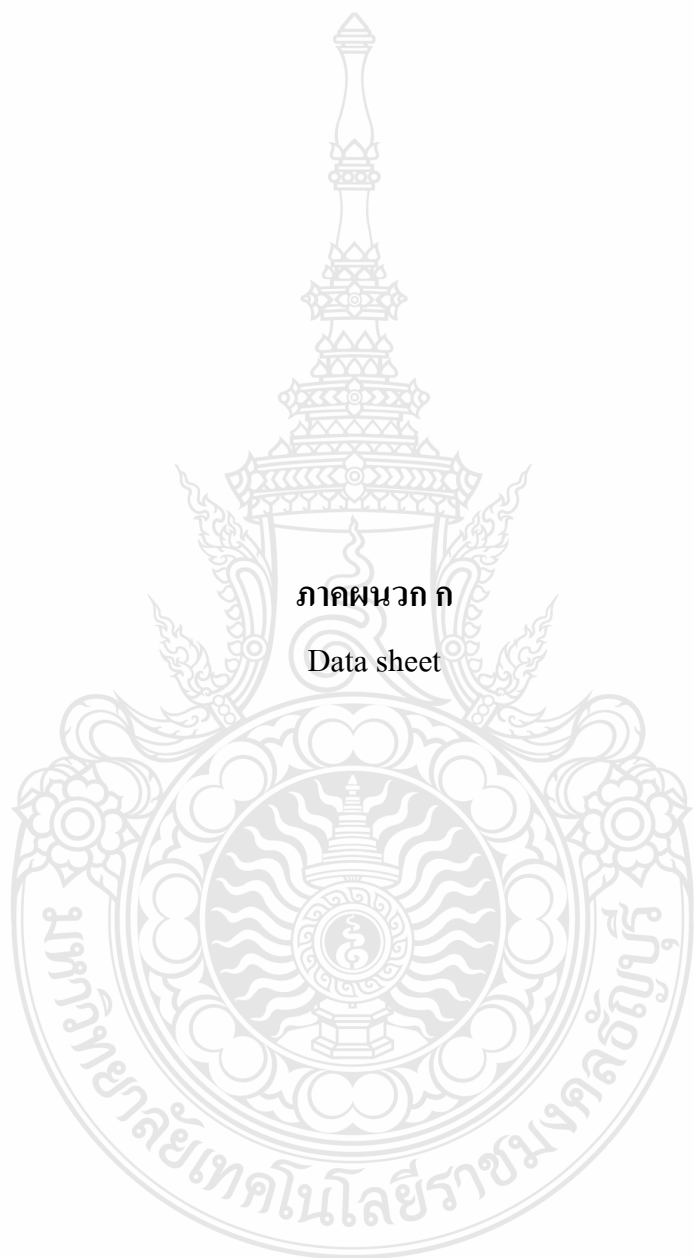
สุดท้ายนี้ผู้เขียนหวังว่า ข้อมูลที่ได้จากการออกแบบ TRANSDUCTOR วัดความโดยใช้หอลล์อฟเฟกต์เซ็นเซอร์ ในวิทยานิพนธ์ฉบับนี้ จะเป็นข้อมูลพื้นฐานที่จะนำไปช่วยในการศึกษาวิจัย และพัฒนา TRANSDUCTOR วัดความเพื่อเป็นแนวทางในการนำไปประยุกต์ใช้กับงานที่ต้องการต่อไป

รายการอ้างอิง

- [1] ชัยวัฒน์ ลิ่มพรจิตรวีโภ, “คู่มือนักอิเล็กทรอนิกส์” กรุงเทพฯ: ซีเอ็ดยูเคชั่น, 2550. หน้า 144-145.
- [2] วิกรุต ศรีรัตนะ, “เซนเซอร์และทรานส์ดิวเตอร์ในงานอุตสาหกรรม”. กรุงเทพฯ: ซีเอ็ดยูเคชั่น, 2550. หน้า 137-150.
- [3] David S. Nyce, “**Linear Position Sensors Theory and Applications**”, USA, Wiley-Interscience. 2004
- [4] P. Kejik, S. Reymond, and R.S. Popovic, “**Circular Hall Transducer For Angular Position Sensing**”, Frnce, 2007
- [5] จรัส บุญยธรรม, “ฟิสิกส์ระดับมหาวิทยาลัยภาคคลาสตร์”. กรุงเทพฯ: ถุวิริยาสาส์น, 2543. หน้า 267-297.
- [6] มงคล ทองสังคม, “พื้นฐานทางอิเล็กทรอนิกส์ และไฟฟ้า 1”, กรุงเทพฯ: บริษัทการพิมพ์ จำกัด 2542. หน้า 135 -142.
- [7] David, S. N., “**Linear Position Sensors Theory and Applications**”. USA: Wiley-Interscience, 2004.
- [8] Joe G., “**Linear Hall-Effect Sensors**” (Online), 2002. Available: <http://www.allegromicro.com> (20 March 2010).
- [9] Honeywell, “**Hall Effect Sensing And Application**” (Online). Available: http://sensing.honeywell.com/index.php?ci_id=47847 (20 March 2010)
- [10] Ferrazzin D., et al., “**Hall Effect Sensor-Based Linear Transducer**”, International Workshop on Robot and Human Interaction (Electronic), 1999, pp. 219-224. Available: IEEE Organization / IEEE Xploer (20 March 2010).
- [11] สมศักดิ์ กิรติวุฒิเศรษฐี, “หลักการและการใช้งานเครื่องมือวัดอุตสาหกรรม”. พิมพ์ครั้งที่ 18. กรุงเทพฯ: สมาคมส่งเสริมเทคโนโลยี (ไทย-สู่ปุ่น), 2546. หน้า 17-1~17-8.
- [12] พิสมัย สุกบรรณท์, “การวัดและการทดสอบทางไฟฟ้า และ อิเล็กทรอนิกส์”, กรุงเทพฯ: ซีเอ็ดยูเคชั่น, 2543. หน้า 277-292.

- [13] នីរបុល័យ អតិថិជនទូទៅ, នរោតណល បុញ្ញលេខក្រាត និងខ្សែវតណ៍ គិមព្រមិទវិកា, “របៀបគាត់ដោយ គិចិច្ចា”, ភ្នំពេញ: ឯកសារអនុញ្ញាត អ៊ីកផែរិមែនត, ២៥៤៨. អនាន់ 7-38.
- [14] Steven C. C., Raymond P. C., “**Numerical Methods for Engineers**”. New Delhi: Tata McGraw-Hill Publishing Company Limited, 2006, pp. 447-505.
- [15] នະរោ នេតិមកតិន, នាទរាយ គុរិពិកកម្មសក្តុត, “ការអនុបោះពាណិជ្ជកម្មនៃវគ្គនៃការបង្ហាញការងារដោយឱ្យអនុលោះនៅក្នុងការងារ”, បំពុំមានី: EENET2008 ,2551.
- [16] R.S.Popovic, Z.Randjelovic, D.Manic Integrated, “**Hall - effect magnetic sensors**” Sensors and Actuators ELSEVIER 2001
- [17] Andreas H.Aberli, Michael Schneider, Piero Malcovati, Ruggero Castagnetti, Franco Maloberti, Henry Baltes , “**Two-Dimensional Magnetic Microsensor with On-Chip Signal Processing for Contactless Angle Measurement**” IEEE Journal of Solid-State Circuits, Vol. 31, No. 12, 1996.
- [18] A. Maberli,P. Malcovati, M. Schneider, R. Castagnetti,, H. Baltes “**Contactless Angle Measurement By C Magnetic Sensor With on Chip Read Out Circuit**” The 8th International Conference on Solid-state Sensors and Actuators, and Eurosensors IX. Stockholm, Sweden, 1995
- [19] P.M.Drljaca, M.Demierre, C.Schott, R.S.Popovic, “**Nonlinear Effects in Magnetic Angular Position Sensor with Integrated Flux Concentrator**”, 23rd International Conference on Microelectronic (MIEL 2002), Vol 1, YUGOSLAVIA, 2002





ภาคผนวก ก

Data sheet



A1301 and A1302

Continuous-Time Ratiometric Linear Hall Effect Sensors

Features and Benefits

- Low-noise output
- Fast power-on time
- Ratiometric rail-to-rail output
- 4.5 to 6.0 V operation
- Solid-state reliability
- Factory-programmed at end-of-line for optimum performance
- Robust ESD performance

Description

The A1301 and A1302 are continuous-time, ratiometric, linear Hall-effect sensors. They are optimized to accurately provide a voltage output that is proportional to an applied magnetic field. These devices have a quiescent output voltage that is 50% of the supply voltage. Two output sensitivity options are provided: 2.5 mV/G typical for the A1301, and 1.3 mV/G typical for the A1302.

The Hall-effect integrated circuit included in each device includes a Hall sensing element, a linear amplifier, and a CMOS Class A output structure. Integrating the Hall sensing element and the amplifier on a single chip minimizes many of the problems normally associated with low voltage level analog signals.

High precision in output levels is obtained by internal gain and offset trim adjustments made at end-of-line during the manufacturing process.

These features make the A1301 and A1302 ideal for use in position sensing systems, for both linear target motion and rotational target motion. They are well-suited for industrial applications over extended temperature ranges, from -40°C to 125°C.

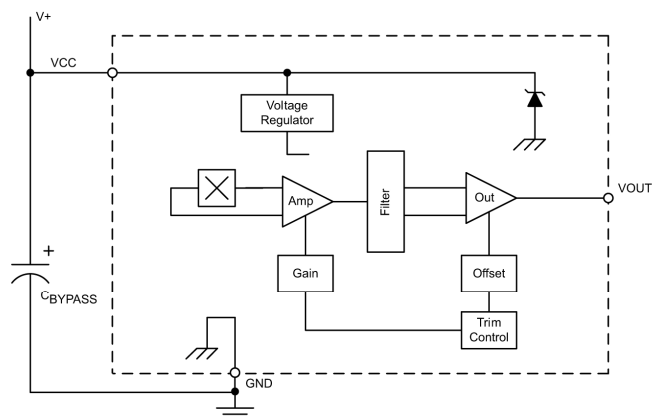
Two device package types are available: LH, a 3-pin SOT23W type for surface mount, and UA, a 3-pin ultramini SIP for through-hole mount. They are lead (Pb) free (suffix, -T) with 100% matte tin plated leadframes.

Packages: 3 pin SOT23W (suffix LH), and
3 pin SIP (suffix UA)



Not to scale

Functional Block Diagram



**A1301 and
A1302**
***Continuous-Time Ratiometric
Linear Hall Effect Sensors***
Selection Guide

Part Number	Pb-free ¹	Packing ²	Package	Ambient, T _A	Sensitivity (Typical)
A1301ELHLT-T	Yes	7-in. tape and reel, 3000 pieces/reel	Surface Mount	−40°C to 85°C	2.5 mV/G
A1301EUA-T	Yes	Bulk, 500 pieces/bag	SIP		
A1301KLHLT-T	Yes	7-in. tape and reel, 3000 pieces/reel	Surface Mount		
A1301KUA-T	Yes	Bulk, 500 pieces/bag	SIP		
A1302ELHLT-T	Yes	7-in. tape and reel, 3000 pieces/reel	Surface Mount	−40°C to 85°C	1.3 mV/G
A1302EUA-T	Yes	Bulk, 500 pieces/bag	SIP		
A1302KLHLT-T	Yes	7-in. tape and reel, 3000 pieces/reel	Surface Mount		
A1302KUA-T	Yes	Bulk, 500 pieces/bag	SIP		

¹Pb-based variants are being phased out of the product line. Certain variants cited in this footnote are no longer in production. The variants should not be purchased for new design applications. Samples are no longer available. Status change: May 1, 2006. These variants include: A1301ELHLT, A1301EUA, A1301KLHLT, A1301KUA, A1302ELHLT, A1302EUA, A1302KLHLT, and A1302KUA.

²Contact Allegro for additional packing options.


Absolute Maximum Ratings

Characteristic	Symbol	Notes	Rating	Units
Supply Voltage	V _{CC}		8	V
Output Voltage	V _{OUT}		8	V
Reverse Supply Voltage	V _{RCC}		−0.1	V
Reverse Supply Voltage	V _{RCC}		−0.1	V
Output Sink Current	I _{OUT}		10	mA
Operating Ambient Temperature	T _A	Range E	−40 to 85	°C
		Range K	−40 to 125	°C
Maximum Junction Temperature	T _{J(max)}		165	°C
Storage Temperature	T _{stg}		−65 to 170	°C



Allegro MicroSystems, Inc.
115 Northeast Cutoff, Box 15036
Worcester, Massachusetts 01615-0036 (508) 853-5000
www.allegromicro.com

**A1301 and
A1302**
***Continuous-Time Ratiometric
Linear Hall Effect Sensors***

DEVICE CHARACTERISTICS over operating temperature range, T_A , and $V_{CC} = 5$ V, unless otherwise noted

Characteristic	Symbol	Test Conditions	Min.	Typ.	Max.	Units
Electrical Characteristics						
Supply Voltage	V_{CC}	Running, $T_J < 165^\circ\text{C}$	4.5	—	6	V
Supply Current	I_{CC}	Output open	—	—	11	mA
Output Voltage	$V_{OUT(\text{High})}$	$I_{SOURCE} = -1$ mA, Sens = nominal	4.65	4.7	—	V
	$V_{OUT(\text{Low})}$	$I_{SINK} = 1$ mA, Sens = nominal	—	0.2	0.25	V
Output Bandwidth	BW		—	20	—	kHz
Power-On Time	t_{PO}	$V_{CC(\text{min})}$ to 0.95 V_{OUT} ; $B = \pm 1400$ G; Slew rate = 4.5 V/ μ s to 4.5 V/100 ns	—	3	5	μ s
Output Resistance	R_{OUT}	$I_{SINK} \leq 1$ mA, $I_{SOURCE} \geq -1$ mA	—	2	5	Ω
Wide Band Output Noise, rms	V_{OUTN}	External output low pass filter ≤ 10 kHz; Sens = nominal	—	150	—	μ V
Ratiometry						
Quiescent Output Voltage Error with respect to ΔV_{CC} ¹	$\Delta V_{OUTQ(V)}$	$T_A = 25^\circ\text{C}$	—	—	± 3.0	%
Magnetic Sensitivity Error with respect to ΔV_{CC} ²	$\Delta \text{Sens}(V)$	$T_A = 25^\circ\text{C}$	—	—	± 3.0	%
Output						
Linearity	Lin	$T_A = 25^\circ\text{C}$	—	—	± 2.5	%
Symmetry	Sym	$T_A = 25^\circ\text{C}$	—	—	± 3.0	%
Magnetic Characteristics						
Quiescent Output Voltage	V_{OUTQ}	$B = 0$ G; $T_A = 25^\circ\text{C}$	2.4	2.5	2.6	V
Quiescent Output Voltage over Operating Temperature Range	$V_{OUTQ(\Delta T_A)}$	$B = 0$ G	2.2	—	2.8	V
Magnetic Sensitivity	Sens	A1301; $T_A = 25^\circ\text{C}$	2.0	2.5	3.0	mV/G
		A1302; $T_A = 25^\circ\text{C}$	1.0	1.3	1.6	mV/G
Magnetic Sensitivity over Operating Temperature Range	Sens(ΔT_A)	A1301	1.8	—	3.2	mV/G
		A1302	0.85	—	1.75	mV/G

¹Refer to equation (4) in Ratiometric section on page 4.

²Refer to equation (5) in Ratiometric section on page 4.



A1301 and A1302

Continuous-Time Ratiometric Linear Hall Effect Sensors

Characteristic Definitions

Quiescent Output Voltage. In the quiescent state (no significant magnetic field: $B = 0$), the output, V_{OUTQ} , equals one half of the supply voltage, V_{CC} , throughout the entire operating ranges of V_{CC} and ambient temperature, T_A . Due to internal component tolerances and thermal considerations, there is a tolerance on the quiescent output voltage, ΔV_{OUTQ} , which is a function of both ΔV_{CC} and ΔT_A . For purposes of specification, the quiescent output voltage as a function of temperature, $\Delta V_{OUTQ(\Delta T_A)}$, is defined as:

$$\Delta V_{OUTQ(\Delta T_A)} = \frac{V_{OUTQ(T_A)} - V_{OUTQ(25^\circ C)}}{Sens_{(25^\circ C)}} \quad (1)$$

where $Sens$ is in mV/G, and the result is the device equivalent accuracy, in gauss (G), applicable over the entire operating temperature range.

Sensitivity. The presence of a south-polarity (+B) magnetic field, perpendicular to the branded face of the device package, increases the output voltage, V_{OUT} , in proportion to the magnetic field applied, from V_{OUTQ} toward the V_{CC} rail. Conversely, the application of a north polarity (-B) magnetic field, in the same orientation, proportionally decreases the output voltage from its quiescent value. This proportionality is specified as the magnetic sensitivity of the device and is defined as:

$$Sens = \frac{V_{OUT(-B)} - V_{OUT(+B)}}{2B} \quad (2)$$

The stability of the device magnetic sensitivity as a function of ambient temperature, $\Delta Sens_{(\Delta T_A)}$ (%) is defined as:

$$\Delta Sens_{(\Delta T_A)} = \frac{Sens_{(T_A)} - Sens_{(25^\circ C)}}{Sens_{(25^\circ C)}} \times 100\% \quad (3)$$

Ratiometric. The A1301 and A1302 feature a ratiometric output. This means that the quiescent voltage output, V_{OUTQ} , and the magnetic sensitivity, $Sens$, are proportional to the supply voltage, V_{CC} .

The ratiometric change (%) in the quiescent voltage output is defined as:

$$\Delta V_{OUTQ(\Delta V)} = \frac{V_{OUTQ(V_{CC})} / V_{OUTQ(5V)}}{V_{CC} / 5V} \times 100\% \quad (4)$$

and the ratiometric change (%) in sensitivity is defined as:

$$\Delta Sens_{(\Delta V)} = \frac{Sens(V_{CC}) / Sens(5V)}{V_{CC} / 5V} \times 100\% \quad (5)$$

Linearity and Symmetry. The on-chip output stage is designed to provide linear output at a supply voltage of 5 V. Although the application of very high magnetic fields does not damage these devices, it does force their output into a nonlinear region. Linearity in percent is measured and defined as:

$$Lin^+ = \frac{V_{OUT(+B)} - V_{OUTQ}}{2(V_{OUT(+B)} - V_{OUTQ})} \times 100\% \quad (6)$$

$$Lin^- = \frac{V_{OUT(-B)} - V_{OUTQ}}{2(V_{OUT(-B)} - V_{OUTQ})} \times 100\% \quad (7)$$

and output symmetry as:

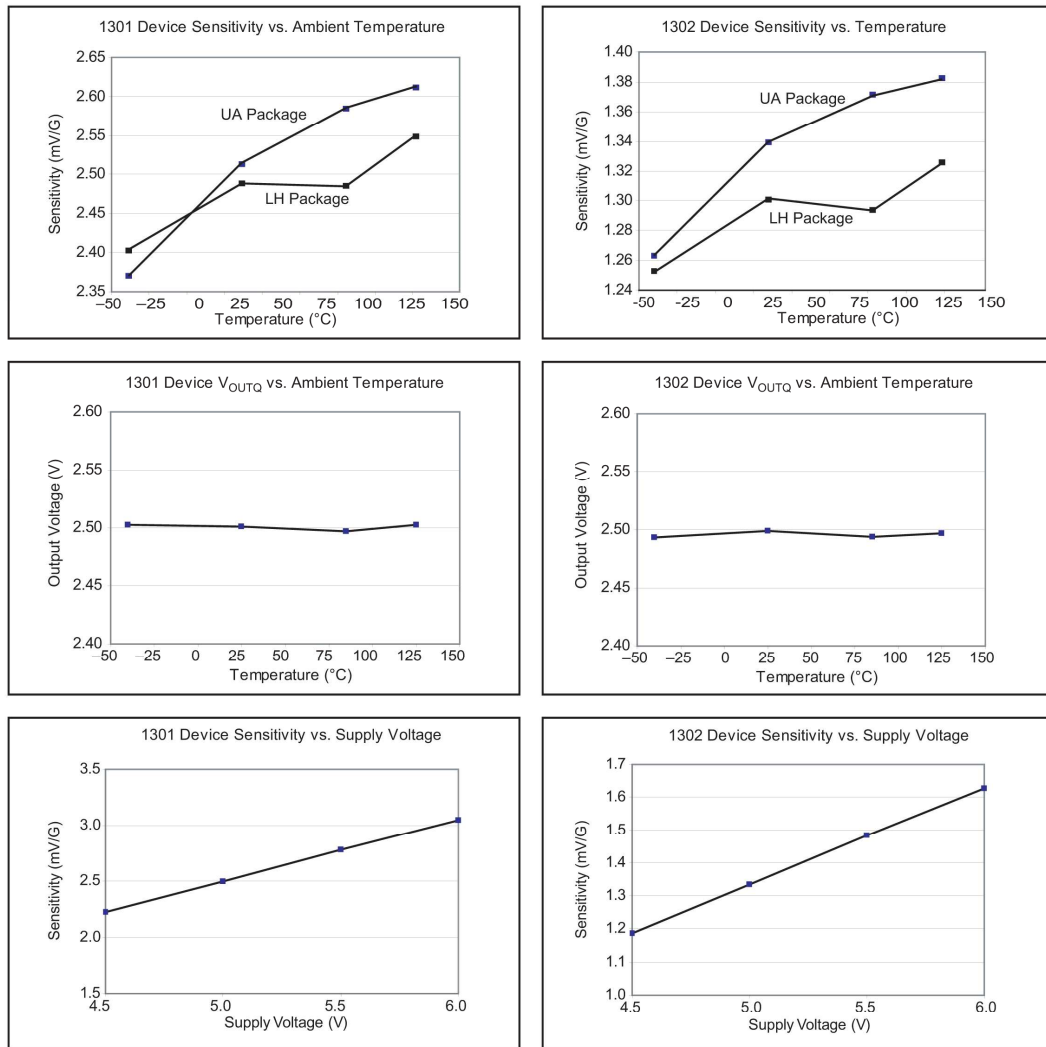
$$Sym = -\frac{V_{OUT(+B)} - V_{OUTQ}}{V_{OUTQ} - V_{OUT(-B)}} \times 100\% \quad (8)$$



Allegro MicroSystems, Inc.
115 Northeast Cutoff, Box 15036
Worcester, Massachusetts 01615-0036 (508) 853-5000
www.allegromicro.com

**A1301 and
A1302**
***Continuous-Time Ratiometric
Linear Hall Effect Sensors***

Typical Characteristics
(30 pieces, 3 fabrication lots)



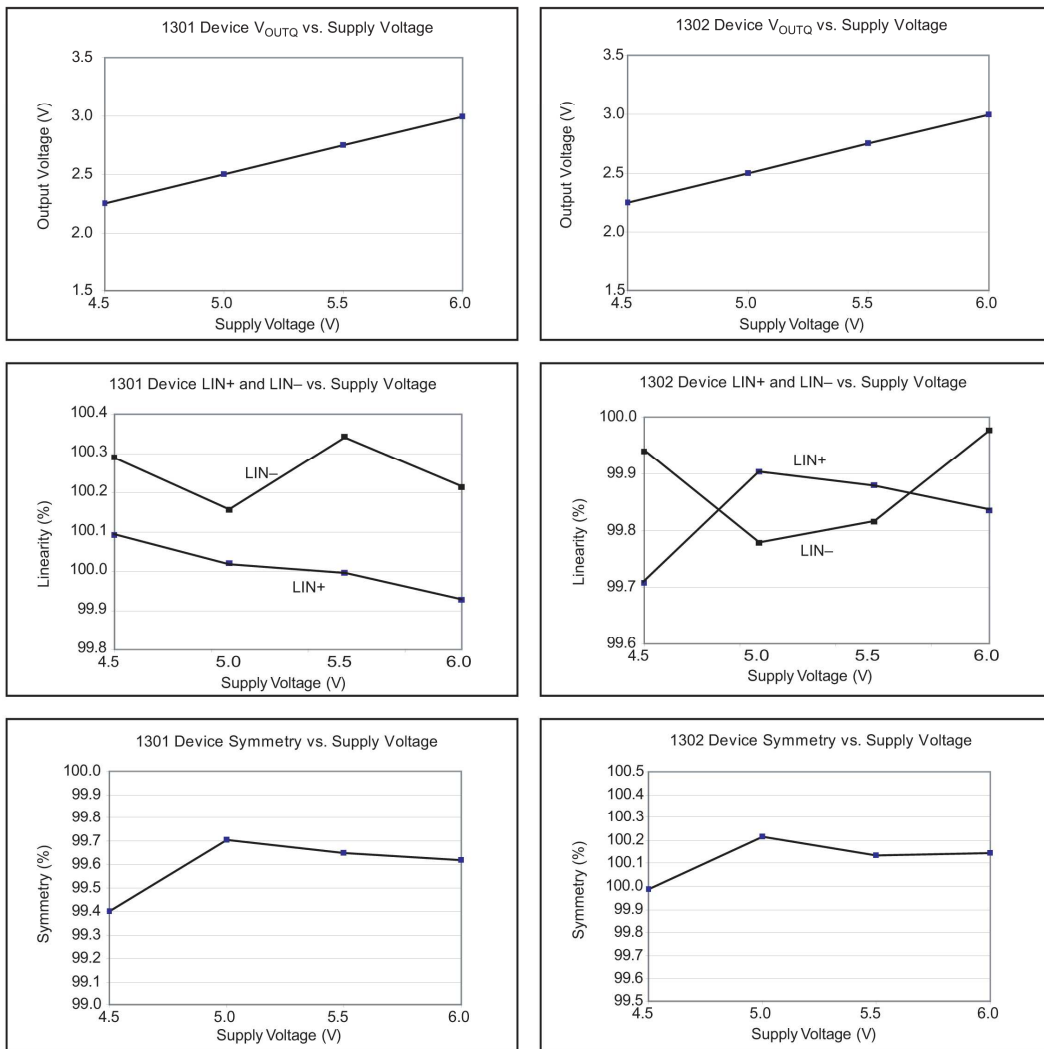
Continued on the next page...



Allegro MicroSystems, Inc.
115 Northeast Cutoff, Box 15036
Worcester, Massachusetts 01615-0036 (508) 853-5000
www.allegromicro.com

**A1301 and
A1302**
***Continuous-Time Ratiometric
Linear Hall Effect Sensors***

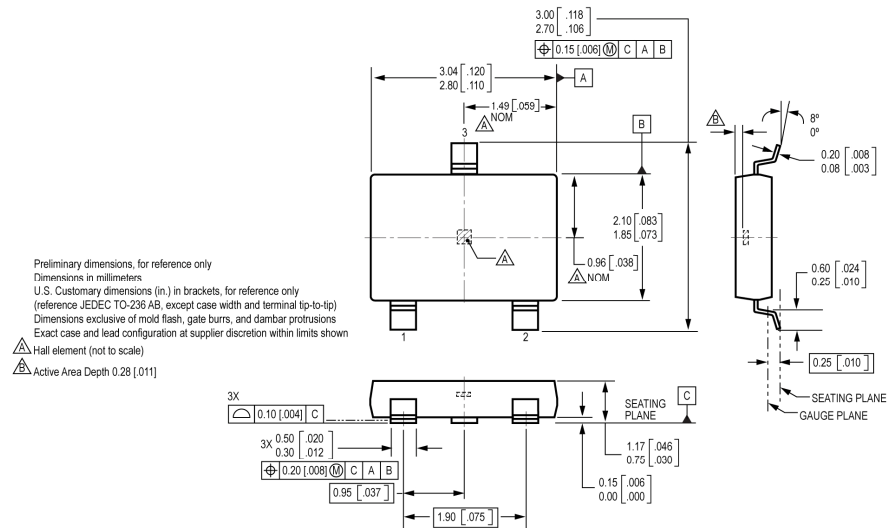
Typical Characteristics, continued
(30 pieces, 3 fabrication lots)



Allegro MicroSystems, Inc.
115 Northeast Cutoff, Box 15036
Worcester, Massachusetts 01615-0036 (508) 853-5000
www.allegromicro.com

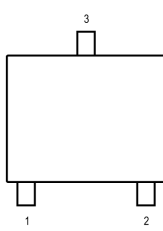
**A1301 and
A1302**
***Continuous-Time Ratiometric
Linear Hall Effect Sensors***

Package LH, 3-Pin; (SOT-23W)

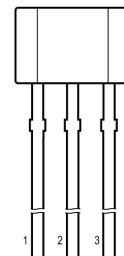


Pin-out Drawings

Package LH



Package UA

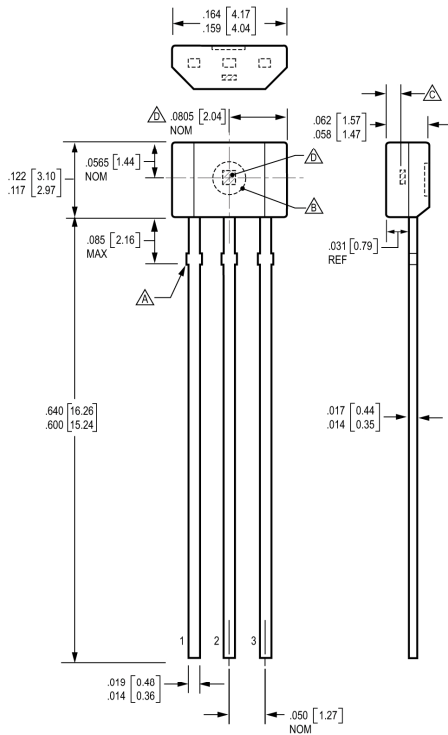


Terminal List

Symbol	Number		Description
	Package LH	Package UA	
VCC	1	1	Connects power supply to chip
VOUT	2	3	Output from circuit
GND	3	2	Ground



Allegro MicroSystems, Inc.
115 Northeast Cutoff, Box 15036
Worcester, Massachusetts 01615-0036 (508) 853-5000
www.allegromicro.com

**A1301 and
A1302**
***Continuous-Time Ratiometric
Linear Hall Effect Sensors***
Package UA, 3-Pin SIP


Dimensions in inches
Metric dimensions (mm) in brackets, for reference only

- ▲ Dambar removal profusion (6X)
- ▲ Ejector mark on opposite side
- ▲ Active Area Depth .0195 [0.50] NOM
- ▲ Hall element (not to scale)

The products described herein are manufactured under one or more of the following U.S. patents: 5,045,920; 5,264,783; 5,442,283; 5,389,889; 5,581,179; 5,517,112; 5,619,137; 5,621,319; 5,650,719; 5,686,894; 5,694,038; 5,729,130; 5,917,320; and other patents pending.

Allegro MicroSystems, Inc. reserves the right to make, from time to time, such departures from the detail specifications as may be required to permit improvements in the performance, reliability, or manufacturability of its products. Before placing an order, the user is cautioned to verify that the information being relied upon is current.

Allegro products are not authorized for use as critical components in life-support devices or systems without express written approval.

The information included herein is believed to be accurate and reliable. However, Allegro MicroSystems, Inc. assumes no responsibility for its use; nor for any infringement of patents or other rights of third parties which may result from its use.

Copyright © 2005, 2006 Allegro MicroSystems, Inc.

Allegro MicroSystems, Inc.
115 Northeast Cutoff, Box 15036
Worcester, Massachusetts 01615-0036 (508) 853-5000
www.allegromicro.com



AEAT-6010/6012 Magnetic Encoder

10 or 12 bit Angular Detection Device

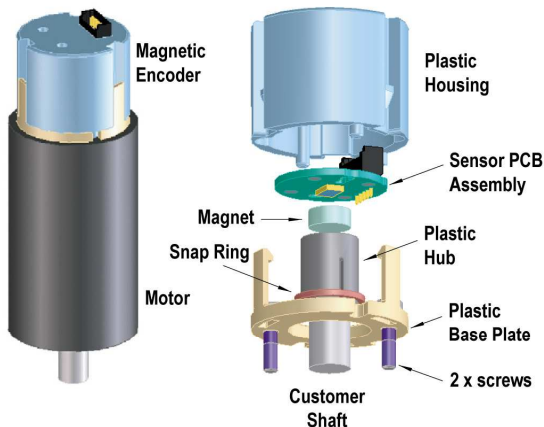


Data Sheet

Description

Avago Technologies' AEAT-60xx series of magnetic encoders provides an integrated solution for angular detection. With ease of use in mind, these magnetic encoders are ideal for angular detection within 360°. Based on magnetic technologies, the device is non-contact and ensures reliable operations. It is able to provide absolute angle detection upon power-up, with a resolution of 0.0879°(12 bits version) or 0.35°(10bits version), which is equivalent to 4096 and 1024 positions per revolution respectively. The positional data is provided in serial bit stream. There is no upper speed limit; the only restriction is that there will be fewer samples per revolution as the speed increases.

Exploded View



Features

- 10 or 12 bits resolution
- Contactless sensing technologies
- Wide temperature range from -40° to 125°C
- Absolute angular position detection
- Synchronous serial interface (SSI) output for absolute position data (binary format)
- Code monotony error = ± 1 LSB
- Single 5V supply
- Easy Assembly, No Signal Adjustment required
- Direct Connectivity through PCB
- RoHS compliant

Applications

- Flow meter
- Angular detection
- Knob control
- Rotary encoder

Note: "This product is not specifically designed or manufactured for use in any specific device. Customers are solely responsible for determining the suitability of this product for its intended application and solely liable for all loss, damage, expense or liability in connection with such use."

Device Selection Guide [1]

Part Number	Resolution (bit)	Operating Temperature (°C)	Output Communication	DC Supply Voltage (V), V _{DD}
AEAT-6012	12	-40 to +125	Serial	+5.0
AEAT-6010	10	-40 to +125	Serial	+5.0

Notes:

- For other options of Magnetic Encoder, please refer to factory.

Table 1. Absolute Maximum Ratings [1, 2]

Parameter	Symbol	Limits	Units	Notes
DC Supply Voltage at pin V _{DD} = 5V	V _{DD}	-0.3 to +7	V	
Input Voltage	V _i	-0.3 to V _{DD} +0.3	V	
Storage Temperature	T _{STG}	-40 to 125	°C	

Notes:

- Stresses greater than those listed under Absolute Maximum Ratings may cause permanent damage to the device. This is stress rating only and functional operation of the device at these or any other conditions above those indicated in the operational sections of this specification is not implied.
- Exposure to absolute maximum rating conditions for extended periods may affect reliability.

Table 2. Recommended Operating Condition

Parameter	Symbol	Values	Units	Notes
DC Supply Voltage at pin V _{DD} = 5V	V _{DD}	+4.5 / +5.5	V	
Ambient Temperature	T _{amb}	-40 to +125	°C	
Maximum Read-out Frequency	f _{CLK}	≤1	MHz	>0 MHz

Table 3. DC Characteristics

DC Characteristics over Recommended Operating Range, typical at 25 °C

Parameter	Symbol	Condition	Values			Units	Notes
			Min	Typ.	Max		
VDD Supply Current	I _{DD}			16	20	mA	
Output High Voltage D0	V _{OH}		V _{DD} -0.5			V	
Output Low Voltage D0	V _{OL}				V _{SS} +0.4	V	
Output Current D0	I _O				4	mA	V _{DD} pin = 4.5V
Input High Voltage CLK, CSn	V _{IH}		0.7*V _{DD}				1
Input Low Voltage CLK, CSn	V _{IL}				0.3*V _{DD}		

Notes:

- CSn is internal pull-up.

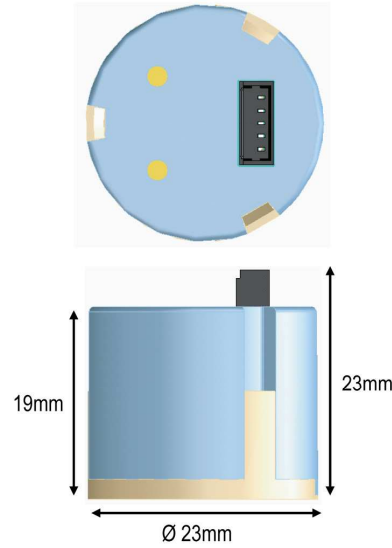
Table 4. Timing Characteristics

Timing Characteristics over Recommended Operating Range, typical at 25 °C

Parameter	Symbol	Condition	Values				Notes
			Min	Typ.	Max	Units	
Data output activated (logic high)	T _{D0} active				100	ns	2
First data shifted to output register	t _{CLK FE}		500			ns	3
Start of data output	T _{CLK/2}		500			ns	4
Data output valid	T _{D0} valid				375	ns	5
Data output tristate	T _{D0} tristate				100	ns	6
Pulse width of CSn	T _{CSn}		500			ns	7
Sampling rate for absolute output	f _{abs}		9.9	10.42	10.94	kHz	8

Notes:

2. Time between falling edge of CSn and data output activated
3. Time between falling edge of CSn and first falling edge of CLK
4. Rising edge of CLK shifts out one bit a time
5. Time between rising edge of CLK and data output valid
6. After the last bit DO changes back to "tristate"
7. CSn=high; To initiate read-out of next angular position
8. Internal sampling rate.

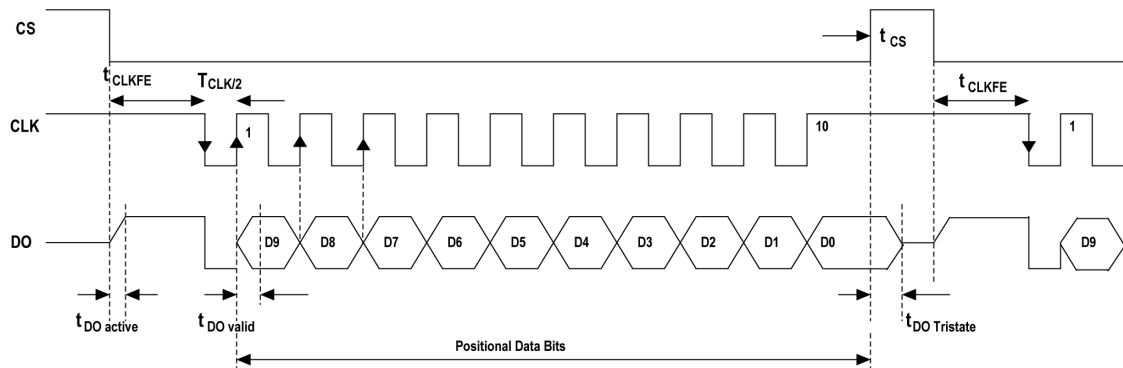
Package Dimensions**Parameters**

No.	Parameter	Value
1	Operating Temp(°C)	-40 to +125
2	Shaft axial play (mm)	± 0.08
3	Shaft TIR (mm)	0.05
4	Mechanical speed (rpm)	12,000
5	Shaft diameter (mm)	6 + 0 / -0.01
6	Moment inertia (g-cm^2)	0.104
7	Shaft length – (mm)	8.5 ± 1.0
8	Mounting screw size (mm)	M2 x 0.4 x 4 (socket head cap screw, head Ø3.8 ± 0.18 mm)
9	Recommended screw torque	0.6 lb.inch
10	Encoder base plate thickness (mm)	2
11	Bolt circle	± 0.13

* Note:- For high temperature application, it is highly recommended that adhesive be applied at least to the screw and the base plate interface. Refer Application Note for further details.

Figure 1. Package and recommended mounting dimension

Timing Characteristics



Notes:

1. Please refer to Table 4 for Timing Characteristics.
2. For 12 bits version; the Positional Data Bits will start with D11 instead and end at D0.

Figure 2. Timing Diagram for 10 bit Magnetic Encoder

Electrical Connections

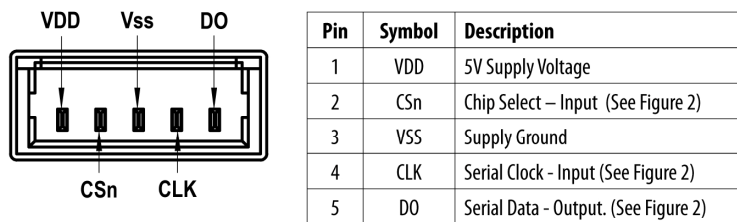


Figure 3. Electrical Connections

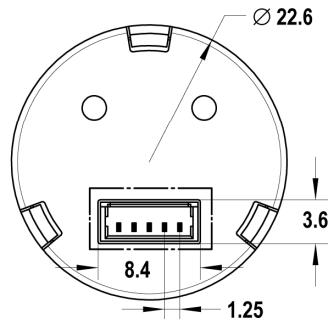


Figure 4. Basic connector dimensions

For product information and a complete list of distributors, please go to our web site: www.avagotech.com

Avago, Avago Technologies, and the A logo are trademarks of Avago Technologies, Limited in the United States and other countries.
Data subject to change. Copyright © 2007 Avago Technologies Limited. All rights reserved.
AV02-0188EN - March 20, 2007

AVAGO
TECHNOLOGIES

ภาคผนวก ข
ผลงานตีพิมพ์เผยแพร่

- [1] สรยัน พุญพาครี, นัตรชัย ศุภพิทักษ์สกุล. “ออกแบบทราบสติวเชอร์ร์ดมูมโดยใช้ออลเออีฟเฟคท์ เช็นเนชอร์”, การประชุมวิชาการเครือข่ายวิศวกรรมไฟฟ้า มหาวิทยาลัยเทคโนโลยีราชมงคล ครั้งที่ 4 (EENET 2012), โรงแรมแกรนพาราไดส์, จังหวัดหนองคาย, 3 - 5 เมษายน, 2555, หน้า 68-71.
- [2] สรยัน พุญพาครี, นัตรชัย ศุภพิทักษ์สกุล. “การออกแบบทราบสติวเชอร์ร์ดมูมโดยใช้ออลเออีฟเฟคท์เช็นเนชอร์”, การประชุมวิชาการ งานวิจัย และพัฒนาเชิงประยุกต์ ครั้งที่ 4 (ECTI-CARD 2012), หอประชุมใหญ่ มหาวิทยาลัยเทคโนโลยีราชมงคลธัญบุรี, จังหวัด, 20 -22 มิถุนายน, 2555

Electrical Engineering Network 2012

of Rajamangala University of Technology (EENET 2012)



CONFERENCE TOPICS

GROUP 1 (PE)

Power Electronics, Electric Machines, Motor Control and Drive, Measurement, Control and Robotics.

GROUP 2 (PW)

Power System, Transmission and Distribution, High Voltage and Electrical Energy, Generating Systems.

GROUP 3 (RE)

Renewable Energy, Energy Saving Technologies, Industry Specific Energy Conversion and Conditioning Technologies, Materials for Energy and Environment.

GROUP 4 (TE)

Telecommunication, Electronics, Information and Communication Technologies, Antennas, Microwave Theory and Techniques.

GROUP 5 (CP)

Computer Technologies and Network, Computer Graphics, Machine Learning and Human-Computer Interaction.

GROUP 6 (GN)

Education in Electrical Engineering, Simulation Software and Design tools, Related Topics in Electrical Engineering.



EENET 2012

GRAND PARADISE HOTEL

Nong Khai, THAILAND

April 3-5, 2012

การประชุมวิชาการเครือข่ายวิศวกรรมไฟฟ้า มหาวิทยาลัยเทคโนโลยีราชมงคล ครั้งที่ 4 วันที่ 3-5 เมษายน 2555

**รายชื่อผู้พิจารณาบทความการประชุมเครือข่ายวิชาการวิศวกรรมไฟฟ้า
มหาวิทยาลัยเทคโนโลยีราชมงคล ครั้งที่ 4**

รศ. ดร.วีระเชษฐ์ ขันเงิน

รศ. ดร.วิจิตร กิมเรศ

รศ. ดร.มนตรี ศิริปรัชญาณนันท์

รศ. ดร.เวกิน ปิยะรัตน์

รศ. ดร.เดชา พวงศ์ดาวเรือง

รศ. ดร.วิญญุติชัย เช่นเจอก

รศ. ดร. เสถีร ชัยณรงค์รัตน์

ผศ. ดร.แรมบวนัญ หุ่นเจริญ

ผศ. ดร.อภินันท์ อุร โสดาณ

ผศ. ดร.วรวัฒน์ เดเจิมวิญญาณ

ผศ. ดร.อาทิตย์ ไสตรโภym

ผศ. ดร.เพ็ชร เพ่าละออ

ผศ. ดร.กองพล อริรักษ์

ดร.ยุทธนา ข้าสุวรรณ์

ดร.นิวัติร วงศิริยราษฎร์

รศ.ดร.โภคล โอพาราไฟโรจน์

ดร.อุเทน คำน่าน

นายณรงค์ นันทกุศล

ผศ.กฤญาดา ยิ่งยัน

นายเอกหักษณ์ พุฒวรรณ

ดร.จัตตุฤทธิ์ ทองป戎น

ผศ.ชาญชัย เดชธรรมรงค์

ดร.จักรกฤษณ์ เคลื่อบวัง

นายสมนึก เกรียงสอน

นายทัศนะ ฒนทอง

นายณรงค์ฤทธิ์ พิมพ์คำวงศ์

ผศ.อภิศักดิ์ ขันแก้วหล้า

มหาวิทยาลัยเทคโนโลยีราชมงคลล้านนาภาคพายัพ เชียงใหม่

การประชุมวิชาการเครือข่ายวิชากรรมไฟฟ้า มหาวิทยาลัยเทคโนโลยีราชมงคล ครั้งที่ 4 วันที่ 3-5 เมษายน 2555

น.รัชดา รักไทยจริญชีพ
นายนิติพันธ์ คุณประเสริฐ
นายชนาตันต์ ตันมณีประเสริฐ
นายศุภวุฒิ เนตร โพธิ์แก้ว
นายทรง ล้านธารทอง
นายสมเกียรติ ทองแก้ว
พศ.พิชัย ควรพงษ์
นายมนัส บุญเที่ยรทอง
นายพนา ดุสิตigar
พศ.กิตา ลักษณ์อ่อนวายการ
พศ.โภศด พิชิโสภา
พศ.จรินทร์ จุลวนิช
นายนิคมิต นิลภาค
นายเกรียงไกร เหลืองอ่ำพล
นายณพพันธ์ วัยญาณ
นายณัฐรุ่งวินทร์ ทองรักษ์
พศ.ศรีศักดิ์ น้อยไร่ภูมิ
พศ.คร.ประมุข อุณหเหล็ก
นางสาวพัชรนันท์ ศรีนาอุทัย
พศ.สราษฎร์ ทองกุลวังวร
พศ.瓦鲁ณี ศรีสังเคราะ
ดร.ยุทธนา กันทะพะเยา
พศ.เนกเคลมพล เรืองพัฒนาวิวัฒนา
พศ.กระจั่ง พิทักษ์วงศ์วิทยา
ดร.ศรีสุดา ไชยทองสุก
รศ.นภัทร วจันเทพินทร์
รศ.สมพันธ์ คำวัน
ดร.ชุวงศ์ วัฒนศักดิ์ภูบาล
พศ.วิสุทธิ์ พงศ์พฤกษ์ชาตุ
ดร.ศรียา แก้วอาษา

การประชุมวิชาการเครือข่ายวิศวกรรมไฟฟ้า มหาวิทยาลัยเทคโนโลยีราชมงคล ครั้งที่ 4 วันที่ 3-5 เมษายน 2555

ดร.นิติ ใจจันทร์ พรสุวรรณเจริญ	มหาวิทยาลัยเทคโนโลยีราชมงคลอีสาน วิทยาเขตสกลนคร
ดร.เมธा ทักษร	มหาวิทยาลัยเทคโนโลยีราชมงคลอีสาน วิทยาเขตสกลนคร
ดร.นำพน พิพัฒน์ปัญญา	มหาวิทยาลัยเทคโนโลยีราชมงคลอีสาน วิทยาเขตสกลนคร
พศ.วิชัย คงองกิจศรี	มหาวิทยาลัยเทคโนโลยีราชมงคลอีสาน วิทยาเขตสกลนคร
นายเอกวิทย์ หายกวางย์	มหาวิทยาลัยเทคโนโลยีราชมงคลอีสาน วิทยาเขตสกลนคร
นายวีระชัย ร้านยาภิรักษ์	มหาวิทยาลัยเทคโนโลยีราชมงคลอีสาน วิทยาเขตสกลนคร
นายรัก สกุลพงษ์	มหาวิทยาลัยเทคโนโลยีราชมงคลอีสาน วิทยาเขตสกลนคร
นายนกรณรงค์ ศรีปัญญา	มหาวิทยาลัยเทคโนโลยีราชมงคลอีสาน วิทยาเขตสกลนคร
นายกฤตยา สมสัย	มหาวิทยาลัยเทคโนโลยีราชมงคลอีสาน วิทยาเขตสกลนคร
นายจงเจริญ คุ้มบุญ	มหาวิทยาลัยเทคโนโลยีราชมงคลอีสาน วิทยาเขตสกลนคร
นายกฤษณา บุญมีเวศย์	มหาวิทยาลัยเทคโนโลยีราชมงคลอีสาน วิทยาเขตสกลนคร
นายจีระพงษ์ ศรีวิชัย	มหาวิทยาลัยเทคโนโลยีราชมงคลอีสาน วิทยาเขตสกลนคร
นายวีระชัย ธรรมรัมย์	มหาวิทยาลัยเทคโนโลยีราชมงคลอีสาน วิทยาเขตสกลนคร
นายปฏิวัติ บุญมา	มหาวิทยาลัยเทคโนโลยีราชมงคลอีสาน วิทยาเขตสกลนคร
นายเฉลียว เกตุแก้ว	มหาวิทยาลัยเทคโนโลยีราชมงคลอีสาน วิทยาเขตสกลนคร
พศ.ดร.ปรีชา สาครวงศ์	มหาวิทยาลัยเทคโนโลยีราชมงคลอีสาน วิทยาเขตสกลนคร
ดร.ภัคติพันธุ์ จันทร์ตระ	มหาวิทยาลัยเทคโนโลยีราชมงคลอีสาน วิทยาเขตสกลนคร
นายไพบูลย์ เกียรติสุขคณธร	มหาวิทยาลัยเทคโนโลยีราชมงคลอีสาน วิทยาเขตสกลนคร
รศ.พันธ์ พิริยะวรรธน์	มหาวิทยาลัยเทคโนโลยีราชมงคลอีสาน วิทยาเขตสกลนคร
พศ.ประวิช เบรียงเหมือน	มหาวิทยาลัยเทคโนโลยีราชมงคลอีสาน วิทยาเขตสกลนคร
พศ.ดร.สักดิ์ธารี ระวีกุล	มหาวิทยาลัยเทคโนโลยีราชมงคลอีสาน วิทยาเขตสกลนคร
พศ.ประยงค์ เสาร์แก้ว	มหาวิทยาลัยเทคโนโลยีราชมงคลอีสาน วิทยาเขตสกลนคร
พศ.จักรวัฒน์ บุตรบุญชู	มหาวิทยาลัยเทคโนโลยีราชมงคลอีสาน วิทยาเขตสกลนคร
ดร.สุรัช ตันดี	มหาวิทยาลัยเทคโนโลยีราชมงคลอีสาน วิทยาเขตสกลนคร
ดร.ณรงค์ สีหาง่อ	มหาวิทยาลัยเทคโนโลยีราชมงคลอีสาน วิทยาเขตสกลนคร
พศ.ดร.สมชาย หิรัญวิรocom	มหาวิทยาลัยเทคโนโลยีราชมงคลอีสาน วิทยาเขตสกลนคร
พศ.ดร.วันชัย ทรงพยัลสินธ์	มหาวิทยาลัยเทคโนโลยีราชมงคลอีสาน วิทยาเขตสกลนคร
พศ.วิชัย พดุงศิลป์	มหาวิทยาลัยเทคโนโลยีราชมงคลอีสาน วิทยาเขตสกลนคร
พศ.ศิริชัย แดงเอม	มหาวิทยาลัยเทคโนโลยีราชมงคลอีสาน วิทยาเขตสกลนคร
พศ.ณัฐรุ่ง โสมะเกียติวนทร์	มหาวิทยาลัยเทคโนโลยีราชมงคลอีสาน วิทยาเขตสกลนคร

การประชุมวิชาการเครือข่ายวิศวกรรมไฟฟ้า มหาวิทยาลัยเทคโนโลยีราชมงคล ครั้งที่ 4 วันที่ 3-5 เมษายน 2555

ดร.นัตรชัย	ศุภพิทักษ์สกุล	มหาวิทยาลัยเทคโนโลยีราชมงคลชัญบูรี
ดร.บุญยัง	ปลั่งกลาง	มหาวิทยาลัยเทคโนโลยีราชมงคลชัญบูรี
ดร.สุรินทร์	แห่งมงาน	มหาวิทยาลัยเทคโนโลยีราชมงคลชัญบูรี
ดร.กฤษณ์ชนม์	ภูมิกิตติพชรัญ	มหาวิทยาลัยเทคโนโลยีราชมงคลชัญบูรี
ดร.ณัฐภัทร	พันธ์คง	มหาวิทยาลัยเทคโนโลยีราชมงคลชัญบูรี
นายพินิจ	จิตธรรม	มหาวิทยาลัยเทคโนโลยีราชมงคลชัญบูรี
นายสมชาย	เบี้ยนสูงเนิน	มหาวิทยาลัยเทคโนโลยีราชมงคลชัญบูรี
นายพร้อมศักดิ์อภิรัติกุล		มหาวิทยาลัยเทคโนโลยีราชมงคลชัญบูรี
นายนิติพงษ์	ปานกลาง	มหาวิทยาลัยเทคโนโลยีราชมงคลชัญบูรี
นายธีระพล	เหมือนขาว	มหาวิทยาลัยเทคโนโลยีราชมงคลชัญบูรี
นายณัฐพล	หาอยปะ	มหาวิทยาลัยเทคโนโลยีราชมงคลชัญบูรี
ผศ.จินตนา	นาคสุวรรณ	มหาวิทยาลัยเทคโนโลยีราชมงคลชัญบูรี
ผศ.ปราชาญ	คำบัง	มหาวิทยาลัยเทคโนโลยีราชมงคลชัญบูรี
ดร.จักรี	ศรีนันท์นัตร	มหาวิทยาลัยเทคโนโลยีราชมงคลชัญบูรี
ดร.อํานวย	เรืองอํานวย	มหาวิทยาลัยเทคโนโลยีราชมงคลชัญบูรี
ดร.ไพบูลย์	รักเหลือ	มหาวิทยาลัยเทคโนโลยีราชมงคลชัญบูรี
นายวิโรจน์	พิรajanenชัย	มหาวิทยาลัยเทคโนโลยีราชมงคลชัญบูรี
นายพงษ์ศักดิ์	อําภา	มหาวิทยาลัยเทคโนโลยีราชมงคลชัญบูรี
นายบุญยิ่ง	นวนอน	มหาวิทยาลัยเทคโนโลยีราชมงคลชัญบูรี
นายอภิรดา	นามแสง	มหาวิทยาลัยเทคโนโลยีราชมงคลชัญบูรี
ดร.สุกันัน	พรอน奴รักษ์	มหาวิทยาลัยเทคโนโลยีราชมงคลชัญบูรี
ดร.วินัย	วิชัยพาณิชย์	มหาวิทยาลัยเทคโนโลยีราชมงคลชัญบูรี
ดร.กิตติวัฒน์	นิมเกิดผล	มหาวิทยาลัยเทคโนโลยีราชมงคลชัญบูรี
ผศ.อิฐารัตน์	ปิติมล	มหาวิทยาลัยเทคโนโลยีราชมงคลชัญบูรี
นายณัชติพงษ์	อุทอง	มหาวิทยาลัยเทคโนโลยีราชมงคลชัญบูรี

การประชุมวิชาการเครือข่ายวิชากรรมไฟฟ้า มหาวิทยาลัยเทคโนโลยีราชมงคล ครั้งที่ 4 วันที่ 3-5 เมษายน 2555

ออกแบบทรายสติวเซอร์วัตมูนโดยใช้อลเอ็ฟเฟคท์เซ็นเซอร์

Angle Transducer Designing Using Hall Effect Sensing Device.

สรยุณ บุญทาครุ¹ พัตรชัย ศุภพิทักษ์สกุล¹

¹ภาควิชาวิชาการมอเล็กทรอนิกส์ และโทรคมนาคม คณะวิชาการมาสเตอร์ มหาวิทยาลัยเทคโนโลยีราชมงคลล้านนา

คลอง 6 อ.ชุมแสง ปทุมธานี 12110 โทร.02-549-3420

E-Mail: son_boon@hotmail.co.th and

บทคัดย่อ

บทความนี้นำเสนอการออกแบบทรายสติวเซอร์วัตมูน(Angle transducer)แบบหมุนรอบแกน 360 องศา โดยใช้อลเอ็ฟเฟคท์เซ็นเซอร์(Hall effect sensor)ซึ่งมีรากศักรอบสนองเร็วและเป็นเชิงเส้น ใช้หลักการตรวจจับความหนาแน่นของเส้นแรงแม่เหล็ก ทรายสติวเซอร์ที่ออกแบบ ประกอบด้วยแกนซีดเมเนลลิกถาวรที่สามารถเคลื่อนที่รอบแกนหมุน 360 องศาและอะลเอ็ฟเฟคท์เซ็นเซอร์ที่ติดตั้งอยู่ที่ท้ายแกน ที่ตรวจจับความหนาแน่นของเส้นแรงแม่เหล็กตามพื้นที่ทางการเคลื่อนที่ของแกนหมุน สามารถวัดมุมได้ตั้งแต่ 0 – 360 องศา ความละเอียด 0.1 องศา ที่ความผิดพลาดสูงสุด 0.13 องศา

คำสำคัญ: ทรายสติวเซอร์วัตมูน, อลเอ็ฟเฟคท์เซ็นเซอร์

Abstract

This paper presents the design of angle transducer rotate around the axis 360 degrees using hall effects sensing device to recognize. That is low-cost and provides a linear output and quick response. The principle of measurement is used to detect the density of magnetic field of angle rotate around the axis 360 degrees. Translation Dew's design consists Permanent magnet that can move the spindle rotation axis 360 degrees and hall effect sensor mounted in place. Serves to detect the density of magnetic. Can measure the angle from 0-360 degrees, 0.1 degrees of resolution, the highest 0.13 degree of error.

Keywords: Angle transducer, Hall Effect Sensor.

1. บทนำ

ปัจจุบันระบบอุตสาหกรรมได้พัฒนาไปสู่ระบบควบคุมด้วยมิติ การทำงานของเครื่องจักรกลถูกรับรู้กระบวนการการทำงานผ่านตัวตรวจสอบ ไม่ว่าจะเป็นการเคลื่อนที่ในแนวราบ หรือการเคลื่อนที่แบบหมุนรอบแกน การเคลื่อนที่ไปยังตำแหน่งที่ถูกต้อง จำเป็นจะต้องมี

ตัวตรวจสอบที่แม่นยำ ซึ่งตัวตรวจสอบมีความละเอียดมาก การควบคุมที่จะมีความถูกต้องแม่นยำมากขึ้นด้วย ตัวตรวจสอบนี้ได้ถูกพัฒนาขึ้นโดยใช้หลักการต่างๆ ตามนี้

1. กระบวนการทางแสง[1] [2] ข้อดีคือมีความถูกต้องแม่นยำ และความไวสูง อาจก่อให้เกิดข้อบกพร่อง ไม่สามารถใช้งานได้หากมีความไม่สงบ

2. กระบวนการเปลี่ยนค่าความด้านทาง[2] [3] ข้อดีคือมีความถูกต้องแม่นยำ ง่ายต่อการนำไปใช้ ข้อเสีย ไม่สามารถเสียดทานที่เกิดขึ้นจากหน้าสัมผัส การตอบสนองช้า การเคลื่อนที่แบบฉับพลันอาจทำให้เกิดความล่าช้าได้ ไม่ต้องการให้ตัวอัคคีที่ 0 – 270 องศา

3. กระบวนการเปลี่ยนค่าความจุไฟฟ้า[2] [3] ข้อดีคือการเปลี่ยนแปลงค่าความจุไฟฟ้าเพื่อกำเนิดความถี่ที่เป็นสัดส่วนกับการเคลื่อนที่ ข้อเสีย และมีความเสียดทานที่เกิดขึ้นจากหน้าสัมผัส การตอบสนองช้า บุ่มที่ดี ให้ตัวอัคคีที่ 0 – 270 องศา

4. กระบวนการออลเอ็ฟเฟคท์[2][4][5] ข้อดีคือการเปลี่ยนแปลงค่าความหนาแน่นที่เป็นสัดส่วนกับบุ่มที่เปลี่ยนไปราคากลตอบสนองเร็วและเป็นเชิงเส้น การติดตั้งง่ายไม่จำเป็นต้องขัดแกนหมุนติดกับตัวเซนเซอร์โดยตรง และไม่มีความเสียดทานที่เกิดขึ้นจากหน้าสัมผัส จำกัด ให้ปรับนี้ที่ให้ถูกน้ำไปใช้ในระบบควบคุมต่างๆ มากมาย

บทความนี้จึงนำเสนอหลักการของออลเอ็ฟเฟคท์เซ็นเซอร์วัตมูน ทรายสติวเซอร์สำหรับวัตมูน 360 องศา เพื่อเพิ่มความละเอียดในการวัดโดยการเปลี่ยนแปลงความเข้มของสนามแม่เหล็ก สำหรับที่ต้องมี

2. ทฤษฎีและการออกแบบ

งานวิจัยนี้นำเสนอการออกแบบทรายสติวเซอร์วัตมูนโดยใช้การตรวจจับความหนาแน่นของเส้นแรงแม่เหล็กมาออกแบบทรายสติวเซอร์วัตมูนแบบหมุนรอบแกน 360 องศา มีทฤษฎีและกระบวนการออกแบบดังนี้

2.1 ออลเอ็ฟเฟคท์

ออลเอ็ฟเฟคท์[6] ใช้ในการตรวจจับความเข้มของสนามแม่เหล็ก ซึ่งอัตราปรกติการผันผวนของออลเอ็ฟเฟคท์ที่ให้เกิดความต่างสักครึ่งหนึ่งที่เปลี่ยนแปลงตามความเข้มของสนามแม่เหล็ก ถ้ามีเข้ามายังนีโอเจ้า ให้ตัวความต่างหักยังเพิ่มขึ้นทางด้านลบ (-) แต่ถ้ามีเข้ามายังไก่สักครึ่งหนึ่ง

การประชุมวิชาการเครือข่ายวิศวกรรมไฟฟ้า มหาวิทยาลัยเทคโนโลยีราชมงคล ครั้งที่ 4 วันที่ 3-5 เมษายน 2555

ความต่างศักย์จะเพิ่มขึ้นทางด้านบวก (+) ความต่างศักย์ที่ปีกเลื่อนไปมีความสัมพันธ์กับความซึ้งของสนามแม่เหล็กหรือความหนาแน่นพลังแม่เหล็กดังนี้

$$B = (VB - VO)K_1 \quad (1)$$

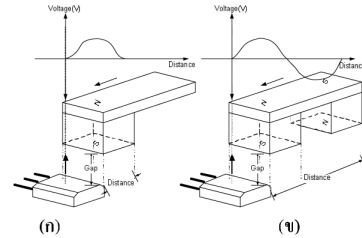
โดยที่ VO คือ ความต่างศักย์ขณะไม่มีสนามแม่เหล็ก

VB คือ ความต่างศักย์ขณะมีสนามแม่เหล็ก

K_1 คือ สมบัสนิพธ์ความไว มีหน่วยเป็นโวลต์ต่อเทณทษา (V/T)

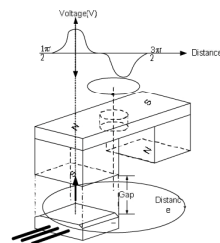
B คือ ความซึ้งของสนามแม่เหล็กหรือความหนาแน่น พลังแม่เหล็ก มีหน่วยเป็นพาสกา (T)

การใช้คลื่นไฟฟ้าสำหรับการตรวจสอบตำแหน่งหรือการเคลื่อนที่แบบเคลื่อนที่ผ่าน (*Slide-by*) ทั้งแบบแม่เหล็ก ข้ามด้วย (*Unipolar*) และ ข้ามๆ (*Bipolar*) ดังรูปที่ 1

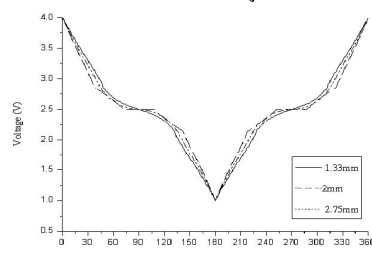


รูปที่ 1 การใช้คลื่นไฟฟ้าสำหรับการตรวจสอบตำแหน่ง (a) เคลื่อนที่ผ่านแม่เหล็กข้ามด้วย (b) เคลื่อนที่ผ่านแม่เหล็กข้ามๆ

ทดลองเคลื่อนที่แบบหมุนรอบแกน โดยมีรัศมีต่างกันซึ่งกราฟแสดงความสัมพันธ์ ระหว่างแรงดัน กับมุมดังรูปที่ 3 โดยใช้คลื่นไฟฟ้าแบบ A 1302 [7]



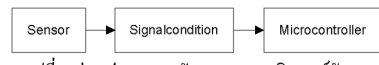
รูปที่ 2 การทดลองเคลื่อนที่ผ่านแม่เหล็กข้ามๆแบบเคลื่อนที่รอบจุดหมุน



รูปที่ 3 กราฟแสดงค่าความสัมพันธ์ระหว่างมุมกับแรงดันที่วัดได้ ที่รัศมี 1.3 มิลลิเมตร รัศมี 2 มิลลิเมตร และรัศมี 2.75 มิลลิเมตร

2.2 การออกแบบ

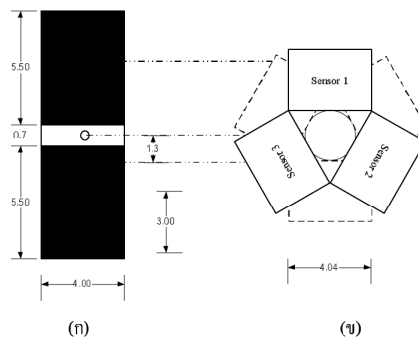
ส่วนประกอบหลักของทรายสติวเซอร์วัตช์มีประกอบไปด้วย 3 ส่วนหลักดังนี้



รูปที่ 4 ส่วนประกอบหลักของทรายสติวเซอร์วัตช์

2.2.1 โครงสร้าง

จากการทดลองดังรูปที่ 3 กราฟแสดงค่าความสัมพันธ์ ระหว่างมุมกับแรงดันที่วัด ระบุเห็นว่ารัศมี 1.3 มิลลิเมตรซึ่งเป็นรัศมีที่เล็กที่สุดที่สามารถตรวจจับได้ มีความเป็นเชิงเส้นมากที่สุดจึงนำมาประกอบภายนอกในโครงสร้างดังรูปที่ 5

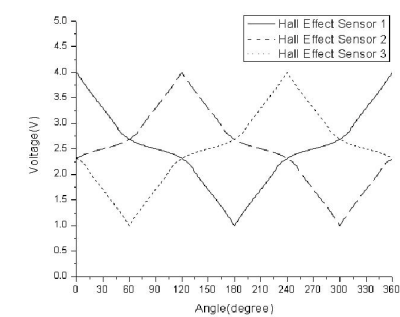


(ก) (ข)

รูปที่ 5 โครงสร้างแม่เหล็กบีดกับวัสดุเคลื่อนที่แบบหมุนรอบแกน

(ข) โครงสร้างทรายสติวเซอร์วัตช์ 1.3 มิลลิเมตร

ทำการทดลองหาค่าความสัมพันธ์ ระหว่างแรงดัน กับมุมซึ่งได้คลังรูปที่ 6 ซึ่งสัญญาณที่ได้มีความไม่เป็นเชิงเส้นในบางช่วงสูง ซึ่งจำเป็นจะต้องเลือกตัดเอาเฉพาะบางช่วงมาประมาณผลโดยใช้วงจรทางอิเล็กทรอนิกส์

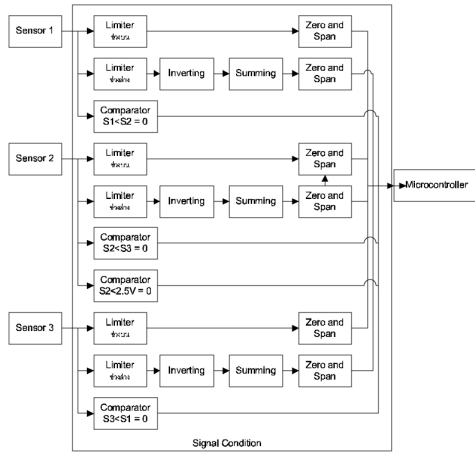


รูปที่ 6 กราฟแสดงค่าความสัมพันธ์ระหว่างแรงดันกับมุมที่วัดได้ ที่รัศมี 1.3 มิลลิเมตร

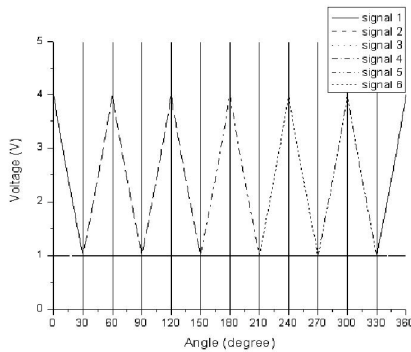
2.2.2 Signal condition

ในส่วนนี้เป็นส่วนเลือกเอาเฉพาะสัญญาณที่มีความเป็นเชิงเส้นและปรับขนาดสัญญาณ จากเซนเซอร์ ก่อนจะส่งไปให้ในโครงสร้างโดยผลลัพธ์จะเป็นค่ามุม

การประชุมวิชาการเครือข่ายวิศวกรรมไฟฟ้า มหาวิทยาลัยเทคโนโลยีราชมงคล ครั้งที่ 4 วันที่ 3-5 เมษายน 2555



รูปที่ 7 ส่วนประกอบหลักของทรายสติวเชอร์วัตคุณ



รูปที่ 8 กราฟแสดงค่าความสัมพันธ์ระหว่างค่าเร่งยกนับบุนที่หลังจากปรับค่าความซั่นและจุดเริ่มที่เหมาะสมแล้วก่อนเข้า สู่ไปปะรนวัลผลซังในไมโครคอนโทรลเลอร์ (Microcontroller)

ข้อมูลคิดอ่านนาด 4 บิตจาก วงจรเปรียบเทียบแรงดันสามารถแสดงดังตาราง 1

บุน	ตัวบ่งบอกแรงดัน				ตัวบุน			
	H2,H3	H3,H4	H2,H3	H1,H2	A	B	C	D
0-30	>	<	<	>	0	1	1	0
30-60	>	>	<	>	0	0	1	0
60-90	>	>	>	<	0	0	1	1
90-120	>	>	>	<	0	0	0	1
120-150	>	<	<	<	0	1	1	1
150-180	>	<	>	>	0	1	0	0
180-210	>	<	<	>	1	1	1	0
210-240	>	>	<	>	1	0	1	0
240-270	>	>	<	<	1	0	1	1
270-300	>	>	>	<	1	0	0	1
300-330	>	<	<	<	1	1	1	1
330-360	>	<	>	>	1	1	0	0

ตารางที่ 1 แสดงเงื่อนไขในการเปรียบเทียบแรงดันและข้อมูลคิดอ่านนาด 4 บิตที่ใช้สำหรับความคุณช่วงการแปลงบุน

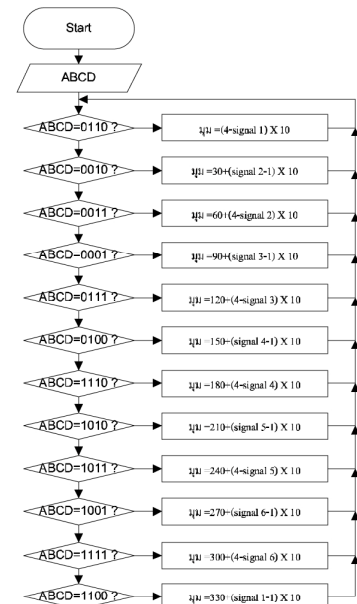
2.2.3 ไมโครคอนโทรลเลอร์ (Microcontroller)

ค่าความเร็วบีตต้องการ 0.1 องศา วัดบุนตั้งแต่ 0 – 360 องศาต้องการค่าความเร็วบีตั้งบุนค 3,600

ใช้ไมโครคอนโทรลเลอร์นาด 12 บิต ในการประมวลผลเมื่่าความละเอียดที่ $2^{12} = 4096$ ซึ่งเพียงพอต่อการแสดงผลค่าบุนทั้งบุนค

3. ผลการทดสอบและการอภิปรายผล

การคิดค่าบุนใช้ข้อมูลคิดอ่านนาด 4 บิตในการประมวลผลโดยแบ่งเป็นช่วงตามดังงานการออกแบบโปรแกรม



รูปที่ 9 ผังงานการออกแบบโปรแกรมเพื่อหาค่าบุนที่วัดได้จากสัญญาณที่ผ่านการปรับแต่งมาแล้ว

จากการนำค่าแรงดันที่วัดได้จาก เอไดพุตวงจรปรับบุน ความชันและคุณช่วงที่เหมาะสมทำการประมวลผลบุน จะเห็นได้ว่าเกิดค่าผิดพลาด จากความไม่เป็นเรียบลื่น จึงทำการแก้ไขโดยวิธีการทางสถิติ即 วิเคราะห์นิวเมอริกอน เม�หอดอกซ์ (Linear Regression Numerical Methods) เพื่อปรับให้ได้ค่าที่เรียบลื่นมากขึ้น บุนที่หานี้ได้จากการวัดสามารถแสดงได้ดังตารางที่ 2

ด้วยข้อมูลค่าบุนที่ได้จากการแปลงบุนที่วัดได้

วัดแรงดันที่เข้ามาได้ 3.91 V ข้อมูลคิดอ่านนาด ABCD = 0110

เป็นช่วงบุน ระหว่าง 0 – 30 องศา

$$\mu_b = (4 - 3.91) \times 10$$

$$\mu_b = 0.8 \text{ องศา}$$

การประชุมวิชาการเครือข่ายวิศวกรรมไฟฟ้า มหาวิทยาลัยเทคโนโลยีราชมงคล ครั้งที่ 4 วันที่ 3-5 เมษายน 2555

การซึ้ง			ก้ม			Max Error	
ค่ารวม	ก๊อก 1	Linear	ค่ารวม	ก๊อก 1	Linear	ก๊อก 1	Linear
4.00	4.00	4.00	0.00	0.00	0.00	0.00	0.00
3.90	3.89	3.90	1.00	1.15	1.04	-0.15	-0.04
3.80	3.77	3.79	2.00	2.28	2.07	-0.28	-0.07
3.70	3.66	3.69	3.00	3.39	3.10	-0.39	-0.10
3.60	3.55	3.59	4.00	4.49	4.11	-0.49	-0.11
3.50	3.44	3.49	5.00	5.57	5.12	-0.57	-0.13
3.40	3.34	3.39	6.00	6.64	6.13	-0.64	-0.13
3.30	3.23	3.29	7.00	7.70	7.13	-0.70	-0.13
3.20	3.13	3.19	8.00	8.74	8.13	-0.74	-0.13
3.10	3.02	3.09	9.00	9.78	9.12	-0.78	-0.12
3.00	2.92	2.99	10.00	10.80	10.11	-0.80	-0.11
2.90	2.82	2.89	11.00	11.81	11.10	-0.81	-0.10
2.80	2.72	2.79	12.00	12.82	12.08	-0.82	-0.08
2.70	2.62	2.69	13.00	13.81	13.06	-0.82	-0.06
2.60	2.52	2.60	14.00	14.80	14.04	-0.80	-0.04
2.50	2.42	2.50	15.00	15.79	15.02	-0.79	-0.02
2.40	2.32	2.40	16.00	16.76	16.01	-0.76	-0.01
2.30	2.23	2.30	17.00	17.73	16.99	-0.73	0.01
2.20	2.13	2.20	18.00	18.69	17.97	-0.69	0.03
2.10	2.03	2.10	19.00	19.65	18.95	-0.65	0.05
2.00	1.94	2.01	20.00	20.61	19.93	-0.61	0.07
1.90	1.84	1.91	21.00	21.56	20.92	-0.56	0.08
1.80	1.75	1.81	22.00	22.50	21.91	-0.50	0.09
1.70	1.66	1.71	23.00	23.45	22.90	-0.45	0.10
1.60	1.56	1.61	24.00	24.39	23.90	-0.39	0.10
1.50	1.47	1.51	25.00	25.32	24.90	-0.33	0.10
1.40	1.37	1.41	26.00	26.26	25.90	-0.26	0.10
1.30	1.28	1.31	27.00	27.20	26.91	-0.20	0.09
1.20	1.19	1.21	28.00	28.13	27.93	-0.13	0.07
1.10	1.09	1.10	29.00	29.07	28.95	-0.07	0.05
1.00	1.00	1.00	30.00	30.00	30.00	0.00	0.00

รูปที่ 11 ตารางแสดงค่ามุมและค่าความผิดพลาดในช่วงมุม 0 – 30 องศา

4. สรุปผล

ผลของการทางคิดของข้อมูลทาง เน้นสอดคล้องกับรัฐธรรมูตไทยให้ใช้ลด
เอื้อเฟื้อภาคเชื้อเชิญ ขนาดกรวย 4 มิลลิเมตร สูง 3 มิลลิเมตร ใช้แม่เหล็ก
ขนาดกรวย 4 มิลลิเมตร สูง 5.5 มิลลิเมตร โครงสร้างที่รักมี 1.3 มิลลิเมตร
ใช้ไม้ไครค่อน ไม้เลือด 12 มิลลิเมตรในการประมวลผล สามารถวัดความได้
ตั้งแต่ 0 – 360 องศา แบบหมุนรอบแกน ความละเอียด 0.1 องศา ค่า
ความผิดพลาดสูงสุดก่อนทำการแก้ไขความไม่เป็นเรียบเส้น ที่บุน 12 และ
13 องศาความผิดพลาดสูงสุด 0.82 องศา และหลังจากแก้ไขความไม่เป็นเรียบ
เส้นโดยวิธีการทางเลื่อนยีร์เกชัน นิยามของค่อนมาทางด้านที่บุน 5, 6,
7 และ 8 องศาความผิดพลาดสูงสุด 0.13 องศา ซึ่งสามารถนำไป
ประยุกต์ใช้ในการวัดความแนบหมุนรอบแกนหมุน 360 องศา ได้เพื่อพิสูจน์
ผล ใจ

5. กิตติกรรมประกาศ

ขอขอบคุณภาควิชาสารกรรมอิเล็กทรอนิกส์และ
โทรศัพท์มือถือ มหาวิทยาลัยเทคโนโลยีราชมงคลล้านนา ที่สนับสนุน
ซอฟต์แวร์ เครื่องมือและสถานที่ในการทดสอบ รวมทั้งขอขอบคุณ คณะ

วิศวกรรมศาสตร์ มหาวิทยาลัยเทคโนโลยีราชมงคลล้านนา เชียงใหม่ ที่ เชียงราย สำหรับสถานที่ และวัสดุในการทำงานวิจัยในครั้งนี้

เอกสารอ้างอิง

- [1] Baxter, Larry K., "Capacitive Sensors," IEEE Press, Piscataway N.J., 1997
 - [2] Karol Bieleciky., "Angle Measurement Using a Miniature Hall Effect Position Sensor" IEEE 2009
 - [3] Yosuke Saito., "A micro-angle sensor based on laser autocollimation" SPIE-The International Society for Optical Engineering , 2005
 - [4] P. Kejik, S. Reymond, and R.S. Popovic, Circular Hall Transducer For Angular Position Sensing, Fncc, 2007
 - [5] Joe Gilbert and Ray Dewey ,Linear Hall-Effect Sensors Allegro Micro Systems, Inc.
 - [6] นรา เจริญกัลน์ และพัตรชัย ศุภพิทักษ์สกุล. 2551. การออกแบบ
ทรานสดิจิตอลร่วมแรง โดยใช้ชุดอิเล็กทรอนิกส์เพื่อพัฒนาเซ็นเซอร์, EENET2008
ปทุมธานี
 - [7] A1301 and A1302 Linear Hall Effect Sensor Datasheet

ประวัติผู้วิจัย



สารชั้น บุญญาครร สำเร็จการศึกษา ปริญญาตรี ค.อ.บ. สาขาวิชากรรรมธิเล็กทรอนิกส์ ให้กรณานามจาก สถาบันเทคโนโลยีราชมงคล ปีจลปั้นเก้าอี้ สืบงานร่างด้านวิทยาศาสตร์ฯ

สาขาวิศวกรรมไฟฟ้าแขนงอิเล็กทรอนิกส์และโทรคมนาคม
คณะวิศวกรรมศาสตร์ มหาวิทยาลัยเทคโนโลยีราชมงคลล้านนา ชั้นปีที่ 3
อาจารย์ประจำสาขาวิศวกรรมไฟฟ้า คณะวิศวกรรมศาสตร์
มหาวิทยาลัยเทคโนโลยีราชมงคลล้านนา เชียงราย งานวิจัยที่สนใจด้าน
ระบบควบคุม และ ตัวตรวจจับอุณหภูมิ



ดร.ธนกร ชัย ศุภพิทักษ์สกุลเดชเจ้ารักษ์กีดขาม
ปริญญาตรี วศบ。(วิศวกรรมไฟฟ้า) สถาบัน
เทคโนโลยีพระจอมเกล้า เชียงใหม่ Ph.D.
Northumbria University, Newcastle England

และ เป็นอาจารย์ประจำ ภาควิชาศึกษาครรภ์ ไฟฟ้า คณะวิศวกรรมศาสตร์ มหาวิทยาลัยเทคโนโลยีราชมงคลธัญบุรี งานวิจัยที่สนใจ การประมวลผล สัญญาณภาพดิจิตอล การออกแบบการสั่นสะเทือนและการประยุกต์ใช้ งาน การประยุกต์ใช้ในกรงข่ายประสาทเทียม เกี่ยวกับมืออัคคีภัณฑ์การแพทย์



ECTI - CARD 2012

การประชุมวิชาการ งานวิจัย และพัฒนาเชิงประยุกต์ ครั้งที่ 4

21 – 22 พฤษภาคม 2555

มหาวิทยาลัยเทคโนโลยีราชมงคลธัญบุรี
มหาวิทยาลัยเทคโนโลยีราชมงคลธัญบุรี
ปทุมธานี



Committee

Steering Committee

รศ.ดร.ประยุทธ อัคราภอกลักษณ์ (KMUTNB)
 รศ.ดร.ไกศินกร จันมง ไทย (KMUTT)
 รศ.ดร.วุฒิพงษ์ อารีกุล (KU)

Exhibition Chair

สมชาย เมียนสูงเนิน (RMUTT)

General Chair

ศ.ดร.โน่ในย ไกรฤกษ์ (KMITL)
 ศ.ดร.ประภาส จังสติต วัฒนา (CU)

Workshop Chair

ดร.ฉัตรชัย ศุภพิทักษ์สกุล (RMUTT)

General Co-Chairs

รศ.ดร.น้ำยาหงษ์ สงค์ธนาพิทักษ์ (RMUTT)
 พศ.ดร.สมหมาย ศิริสาคร (RMUTT)

General Assistant Secretary

พศ.วัฒนา พันธ์สันติ์เจอก (RMUTT)

Technical Program Chair

รศ.ดร.ชาลี เจริญคากนพรัตน์ (SIIT)

Technical Program Committee

พศ.ดร.ปียะ โภวินท์ทิวัฒน์ (NPRU)
 ดร.ธีรนุช เที่ยงศักดิ์ (KKU)
 รศ.ดร.อภินันท์ ชนชานนท์ (KMITL)
 ดร.กสิน วิเชียรชม (KMITL)
 ดร.นิธิไรจน์ พรสุวรรณเจริญ (RMUTI)
 ดร.ก้องกพ อุ่ยบีน (NASA)

Technical Program Co-Chair

พศ.จินตนา นาคะสุวรรณ (RMUTT)

ดร.กัลกาน ก Jenjiroongkra (KMITL)
 ดร.วันวิสาขะวงศ์ (KMITL)
 รศ.ดร.รื่นรัตน์ อมรรักษ์ (KMUTT)
 รศ.ดร.จันกานา จันทรารักษ์ (SU)

Local Arrangement Chair

ดร.ไฟเบอร์ รักเหลือ (RMUTT)

ดร.อุติรัตน์ นิ่มเกิดผล (RMUTT)
 ดร.ธีระกานต์ นาวนะ (TU)
 ดร.วินัย วิชัยพาณิชย์ (RMUTT)

Publication Chair

พศ.ธนพงษ์ นพวงศ์ ณ อยุธยา (RMUTT)

พศ.ดร.พงษ์ศักดิ์ กิริศิวนกการ (KMUTNB)
 ดร.กนก เทมาร์รี่ (NECTEC)
 ดร.มัชฌิกา อ่องแตง (DPU)
 ดร.คำพัฒน์ บุญยะเวส (TU)

Publicity Chair

มาโนช ประชา (RMUTT)

Finance Chairs

วิโรจน์ พิราเจนทร์ (RMUTT)
 ฐุพรรณ ศิริปันญา (BU)
 ไฟริน แก้วกาก (ECTI)

รศ.ดร.ชาลิติ เบญจรงค์ประย์สิริ (KMITL)
 ดร.ณัฐพงษ์ ศรีรัตน์ (Skyworks)
 พศ.ดร.ดวงอาทิตย์ ศรีมูส (RSU)
 รศ.เอก วิวัฒ (KMUTNB)
 ดร.สมมาตระ แสงเงิน (MUT)
 ดร.สราญา ชัยมุส (KMUTNB)
 พศ.ดร.มนูจน์ หนุมรัตน์กุญช์ (KMUTT)
 ดร.อิทธิเดช นิลคำแหง (SIIT)
 รศ.ดร.เควิດ บรรจิพงศ์ชัย (CU)
 ดร.พีระยศ แสน ไกชาน์ (KU)
 พศ.ดร.ธิรัวัฒน์ คงสาร (RMUTT)
 พศ.ดร.วันชัย ทรายสิงห์ (RMUTT)
 พศ.ดร.ณัฐภพ นิ่มปิติวน (BU)
 พศ.ดร.ชวัชชัย เดชชอนันต์ (CU)
 พศ.ดร.ปานจิต คำรงค์กุลกำจรา (KU)
 ดร.ณัฐภัทร ทันธ่อง (RMUTT)
 พศ.ดร.สมชัย หิรัญวิรocom (RMUTT)
 ดร.สุรินทร์ แห่งมงาน (RMUTT)
 รศ.ดร.พรชัย ทรัพน์นิธิ (KMITL)
 ดร.วรรณา วงศ์ไตรรัตน์ (RMUTI)
 พศ.ดร.สมเกียรติ ฤกษ์วรัญญ (KMITL)
 พศ.ดร.ธุกิจ สรรพคุณ (KMUTNB)
 ดร.ณัฐภัทร ทันธ่อง (RMUTT)
 พศ.ดร.สมชัย หิรัญวิรocom (RMUTT)
 ดร.สุรินทร์ แห่งมงาน (RMUTT)
 รศ.ดร.พรชัย ทรัพน์นิธิ (KMITL)
 ดร.วรรณา วงศ์ไตรรัตน์ (RMUTI)
 พศ.ดร.สมเกียรติ ฤกษ์วรัญญ (KMITL)
 พศ.ดร.ธุกิจ สรรพคุณ (KMUTNB)
 ดร.สมเกียรติ อุตมหารามาถุ (RMUTSB)
 ดร.จักรี ศรีนนท์ฉัตร (RMUTT)
 Mr.Lin M.M. Myint (SIU)
 ดร.วิสิทธิ์ สื้อธรรมจักร (RMUTT)



การออกแบบทรายส่วนตัวมุ่งโดยใช้ออลล์เอฟเฟกต์เซ็นเซอร์

Angle Transducer Designing Using Hall Effect Sensing Device.

สรุป บุญหาดี

ภาควิชาวิศวกรรมอิเล็กทรอนิกส์ และโทรคมนาคม
คณะวิศวกรรมศาสตร์ มหาวิทยาลัยเทคโนโลยีราชมงคลรัตนบุรี
คลอง 6 ช.บุญบุรี ปทุมธานี 12110 โทร.067-5784412
E-Mail: son_boon@hotmail.co.th and

ผู้รับ ศุภพิทักษ์สกุล

ภาควิชาวิศวกรรมอิเล็กทรอนิกส์ และโทรคมนาคม
คณะวิศวกรรมศาสตร์ มหาวิทยาลัยเทคโนโลยีราชมงคลรัตนบุรี
คลอง 6 ช.บุญบุรี ปทุมธานี 12110 โทร.02-549-3420
E-Mail: schai91@yahoo.co.uk

บทคัดย่อ

บทความนี้นำเสนอการออกแบบทรายส่วนตัวมุ่งโดยใช้ออลล์เอฟเฟกต์เซ็นเซอร์ (Hall effect sensor) ซึ่งมีความสามารถในการจำแนก 360 องศา โดยใช้ออลล์เอฟเฟกต์เซ็นเซอร์ที่ติดตั้งอยู่ที่บาร์ที่ทำหน้าที่ตรวจสอบความหมุนของแม่เหล็ก ทราบส่วนตัวมุ่งโดยออกแบบปะร哥บด้วยแกนแม่เหล็กด้วยที่สามารถเดินเรื่องที่รอบแกนหมุน 360 องศาและออลล์เอฟเฟกต์เซ็นเซอร์ที่ติดตั้งอยู่ที่บาร์ที่ทำหน้าที่ตรวจสอบความหมุนของแม่เหล็กตามทิศทางการเดินเรื่องที่รอบแกนปะร哥บ ประกอบด้วยแกนแม่เหล็กด้วยที่สามารถเดินเรื่องที่รอบแกนหมุน 360 องศาและออลล์เอฟเฟกต์เซ็นเซอร์ที่ติดตั้งอยู่ที่บาร์ที่ทำหน้าที่ตรวจสอบความหมุนของแม่เหล็กตามทิศทางการเดินเรื่องที่รอบแกนหมุน 360 องศาสามารถวัดมุมได้ตั้งแต่ 0 ถึง 360 องศา โดยมีความคลาดเคลื่อน ± 0.2 และ ± 0.5 องศา ที่ความละเอียด 0.1 องศา และ 1 องศาตามลำดับ

คำสำคัญ: ทรายส่วนตัวมุ่ง, ออลล์เอฟเฟกต์เซ็นเซอร์, แม่เหล็ก

Abstract

This paper presents the design of angle transducer rotate around the axis 360 degrees using hall effects sensing device to recognize. That is low-cost and simple design. The principle of measurement is used to detect the density of magnetic field of angle rotate around the axis 360 degrees. Translation Dew's design consists Permanent magnet that can move the spindle rotation axis 360 degrees and hall effect sensor mounted in place. Serves to detect the density of magnetic. Can measure the angle from 0-360 degrees with accuracy of ± 0.2 and ± 0.5 at the resolution of 0.1 and 1 degree, respectively.

Keywords: Angle transducer, Hall Effect Sensor, Magnet.

1. บทนำ

ระบบควบคุมอัตโนมัติ ถูกวิจัยกระบวนการทำงานผ่านตัวตรวจสอบ ไม่ว่าจะเป็นการเดินเรื่องที่ในแนวราบ หรือการเดินเรื่องที่แบบหมุนรอบแกน การเดินเรื่องที่ “ปั้นจั่น” ที่ถูกต้อง มีตัวตรวจสอบที่แม่เหล็ก ยังต้องตรวจสอบมีความละเอียดมาก การควบคุมจะ

มีความถูกต้องแม่นยำมากขึ้นด้วย ตัวตรวจสอบมุมได้ถูกพัฒนาขึ้นโดยใช้หลักการทางกายภาพ แต่ที่นิยมใช้มากที่สุดคือ

1. กระบวนการทางแสง [1] ข้อดีคือมีความถูกต้องแม่นยำ และความไวสูง แต่มีความไม่คงเสถียรปานกลาง และผุน

2. กระบวนการเปลี่ยนค่าความถ่วงทาง [2] ข้อดีคือมีความถูกต้องแม่นย้ำ ง่ายต่อการนำไปใช้ practical แต่มีความเสียดทานที่เกิดขึ้นจากน้ำสัมผัส การติดตั้งที่แบบบับเพล็นอาจทำให้เกิดความเสียหายได้

ถูกต้องแม่นยำ ง่ายต่อการนำไปใช้ practical แต่มีความเสียดทานที่เกิดขึ้นจากน้ำสัมผัส การติดตั้งที่แบบบับเพล็นอาจทำให้เกิดความเสียหายได้

3. กระบวนการเปลี่ยนค่าความจุไฟฟ้า [3] ข้อดีคือการเปลี่ยนแปลงค่าความจุไฟฟ้าเพื่อกำเนิดความถี่ที่เป็นสัดส่วนกับการเคลื่อนที่

4. กระบวนการออลล์เอฟเฟกต์ [4, 5] ข้อดีคือการเปลี่ยนแปลงค่าความหนาที่เป็นสัดส่วนกับมุมที่เปลี่ยนไปมากถูกตอบสนองเร็วและเป็นเชิงเส้น การติดตั้งง่ายไม่จำเป็นต้องยึดแกนหมุนติดกับตัวเข็นเซ็นเซอร์โดยตรง และไม่มีความเสียดทานที่เกิดขึ้นจากน้ำสัมผัส

บทความนี้จึงนำหลักการของออลล์เอฟเฟกต์เซ็นเซอร์มาพัฒนา ทรายส่วนตัวมุ่ง 360 องศา ที่มีความละเอียดในการวัดโดยการแบ่งผลการวัดมุมเป็นช่วงๆ เพื่อลดความผิดพลาดลงสุด

2. ทฤษฎีที่เกี่ยวข้อง

ออลล์เอฟเฟกต์เซ็นเซอร์ อาศัย原理การเมื่อยล้าให้เกิดแรงดันอากาศที่ด้านหน้าที่มีความสัมภัณฑ์กับค่าการเปลี่ยนแปลงความเข้มของสนามแม่เหล็ก ดังนี้ [5]

$$B = (VB - VO)K - 1 \quad (1)$$

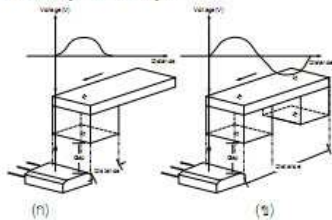
โดยที่ VO คือแรงดันอากาศที่ดูดขณะไม่มีสนามแม่เหล็ก (V)

K คือค่าปรับเชิงชั้น (V/T)

B คือความเข้มของสนามแม่เหล็ก (T)

เมื่อต้องการหาค่าแรงดัน VB จะได้สมการ (2) ตามการเปลี่ยนแปลงความเข้มของสนามแม่เหล็ก

$VB = (B / K+1) + VO \quad (2)$
 การใช้ออกต่อไฟฟ้าที่สำหรับการตรวจดูบ่อกาแฟเมืองรือการ
เคลื่อนที่แบบเคลื่อนที่ฝาผนัง (Slide-by) ทั้งแบบแม่เหล็ก หัวเดียว
(Unipolar) และ หัวคู่ (Bipolar) ดังรูปที่ 1

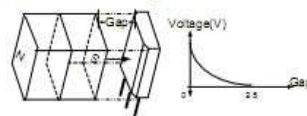


รูปที่ 1 การใช้ออกต่อไฟฟ้าสำหรับการตรวจดูบ่อกาแฟเมืองรือการเคลื่อนที่แบบแม่เหล็กหัวเดียว (a) หรือแบบหัวคู่ (b)

3. ผลการทดลองและการอภิปรายผล

3.1 การหาค่าความสัมพันธ์ระหว่าง ระยะห่างของขดลักษณ์ไฟฟ้าเพื่อเขียนเรขาคณิตแม่เหล็ก กับบัดและรูป

ระยะห่างระหว่างแม่เหล็กเริ่มต้นที่ 0 องศาจะเป็นบิบทันที่มีความหนาแน่นของแม่เหล็กมากที่สุดที่หากทดสอบเพื่อหาระยะห่างที่เหมาะสมต้องวิเคราะห์การตรวจดูบ่อกาแฟเมืองรือการตรวจดูบ่อกาแฟแบบ Unipolar-head-on mode ดังรูปที่ 1



รูปที่ 2 การทดลองตรวจดูบ่อกาแฟเมืองรือการตรวจดูบ่อกาแฟแบบ Unipolar-head-on mode

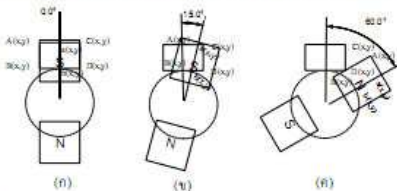
โดยที่ระยะความห่างระหว่างหัวไว้ออกแม่เหล็กจากหัวบีบอลงเริ่มเพื่อทดสอบที่ 0.5 มิลลิเมตร จุดนี้ที่การเพิ่มระยะความห่างเริ่มต้นที่ 0.5 มิลลิเมตรจนถึง 2.5 มิลลิเมตร ทำการทดสอบแล้วพบว่าเมื่อเพิ่มจำนวน 5 ครั้งห่างตัว พร้อมกับบันทึกค่า เมอร์ฟาร์เซอร์ 1A1302 ซึ่งมีค่าเปรียบเทียบความโน้มในไฟฟ้าที่ 1.3 mV/G

ระยะห่าง (mm.)	แรงดันค่าที่ 1 (V)	แรงดันค่าที่ 2 (V)	แรงดันค่าที่ 3 (V)
0.5	4.99	4.991	4.991
1	4.001	4	4.002
1.5	3.502	3.501	3.501
2	3.251	3.253	3.251
2.5	3.101	3.102	3.101

ตารางที่ 1 แสดงความสัมพันธ์ระหว่าง ระยะห่างหัวแม่เหล็กกับขดลักษณ์ไฟฟ้าเพื่อเขียนเรขาคณิต ค่าแรงดันของหัวบีบอลงเริ่มต้นที่ 0.5 มิลลิเมตรและหัวบีบอลงที่ 2.5 มิลลิเมตร

3.2 การหาค่าความสัมพันธ์ระหว่าง หมุนเคลื่อนที่(ของตา) ของแม่เหล็ก โดยเปลี่ยนรูปแบบการตรวจดูบ่อกาแฟเพื่อเพิ่มเรขาคณิตที่ตัดผ่านหัวแม่เหล็ก จึงเกิดการเปลี่ยนแปลงค่าความเรื้อน หมุนแม่เหล็ก ตามที่เขียนในระยะห่างแม่เหล็ก และหัวบีบอลงเรขาคณิต

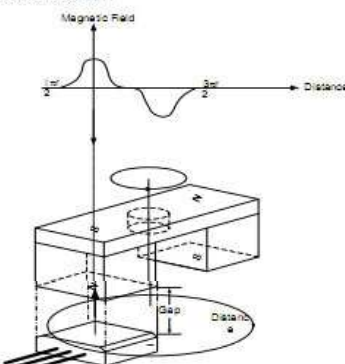
จากสมมติฐานการเคลื่อนที่แบบหมุนรอบแกนเมื่อยเมืองแม่เหล็ก เคลื่อนที่ตัดผ่านหัวบีบอลงเรขาคณิตการเปลี่ยนแปลงค่าความเรื้อน หมุนแม่เหล็ก ตามที่เขียนในระยะห่างแม่เหล็ก และหัวบีบอลงเรขาคณิต



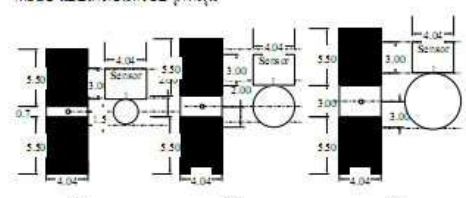
รูปที่ 3 สมมติฐานการเคลื่อนที่แบบหมุนรอบแกนเมืองแม่เหล็กเคลื่อนที่ตัดผ่านหัวบีบอลงเรขาคณิต

นำมาทดลองการเคลื่อนที่แบบหมุนรอบแกนหมุนเพื่อหาค่าความเรื้อนในการตัดบีบอลงโดยทดสอบที่รูปที่ 3

การทดสอบ Bipolar Slide-by Mode แบบเคลื่อนที่รอบแกนหมุนแบบแม่เหล็ก



รูปที่ 4 การทดลองตรวจดูบ่อกาแฟเมืองรือการตรวจดูบ่อกาแฟแบบ Bipolar Slide-by Mode เมื่อเคลื่อนที่รอบบีบอลง

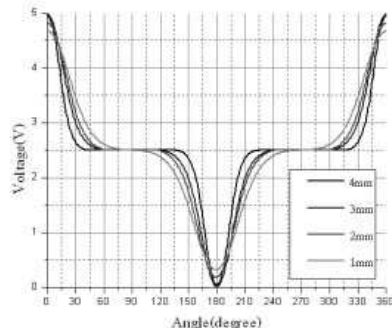


รูปที่ 5 (a) ขนาดของหัวบีบอลงเรขาคณิตแม่เหล็กที่ 1.5 มิลลิเมตร

(b) ขนาดของหัวบีบอลงเรขาคณิตแม่เหล็กที่ 2 มิลลิเมตร

(c) ขนาดของหัวบีบอลงเรขาคณิตแม่เหล็กที่ 3 มิลลิเมตร

ทำการทดสอบโดยเมื่อจากว่างานเมื่อที่ เก็บข้อมูลของวงจร ช่วงแรกคือ 1.5 มิลลิเมตร ระยะ 2 มิลลิเมตร และ 3 มิลลิเมตร และ รัศมี 4 มิลลิเมตร ทำการวัดครั้ง แรก ทำการคำนวณที่ต้องการ ความผิดพลาดกันแล้วน้อย แต่เป็นไปในทิศทางเดียวกันและลดให้สูงสุดที่ 6



รูปที่ 6 ความสัมพันธ์ระหว่างมุมกับค่าแรงดันที่ต้องได้ รัศมี 1.5 มิลลิเมตร 2 มิลลิเมตร 3 มิลลิเมตร และ 4 มิลลิเมตร ตามลำดับ

จากการฟังเสียงว่ารัศมี 4 มิลลิเมตร เป็นค่าความเสถียรและต่ำสุด ที่รัศมี 1.5 มิลลิเมตร สามารถให้ค่าความเสถียรและต่ำสุด ที่รัศมี 2 มิลลิเมตร สามารถให้ค่าความเสถียรและต่ำสุด ที่รัศมี 0 หรือ 75 องศา ที่รัศมี 2 มิลลิเมตร สามารถให้ค่าความเสถียรและต่ำสุด ที่รัศมี 0 หรือ 80 องศา ที่รัศมี 3 มิลลิเมตร สามารถให้ค่าความเสถียรและต่ำสุด ที่รัศมี 0 หรือ 52 องศา และที่ 4 มิลลิเมตร สามารถให้ค่าความเสถียรและต่ำสุด ที่รัศมี 0 หรือ 40 องศาเท่านั้น

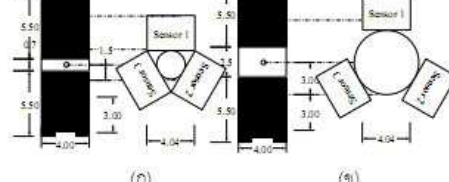
จากรูปที่ 6 จะเห็นว่าได้มาใช้ ระยะห่างที่ได้เมื่อเทียบกับเมื่อที่ 2 ที่เดียวกันไม่สามารถได้ค่ามุมที่ 360 องศาได้ เมื่อจากที่ค่ามุมที่ 4 จะมีค่าแรงดันที่เพิ่มขึ้นในบางจุด เช่น มุม 30 องศา กับ 330 องศา หรือที่ 60 องศา กับ 300 องศา ในทางอ้อมคือ ควรจะได้ 180 องศา แต่จากการทดสอบจะเห็นว่า มุมที่สามารถตรวจพบได้จะ ขึ้นอยู่กับรัศมี ดังนี้

รูป	ระยะ 1.5 mm แรงดัน(V)	ระยะ 4 ต่อ 1 m (V)/องศา	ระยะ 3 mm แรงดัน(V)	ระยะ 4 ต่อ 4 (V)/องศา
0	4.848	0.008	4.810	0.001
1	4.841	0.020	4.808	0.007
178	0.079	0.020	0.191	0.001
179	0.059	0.008	0.190	0.001
180	0.054	-0.008	0.191	-0.001
181	0.059	-0.020	0.188	-0.001
359	4.841	-0.020	4.808	-0.007
360	4.848	-0.008	4.810	-0.001

ตารางที่ 2 และความสัมพันธ์ระหว่าง มุมและเสียงกับค่าแรงดันที่ต้องได้ รัศมี 4 มิลลิเมตร และ ค่าแรงดันที่มากที่สุดเท่าที่เป็นไปของเสียงไฟฟ้า เสียงเมื่อที่ต้องการและค่ารุ่มได้ดังนี้

จากการทดสอบค่าแรงดัน มุม 0 0.04 องศา และ 180 องศา ไม่สามารถนำหาค่ารุ่มได้เมื่อทำการเปลี่ยนแปลงค่าแรงดันที่อยู่ในช่วงมากกว่า 2 รวมไปถึงบริเวณมุมที่ค่าความสัมพันธ์ระหว่าง มุมที่เสียงไฟฟ้ากับระยะห่างที่เพิ่มขึ้นจะมีผลต่อ ค่าแรงดัน มากที่สุดที่ต้องการและค่ารุ่มจะเพิ่มตัวเรื่องที่เป็นจะต้อง เสียงไฟฟ้าต้องเสียงที่ต้องการและค่ารุ่มจะเพิ่มขึ้น มากกว่า 0.04 องศา ดังนั้น ค่ารุ่มที่ต้องการจะอยู่

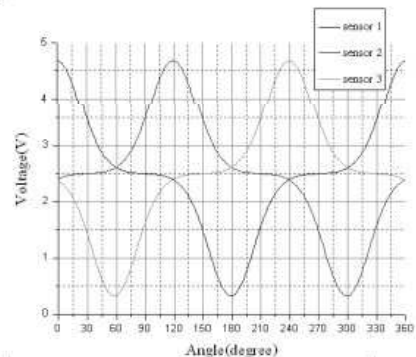
อุตสาหกรรมที่ต้องการ ทดสอบทุกส่วนที่ต้องการ ที่ต้องการจะอยู่



รูปที่ 7 (g)โครงสร้างรัศมี 1.5 มิลลิเมตร ใช้ เสียงเมื่อที่ 3 วัด

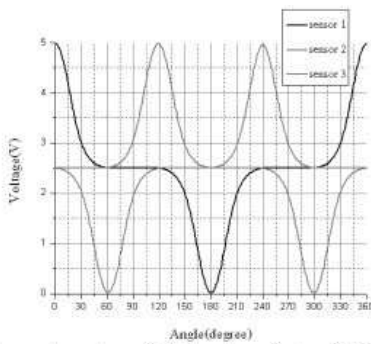
(h)โครงสร้างรัศมี 3 มิลลิเมตร ใช้ เสียงเมื่อที่ 3 วัด

จากรูปที่ 7 (g)โครงสร้างรัศมี 1.5 มิลลิเมตร นำของเสียงไฟฟ้าที่เสียงเมื่อที่ 3 วัดมาวางโดยที่ 1 จะเริ่มที่มุม 0 องศา ตัวที่ 2 จะเริ่มที่มุม 120 องศา และ ตัวที่ 3 จะเริ่มที่มุม 240 องศา จะได้กราฟ ความสัมพันธ์ระหว่าง มุมหน่วยเป็นองศา กับ แรงดัน นูนที่ทางด้านซ้าย

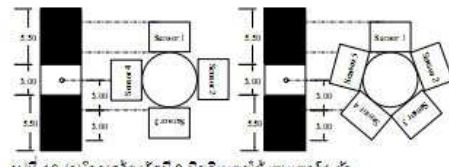


รูปที่ 8 กราฟแสดงถึงความสัมพันธ์ระหว่างมุมกับค่าแรงดันที่ต้องได้ รัศมี 1.5 มิลลิเมตร ใช้ เสียงเมื่อที่ 3 วัด

จากรูปที่ 7 (h)โครงสร้างรัศมี 3 มิลลิเมตร นำของเสียงไฟฟ้า เสียงเมื่อที่ 3 วัดมาวางโดยที่ 1 จะเริ่มที่มุม 0 องศา ตัวที่ 2 จะเริ่มที่มุม 120 องศา และ ตัวที่ 3 จะเริ่มที่มุม 240 องศา จะได้กราฟ ความสัมพันธ์ระหว่าง มุมหน่วยเป็นองศา กับ แรงดัน นูนที่ทางด้านซ้าย



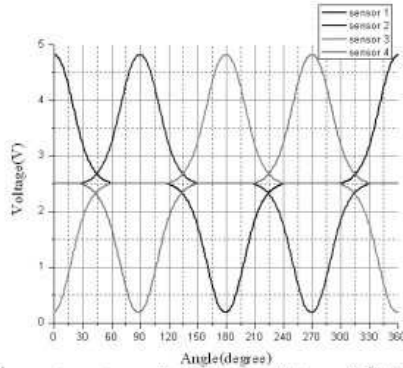
รูปที่ 9 กราฟแสดงค่าความถี่เมื่อหันเข็มหน้ารูมุ่งกับค่าคงที่ได้ ที่รักภัย 3 มิลลิเมตรใช้ เทคนิคที่ 3 ด้าน



รูปที่ 10 (a) โครงสร้างรักภัย 3 มิลลิเมตรใช้ เทคนิคที่ 4 ด้าน

(บ) โครงสร้างรักภัย 3 มิลลิเมตรใช้ เทคนิคที่ 5 ด้าน

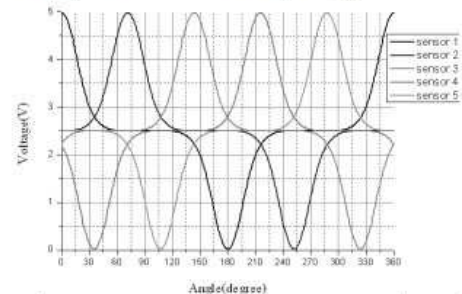
จากรูปที่ 10 (บ) โครงสร้างรักภัย 3 มิลลิเมตร น้ำซอสสีฟ้า เพล็กเก็นเซอร์ 4 ตัวมีความถี่เม็ดที่ 1 จะเริ่มที่มุม 0 องศา ตัวที่ 2 จะเริ่มที่มุม 90 องศาและ ตัวที่ 3 จะเริ่มที่มุม 180 องศา ตัวที่ 4 จะเริ่มที่มุม 270 องศา จะได้กราฟความถี่เมื่อหันเข็มหน้ารูมุ่งกับค่าคงที่ได้ ที่รักภัย 3 มิลลิเมตรเป็นองศา ดังรูปที่ 11



รูปที่ 11 กราฟแสดงค่าความถี่เมื่อหันเข็มหน้ารูมุ่งกับค่าคงที่ได้ ที่รักภัย 3 มิลลิเมตรใช้ เทคนิคที่ 4 ด้าน

จากรูปที่ 10 (บ) โครงสร้างรักภัย 3 มิลลิเมตร น้ำซอสสีฟ้า เพล็กเก็นเซอร์ 5 ตัวมีความถี่เม็ดที่ 1 จะเริ่มที่มุม 0 องศา ตัวที่ 2 จะเริ่มที่มุม 72 องศาและ ตัวที่ 3 จะเริ่มที่มุม 144 องศา ตัวที่ 4 จะเริ่มที่มุม

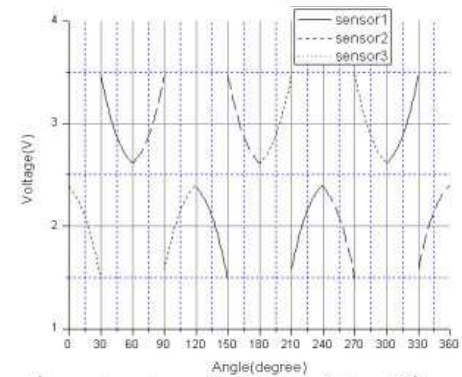
216 องศา ตัวที่ 5 จะเริ่มที่มุม 288 องศา จะได้กราฟความถี่เม็ดที่ 5 ระหว่าง มุ่งหน้ารูมุ่งกับค่าคงที่ได้ ที่รักภัย 3 มิลลิเมตรเป็นองศา ดัง แผนภูมิ ณ หมุดท่าทางดังรูปที่ 12



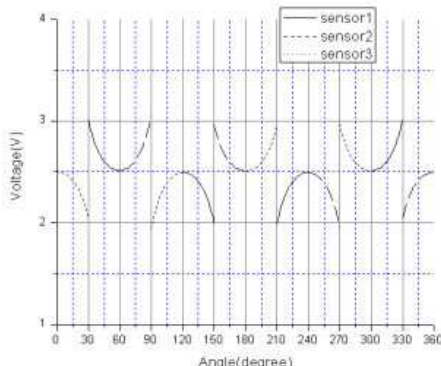
รูปที่ 12 กราฟแสดงค่าความถี่เมื่อหันเข็มหน้ารูมุ่งกับค่าคงที่ได้ ที่รักภัย 3 มิลลิเมตรใช้ เทคนิคที่ 5 ด้าน

3.2 นำค่าความถี่เม็ดที่ 5 ของรากที่ 1 ของค่าคงที่ (องศา) ของแม่เหล็ก โดยเปลี่ยนรูปแบบการวางแผนของเพล็กเก็นเซอร์ กับค่าแรงดัน ที่เปลี่ยนแปลงมาจากการแบ่งช่วงมุ่งเลือกแรงดัน แยกผลจากเซนเซอร์

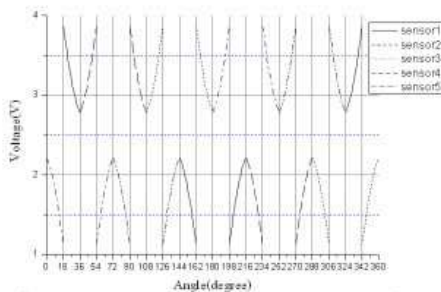
จากการทดลองของการวางแผนของรากที่ 5 ให้ได้ค่าคงที่ที่มีรูปแบบเหมือนกัน ล้วน โครงสร้างใช้ เทคนิคที่ 3 ด้าน และ 5 ด้วยมีความถี่เม็ดที่ 5 ระหว่าง มุ่งหน้ารูมุ่งกับค่าคงที่ ณ หมุดท่าทางดังรูปที่ 13 ซึ่งสามารถวัดค่าคงที่ ณ หมุดท่าทางด้วยวิธีการแบ่งช่วงมุ่งและเลือก ค่าคงที่ตามประกอบ



รูปที่ 13 กราฟแสดงค่าความถี่เมื่อหันเข็มหน้ารูมุ่งกับค่าคงที่ที่ ทำ การแบ่งช่วงมุ่งและเลือกค่าคงที่แบบคลื่น ที่รักภัย 1.5 มิลลิเมตรใช้ เทคนิคที่ 3 ด้าน



รูปที่ 14 กราฟแสดงค่าความสัมพันธ์ระหว่างมูลค่าคงดีที่ทำก้าว
แม่ช่วงมูลค่าและเดือดค่าคงดีนั้นแปลผล ที่รัศมี 3 มิลลิเมตรให้ เทคนิค
3 ตัว



รูปที่ 15 กราฟแสดงค่าความสัมพันธ์ระหว่างมูลค่าคงดีที่ทำก้าว
แม่ช่วงมูลค่าและเดือดค่าคงดีนั้นแปลผล ที่รัศมี 3 มิลลิเมตรให้ เทคนิค
5 ตัว

จากกราฟแสดงค่าความสัมพันธ์ระหว่างมูลค่าคงดีที่ทำก้าว
แม่ช่วงมูลค่าและเดือดค่าคงดีนั้นแปลผล ที่รัศมี 3 มิลลิเมตร
ให้รัศมี 3 มิลลิเมตร จะเห็นว่าทั้งสองแบบสามารถแปลงช่วงมูลค่าและ
เดือดค่าคงดีนั้นแปลผล ได้ทั้งหมด 12 ชุด.

โครงสร้าง รัศมี 3 มิลลิเมตรของเทคนิค 4 ตัว ไม่สามารถนำมานำ
มาหมุนโดยอิสระนี้ได้เมื่อถูกนำไปตามรอบเดือดหัวที่มีการเปลี่ยนแปลง
ที่เหมาะสมได้

แทนที่จะเปลี่ยนเดือดหัวโดยรอบของรัศมี 3 มิลลิเมตรของเทคนิค 4 ตัว
กับ เทคนิค 5 ตัวจะเห็นว่าโดยรอบของรัศมี 5 ตัวสามารถแปลงช่วงมูลค่าและ
เดือดค่าคงดีนั้นแปลผล "ได้ทั้งหมด 20 ชุด" ซึ่งทำให้ค่าคงดีที่ทำ
จะนำไปแปลผลเป็นค่ามุมนี้ของหัวมากกว่าซึ่ง

โครงสร้างการหาค่าความแยกหัวมองด้านใน จุดที่ต่อกัน ที่มุม 0
องศาสามารถแสดงให้เห็นได้จากที่ 3

ที่	Sensor1	Sensor2	Sensor3	Sensor4	Sensor5
0	4.978	2.600	2.219	2.219	2.600
1	4.970	2.600	2.249	2.189	2.600
พิเศษ	0.008	0.000	0.030	0.030	0.000

ตารางที่ 3 เมตริกาทางการเปลี่ยนเดือดค่าคงดีนั้นของเทคนิคที่
ไม่ใช่รัศมี 0 หรือ 1 ตัว และการเดือดค่าคงดีนั้นแปลผล จากเทคนิคของ
โครงสร้าง รัศมี 3 มิลลิเมตรให้ เทคนิค 5 ตัว

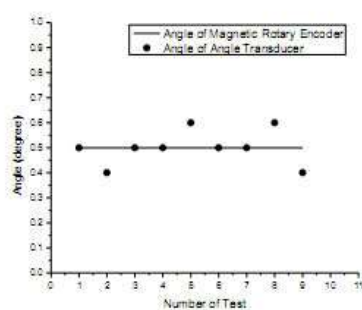
จะเห็นว่า ค่าผลต่างของดีน ที่เกิน 0.03 วิลล์ ที่ เทคนิค
ที่ 3 และ ตัวที่ 4 ที่เราเลือก หากคิดต่อเป็นค่า ระยะทางของเดบ
ชั้นอยู่ติดกันในวงจรแปลงสัญญาณและนาฬิกาเป็นติดต่อ แรงดัน 0–
5 วิลล์ ความละเอียด 12 บิต จะได้ 0.0013 วิลล์ ที่ 1 หน่วยติดต่อ
หรือค่าคงที่ 23 หน่วย ติดต่อ ซึ่งเทียบพอๆ กับการนี้ไปประมวลผลที่
ค่าความละเอียด 0.1 องศา

3.3 การออกแบบ ซอฟต์แวร์

หลังจากไปโครงสร้างโทรศัพท์รับค่าคงดีน้ำยาที่พุ่งจาก
เทคนิคที่ 3 ได้ในการประมวลผล โดยอาศัยหลักการเปลี่ยนเดือด
และการเปลี่ยนเดือดค่าคงดีนั้น ให้ เดือดค่าคงดีนั้นแปลผลมุ่น และเดือด
ค่าคงดีนั้นน้ำยาเปลี่ยนเดือดค่าคงดีนั้น มุมที่ต่างๆ เพื่อแสดงผล

ที่	ผลลัพธ์								ผลลัพธ์
	s1	s2	s3	s4	s5	s6	s7	s8	
0	4.800	2.138	2.138	2*	2*	0	2*	0	2
1	4.499	2.187	2.117	2*	2*	2*	2*	0	3
30	3.914	25	1.088	2*	2*	2*	2*	0	3
31	3.878	2.607	1.048	2*	2*	2*	2*	2*	1
59	2.883	2.643	0.901	2*	2*	2*	2*	2*	1
80	2.882	2.682	0.5	0	2*	2*	2*	2*	2
89	2.807	3.875	1.048	0	2*	2*	2*	0	2
90	2.8	3.914	1.088	0	2*	2*	0	2*	3
119	2.187	4.499	2.117	0	2*	2*	0	2*	3
120	2.138	4.8	2.138	0	0	2*	0	2*	1
150	1.088	3.914	2.5	0	0	2*	0	2*	1
151	1.048	3.875	2.607	0	0	2*	0	2*	2
179	0.501	2.883	2.643	0	0	2*	0	2*	2
180	0.5	2.882	2.682	0	0	0	0	2*	3
209	1.048	2.807	3.878	0	0	0	2*	2*	3
210	1.088	25	3.914	0	0	0	0	2*	1
240	2.138	4.8	2.138	0	0	0	0	2*	1
241	2.187	4.499	2.117	0	0	0	0	2*	2
270	2.8	3.914	2.5	0	0	0	0	2*	2
271	2.807	1.048	3.875	2*	0	0	2*	0	3
300	2.882	0.5	2.682	2*	0	0	2*	0	3
301	2.883	0.801	2.643	2*	2*	0	2*	0	1
329	3.875	1.048	2.607	2*	2*	0	2*	0	1
330	3.914	1.088	2.5	2*	2*	0	2*	0	2
360	4.8	2.138	2.138	2*	2*	0	2*	0	2

ตารางที่ 4 เมตริกาทางการเปลี่ยนเดือดค่าคงดีนั้นของเทคนิคที่
ไม่ใช่รัศมี 0 หรือ 1 ตัว และการเดือดค่าคงดีนั้นแปลผล จากเทคนิคของ
โครงสร้าง รัศมี 1.5 และ 3 มิลลิเมตรให้ เทคนิค 3 ตัว



ภาพที่ 4.9 ค่าความผิดพลาดของมุมที่ได้โดยทางอินดิเคเตอร์ด้วย
ที่ความละเอียด 0.1 องศา ที่มุ่ง 0.5 องศา

หากกราฟแสดงค่าผิดพลาดของมุมที่ได้โดยทางอินดิเคเตอร์ด้วยที่ความละเอียด 0.1 องศา ประมาณ ± 0.1 องศา คือห่วงที่มีค่าผลลัพธ์แรงดันน้ำอย่างที่ได้การกานด์ซึ่งกราฟแสดงมุมนี้อยู่ในรูปดัง เมื่อได้ทำการแก้ไขของแรงดันน้ำเมื่อผ่านวงจรแบบดึงดูดจากแหล่งกำเนิดก็จะดัง

4. สรุปผล

หากกราฟแสดงของยกแยบทราบดิวเซอร์กมโดยใช้ชุดเซฟเฟอร์ที่ใช้เม็ดแม่เหล็กขนาด 4x4 มม. ผลลัพธ์ ถูก 5.5 มม. ผลลัพธ์ โครงสร้างที่เก็บ 3 มม. ผลลัพธ์ เม็ดแม่เหล็ก 5 ตัว ได้เม็ดแม่เหล็ก 12 ตัวในการประเมินผล สามารถลดลงได้ทั้ง 0 – 360 องศา แบบหยุดลงบน 0 องศา ค่าความผิดพลาดสูงสุด 1 องศา ซึ่งสามารถนำไปประยุกต์ใช้ในการวัดมุมแบบหยุดลงบน 360 องศา ให้เป็นที่น่าพอใจ

5. ปัญหาและข้อเสนอแนะ

หากกราฟแสดงหากมีการบันทุณหางระหว่างแม่เหล็ก กับแม่เหล็กเดียวกันอย่างเดียวกัน ความไม่แน่นอนที่เกิดจากระยะห่างของแม่เหล็กที่ได้ใช้ค่าเบล็อกมุมที่ได้จะเกิดการผิดพลาด การบีบแม่เหล็กกับแม่เหล็กกับแม่เหล็กที่ได้ให้ค่าระยะห่างระหว่างแม่เหล็ก กับแม่เหล็กที่แม่นยำเป็นการลดลงมากกว่าที่ได้คาดหวัง

6. กิตติกรรมประกาศ

ขอขอบคุณภาควิชาวิศวกรรมอิเล็กทรอนิกส์และโทรคมนาคม มหาวิทยาลัยเทคโนโลยีราชมงคลรัตนบุรีที่สนับสนุนชัยพันธุ์ เนื่องมีความสามารถในการทดสอบ รวมทั้งขอขอบคุณ คุณบีรุติกรรัตน์ มหาวิทยาลัยเทคโนโลยีราชมงคลรัตนบุรีที่สนับสนุนชัยพันธุ์ในการทำวิจัยครั้งนี้

เอกสารอ้างอิง

- [1] ZMT 32 Magnetic Field Angle Sensor Datasheet, ZETEX Semiconductors
- [2] P. Kejik, S. Raymond, and R.S. Popovic, Circular Hall Transducer For Angular Position Sensing, Fmcia, 2007
- [3] จำนำ ทุนค่า 2536. คณิตศาสตร์ภาษาอังกฤษภาษาไทย : สถาบันส่งเสริมเทคโนโลยีไทย-ญี่ปุ่น กรุงเทพฯ หน้า 18,21-23 และ 37-38
- [4] David S. Nyce, Linear Position Sensors Theory and Applications Wiley-Interscience, USA, 2004
- [5] Joe Gilbert and Ray Dewey ,Linear Hall-Effect Sensors Allegro Micro Systems, Inc.
- [6] นรชา เลิศภัติน และชัชชารชัย ศุภพิทักษ์สกุล. 2551. การออกแบบ
ห้องทดลองเชิงรัฐศาสตร์โดยใช้ชุดเซฟเฟอร์เซนเซอร์, EENET2008
ปทุมธานี
- [7] ดร.ชัช บุญมาศ และชัชชารชัย ศุภพิทักษ์สกุล. 2555. ออกแบบ
ห้องทดลองเชิงรัฐศาสตร์โดยใช้ชุดเซฟเฟอร์เซนเซอร์, EENET2012
ปทุมธานี
- [8] A1301 and A1302 Linear Hall Effect Sensor Datasheet

ประวัติผู้วิจัย



教授 บุญมาศ สำเร็จการศึกษา บริษัทฯ
ศ.ดร. ค.ศ.บ. สาขาบริหารธุรกิจศึกษาธิการ
ธุรกิจและการจัดการ สถาบันเทคโนโลยีราชมงคล
ธัญบุรีก่อตั้ง ศึกษาดูงานบริษัทฯ



ดร.ชัชชารชัย ศุภพิทักษ์สกุลสำเร็จการศึกษา
บริษัทฯ ศ.ดร. (บริหารธุรกิจ) สถาบัน
เทคโนโลยีพระจอมเกล้า เชียงใหม่ Ph.D.
Northumbria University,
Newcastle England

และ เป็นอาจารย์ประจำภาควิชาบริหารธุรกิจไฟฟ้า คณะบริหารธุรกิจและ
เทคโนโลยีสื่อสารในมหาวิทยาลัยราชมงคลรัตนบุรี งานวิจัยที่สนใจ กระบวนการผลผล
ต์มนุษย์และการบันทึกผล การออกแบบห้องทดลองและภาคประยุกต์ใช้
งาน การประยุกต์ใช้โครงข่ายประสาทเทียม เครื่องมือตัดต่อและวิเคราะห์
การแพทย์

ประวัติผู้เขียน

ชื่อ – นามสกุล	นายชัยภพ บุญทาครี
วัน เดือน ปีเกิด	2 กุมภาพันธ์ 2519
ที่อยู่	503 หมู่ 11 ต.บ้านต้อม อ.เมือง จ.พะเยา
การศึกษา	สำเร็จการศึกษาระดับครุศาสตรอุดสาหกรรมบัณฑิต สาขาวิชาศิวกรรมอิเล็กทรอนิกส์ โทรคมนาคม สถาบันเทคโนโลยีราชมงคล วิทยาเขตภาคพายัพ ปี พ.ศ. 2541
ประสบการณ์การทำงาน	
พ.ศ. 2542 – พ.ศ. 2543	ตำแหน่งอาจารย์สาขาวิชาอิเล็กทรอนิกส์ สถาบันการอาชีวศึกษาภาคเหนือ 3 (พะเยา)
พ.ศ. 2543 – ปัจจุบัน	ตำแหน่งอาจารย์สาขาวิชาอิเล็กทรอนิกส์ คณะวิศวกรรมศาสตร์ มหาวิทยาลัยเทคโนโลยีราชมงคลล้านนา เชียงราย

